

الجمهورية الجزائرية الديمقراطية الشعبية

وزارة التعليم العالي و البحث العلمي

جامعة متنورى قسطنطينية

كاريئرة العالمة يوم

مذكرة

رقمیس سچل

سال سلی

مقدمة لـ نيل شهادة

الماجستير في الفيزياء

تخصص: فيزياء المواد

شعبة: الخزفيات

العنوان :

تمضير ودراسة البورسلان التقني

انطلاقاً من مواد أولية محلية.

من طرف :

قرآنی سعاد

تراي خمه الشت: 4/7/2010

سلیمان عاشور استاذ رئیسا جامعه منتو روی

عبد الحميد حرابي أستاذ مقررات جامعة متوري

صلاح الدين بramaة أستاذ متحنا جامعة متوري

زن الدين ويلي أستاذ متحناً جامعة متغوري

شكروغرفان

أتقدم بالشكر الجزيل بكل ما تعلمته هذه الكلمة من معاني التقدير والاحترام للأستاذ عبد العميد حراويي
- أستاذ بقسم الفيزياء كلية العلوم بجامعة متورى - على إشرافه على هذا البحث و تتبعه المستمر لنا
و نصائحه القيمة لنا في سبيل إنجاز هذا البحث، و أتقدم بالشكر والتقدير إلى الأستاذ سليمان كاهور -
أستاذ بقسم الفيزياء كلية العلوم بجامعة متورى - على نصائحه و توجيهاته القيمة لنا و مساعيته في رفع
معنوياتنا، و تقبيله ترأس لجنة المناقشة.

كما أتقدم بالشكر الجزيل إلى الأستاذ صلاح الدين بramaة-أستاذ بقسم الفيزياء كلية العلوم بجامعة
متورى - على مساعدته ونصائحه القيمة من أجل إنجاز هذا البحث وكذلك على موافقته المشاركة
لأستاذ ممتنع في لجنة المناقشة ، كما أتقدم بالشكر إلى الأستاذ زين الدين وبيلي أستاذ بقسم
على موافقته المشاركة لأستاذ ممتنع في لجنة المناقشة.

كما أتقدم بشكر خاص وخالص إلى الزميلة العزيزة "فيطونى سعيدة" على مساعدتها الدائمة والمطلقة
في هذا البحث وكذلك الزميلة الصديقة " ج. وداد".

وأخيراً أتقدم بالشكر والعرفان إلى كل من ساهم في إثراء هذا البحث سواء من قريبي أو من بعيد
وإلى كل الزملاء والزميلات بوحدة بحث فيزياء المواد بجامعة قسنطينة ٢. عبلة، فاطمة
الزهراء، ف. فهيمة، ف. فتحية، ص. فديحة، ح. أسماء، بـ. هريوة، سهام، بـ. ليليا، فـ. سليمة، هـ. سارة، بـ. وداد،
بـ. ميساء، بـ. بوخميـس ، طـ. عـادل، بـ. طـارق.

وإلى الزميل محـ. حمـرة - قـسـمـ الـكـيـمـيـاء - على مـاسـاـدـتـهـ فـيـ هـذـاـ بـحـثـ.
إلى صديقاتي: صـ. نـجـاحـ ، هـ. سـمـيـةـ ، هـ. فـطـيـمـةـ ، سـ. شـافـيـةـ ، بـ. رـبـيـةـ ، صـ. أـمـيـرـةـ ، محـ. حـفـافـهـ.

إهداء

أهدي هذا العمل المتواضع إلى "روح أمي الطاهرة" التي كانت ينبع منها المحبة والمعان
في حياتي وكل عمل جميل وطيب في حياتي كما أتمنى أن تكون من أعمالها الطيبة التي
لم تقطع بعد وفاتها متمنية من الله عز وجل أن يسكنها في أعلى درجات جناته.
إلى قرة عيني، روح فؤادي، إلى من يعجز اللسان والقلم عن وصفه حبي له إلى أبي
العزيز: مولود.

لما أهدي هذا العمل إلى إخوتي الذين هونوا لي كل صعب ويسروا لي كل سر إخوتي
الكرام: عمار، بوخميس، نجيب.
لما أهدي هذا العمل إلى من هونا على مصيبي في أمي وكانت دعما لي إلى زهرة حياتي
أختي: الزهراء وحنية، وإلى وردة العائلة ابنة أخي الصغيرة: يارا آلاء.
وأخيرا إلى زوجاته إخوتي: أمال، حسينة، سهام.

وإلى كل من ساهم في هذا البحث من قريب أو من بعيد.

الفهرس

13 مدخل عام
	الفصل الأول: عـوميـات حـول الخـزفيـات
15 1. مـقدمة
15 2. تـعرـيف الخـزـفـيات
16 3. خـصـائـص الخـزـفـيات
16 1.3.1 خـصـائـص الـروـابـط الـكـيمـيـائـية
16 2.3.1 خـصـائـص مـيكـانـيـكـية
17 3.3.1 خـصـائـص كـهـرـبـائـية
17 4.3.1 خـصـائـص النـاقـلـية الـكـهـرـبـائـية وـالـحـارـارـية
17 5.3.1 خـصـائـص حـارـارـية
18 6.3.1 خـصـائـص ضـوـئـية
18 4.1 أنـوـاع المـوـاد الخـزـفـية
18 1.4.1 الخـزـفـيات الـبـنـيـوـيـة
18 2.4.1 الخـزـفـيات الـوـظـيـفـيـة

19	5.1. أهم مراحل تحضير قطعة خزفية.
19	1.5.1 تهيئة المسحوق
20	2.5.1 التشكيل
20	3.5.1 الإضافات العضوية
21	4.5.1 التلبيد
21	أ) التلبيد الطبيعي
21	ب) التلبيد بوجود تفاعلات
21	ج) التلبيد تحت تأثير ضغط خارجي
22	5.5.1 الإتقان و التحسين
23	6.1 التلبيد
23	1.6.1 مفهوم التلبيد
24	2.6.1 . مراحل التلبيد
25	3.6.1 تقلص الخزفيات عند التلبيد
27	4.6.1 . تنشيط التلبيد
27	7.1 مجالات إستعمال الخزفيات
28	منتجات كهربائية
28	منتجات مغناطيسية
28	منتجات نووية

28 المنتجات بصرية
28 المنتجات ميكانيكية
28 المنتجات حرارية
29 المنتجات كيميائية
29 المنتجات بيولوجية
29 المنتجات بيئية
الفصل الثاني: عـموميـات حـول الـبورـسـلان	
30 <u>1. مـقـدـمة</u>
30 <u>2. مـكـوـنـات الـبـورـسـلان</u>
30 <u>1.2. الكـاـوـلـان</u>
31 أ) تـعـرـيـف
32 ب) بنـيـتها
33 ج) خـصـائـص الـكاـوـلـان
33 الخـصـائـص الـكـيـمـيـائـية
34 الخـصـائـص الـفـيـزـيـائـية
36 الخـصـائـص الـحـارـارـية
38 <u>1.1.2. مـيـزـات الـكاـوـلـان الجـيد</u>

38	2.1.2.II دمج الكاولان في صناعة الخزفيات.
39	3.1.2.II أماكن تواجد الكاولان.
39	2.2.II الفلدسبات.
40	أ) خصائص الفلدسبات.
40	الخصائص الفيزيائية.
40	الخصائص البلورية.
41	ب) استعمالات الفلدسبات.
41	3.2.II الكوارتز.
42	أ) الخصائص البلورية للكوارتز.
44	ب) التحولات الطورية للسيليس.
44	• تحولات شبه بلورية.
45	• تحولات بلورية.
46	ج) مجالات الاستعمال.
46	3.II خصائص البورسلان.
46	1.3.II الخصائص الحرارية.
47	أ) الناقالية الحرارية.
47	ب) معامل التمدد الحراري.
48	ج) مقاومة الإجهاد الحراري.
48	2.3.II الخصائص الميكانيكية.

49 أ) مقاومة الشد.....
50 ب) مقاومة التصدع.....
50 ج) الصلادة.....
51 3.3.II الخصائص العزلية.....
52 أ) ثابت العازلية.....
53 ب) زاوية فقدان العازلية.....
54 ج) المقاومية.....
55 تأثير الحرارة.....
55 تأثير الرطوبة.....
55 تأثير الحقل الكهربائي المطبق.....
56 تأثير طبيعة الأقطاب.....
56 د) القوة العزلية.....
57 الثقب التفريغي.....
57 الثقب الحراري.....
59 5. II أنواع البورسلان.....
59 1.5. II البورسلان السيليسي.....
59 أ) البورسلان الصلب.....
59 ب) البورسلان اللدن.....

59 2.5.II البورسان الكرستوباليتي
60 3.5. II البورسان الالميني
60 A) البورسان الألوميني ذو المقاومة الميكانيكية العالية
60 B) البورسان الألوميني الميكانيكية العالية و فقدان الضعيف للعازلية
61 4.5. II أنواع البورسان المختلفة
	الفصل الثالث: الطرق التجريبية والأجهزة المستعملة
62 1. III مقدمة
62 2. III المواد الأولية
62 1.2. III الفلدسبات
63 2.2. III الكوراتر
64 3.2. III الكاولان
65 3. III الإضافات
65 1.3. III أكسيد الزنك
66 2.3. III أكسيد التيتانيوم
66 4. III القياسات
66 حساب الكتلة الحجمية للعينات
67 قياس مقاومة الشد

67قياس ثابت العازلية.....
68قياس معامل فقدان العازلية.....
68الأجهزة المستعملة..... 5.1.III
68السحق..... 1.5.III
68جهاز التجفيف..... 2.5.III
69الفرن..... 3.5.III
69الميزان الحساس..... 4.5.III
69جهاز حيود الأشعة السينية..... 5.5.III
706.5. جهاز التحليل بواسطة الأشعة تحت الحمراء.....
707.5. البالمر..... III
708.5. جهاز قياس مقاومة الشد..... III
709.5. جهاز قياس السعة..... III
716. بعض تقنيات دراسة و تحليل المواد..... III
711.6. التحليل بواسطة أشعة X..... III
722. التحليل باستعمال الأشعة تحت الحمراء بتحويل فورييه..... III
737. تحضير المادة المدرستة..... III
الفصل الرابع: التأرج و مناقشتها	
771. مقدمة..... IV
772. دراسة تأثير درجة حرارة التلبيذ في الكتلة الحجمية للبورسلان..... IV
793. التحولات الطورية..... IV

79	أ— التحليل باستعمال الأشعة السينية.....
82	ب— التحليل باستعمال الأشعة ما تحت الحمراء.....
84	3.IV. تأثير درجة حرارة التلبيذ في مقاومة الشد.....
88	5.IV. الخصائص العزلية.....
88	أ— ثابت العازلية النسبي.....
89	ب— زاوية فقدان العازلية.....
90	ج— معامل فقدان العازلية.....
93	6.IV. تأثير الإضافات في الخصائص الميكانيكية والعزلية للبورسلان
93	1.6.IV. تأثير أكسيد الزنك.....
93	أ— تأثير أكسيد الزنك في الكتلة الحجمية.....
95	ب— التحولات اللولورية.....
95	• التحليل باستعمال الأشعة السينية.....
97	• التحليل باستعمال الأشعة تحت الحمراء.....
98	ج— تأثير أكسيد الزنك في مقاومة الشد للبورسلان
100	د— تأثير أكسيد الزنك في الخصائص العزلية للبورسلان
101	• ثابت العازلية النسبي.....
103	• زاوية فقدان العازلية.....
105	• معامل فقدان العازلية.....

108	IV. 2. تأثير أكسيد التيتانيوم
108	أ— تأثير أكسيد التيتانيوم في الكتلة الحجمية للبورسلان
110	ب— الأطوار البلورية.....
110	• التحليل باستعمال الأشعة السينية.....
112	• التحليل باستعمال الأشعة ما تحت الحمراء.....
113	ج— تأثير أكسيد التيتانيوم في مقاومة الشد للبورسلان
116	• ثابت العازلية النسبي.....
120	• زاوية فقدان العازلية.....
122	• معامل فقدان العازلية.....
126	الخلاصة.....
128	المراجع.....

مدخل عام

لقد اقتصر مفهوم البورسلان على الأغراض التقليدية في الاستخدام مثل: الأواني الفخرية إلا أنه في العشرينية الأخيرة عرفت المواد الخزفية وفي مقدمتها البورسلان تطروا سريعا فأصبحت تستخدم في إنتاج المواد العازلة والمواد الكاشطة والبلاط وكذلك أصبح لها استعمالات عده في مجال الطب ... الخ.

والمهدف الأساسي من هذا البحث هو إبراز الاستعمالات المختلفة للبورسلان وعلى هذا الأساس قمنا بتحضيرها انطلاقاً من مواد أولية محلية وتمثلة في :

- الكوارتز المتمثل في رمل بن عزووز.
- الفلدسبيات البوتاسي المستخرج من جبل عين بربور.
- الكلولان DD_2 المستخرجة من جبل دباغ بقلمة.
- الكلولان T_2 المستخرجة من منجم تمازرت بجيجيل.

وقد تم التحضير وفقاً للتراكيبة: 45% وزناً فلدسبات ، 25 وزناً % كوارتز ، 20 وزناً % كلولان DD_2 ، 10 وزناً % كلولان T_2 .

وبعد التحضير تعرضنا لدراسة بعض الخصائص الفيزيائية .

فالبحث ينقسم إلى أربع فصول:

— الفصل الأول: يحتوي على دراسة نظرية حول الخزفيات، فتطرقنا إلى مختلف خصائص الخزفيات وإلى مجالات استخدامها، كما تطرقنا إلى آلية التلبيس .

— الفصل الثاني: يتمثل في دراسة نظرية عن البورسلان حيث تعرضنا إلى المكونات الأساسية المستعملة وهي : الكاولان، الفلدسبيات والكوارتز مع ذكر بعض خصائصها الفيزيائية والكيميائية ثم تطرقنا إلى أنواع البورسلان المعروفة وبعض خصائصه الفيزيائية والكيميائية.

— الفصل الثالث: لقد تم في هذا الفصل تناول المواد الأولية المستعملة والمتمثلة في الكاولان والفلدسبيات والكوارتز والإضافات المستعملة المتمثلة في : أكسيد الزنك ، أكسيد التيتانيوم والطرق التجريبية المتبعة والقياسات المنجزة في هذه الدراسة.

- الفصل الرابع: قمنا في هذا الفصل بتدوين النتائج التالية:
- الكتلة الحجمية ومقاومة الشد بالنسبة للعينات المكلستنة وغير المكلستنة.
 - تغيرات ثابت العازلية و زاوية فقدان العازلية مع تغير درجات الحرارة بالنسبة للعينات المرجعية
 - تأثير الإضافات المتمثلة في أكسيد الزنك وأكسيد التيتانيوم على الخصائص الميكانيكية والعزلية للبورسلان.

وبعد تدوين النتائج، قمنا بمناقشة كل منها على حدة.

1.1 مقدمة

لقد كان المفهوم الشائع لدى الناس أن الخزف لا يتعدي الأغراض التقليدية في الاستخدام مثل: أواني الطهي، وكذلك الخزف الصحي إلا أنه في العشرينية الأخيرة عرفت المواد الخزفية تطورا سريعا مقارنة بتطور المواد الصلبة الأخرى فأصبح مفهومها أكثر تطورا حيث تعد فرع من فروع التكنولوجيا والعلم الذي يتعامل مع الخامات الفلزية غير معدنية ولا عضوية.

كما أثبتت الأبحاث الحديثة على أن الخزفيات تملك خصائص جيدة مثل : درجة حرارة انصهارها العالية، وكوئها عازلة كهربائيا ومقاومة للإجهاد الحراري.

2.1 تعريف الخزفيات

إن كلمة خزفيات (*Céramique*) هي كلمة ذات أصل يوناني مشتقة من الكلمة (*Keramos*) والتي تعني "فخار" [1].

أما من الناحية التقليدية فالخزفيات تعرف على أنها فن صناعة الفخار، وتعتمد أساسا على خاصية تحويل الغضار أو الصلصال عند مزجه بكمية من الماء إلى عجينة لدننة سهلة التشكيل. بعد ذلك يتم تسخينها عند درجات حرارة عالية نسبيا، لنجعل في النهاية على مادة صلبة وصلدة [2].

لقد تم توسيع هذا التعريف، فحسب الجمعية البريطانية للخزفيات (1979)، فإن الخزفيات تعرف على أنها عبارة عن مادة صلبة لا هي معدنية ولا عضوية، فهي اصطناعية يمكن الحصول عليها غالباً بالمعالجة الحرارية.

3.1. خصائص الخزفيات

1.3.1. خصائص الروابط الكيميائية

إن أهم ما تمتاز به الخزفيات عن باقي المواد الصلبة هو امتلاكها لرابطة كيميائية جد قوية بين الذرات أو العناصر المكونة للشبكة البلورية [2]. فالروابط الكيميائية هي المسئولة عن تماسك المواد وتلعب دوراً مهماً في تحديد بعض خصائصها وكذا تصنيفها.

الجدول 1. طاقة الرابط لبعض المركبات [3].

C-C	B-N	Si-O	Si-Si	SiC	الرابطة
3.60	4.55	4.60	2.30	3.38	الطاقة (ev)

2.3.1. الخصائص الميكانيكية

تملك الخزفيات قيماً عالية من معاملات المرونة مقارنة مع المعادن و ذلك بسبب قوة رابطتها الكيميائية، إذ أن قوة الرابطة هذه لا تسمح بانزلاق المستويات البلورية بالنسبة لبعضها البعض كما في المعادن، وبالتالي تكون بصفة عامة مواد قصبة (القوة اللازمة لخلق تشوه لدن أكبر من القوة اللازمة لكسرها) [4].

3.3. الخصائص الكهربائية

تعتبر الخزفيات نوافل كهربائية رديئة و ذلك نتيجة للطبيعة المزدوجة للروابط (أيونية – تساهمية) ذلك أن جميع إلكترونات التكافؤ للعناصر المكونة للمركب تكون مقيدة، لكن بالرغم من ذلك فإنه توجد مجموعة من الخزفيات نصف ناقلة و ناقلة و حتى فائقة الناقلة و ذلك ضمن شروط محددة [5].

4.3. خصائص الناقلة الكهربائية و الحرارية

نظراً للطبيعة الرابطة، إذ أن جميع إلكترونات التكافؤ تكون مقيدة فإن الطريق الوحيد لنقل الحرارة هو اهتزاز الشبكة البلورية. أما الناقلة الكهربائية فتتم عن طريق الانتشار الأيوني أو الفجوي، ذلك أن الخزفيات تكون عموماً نوافل رديئة للحرارة و الكهرباء و مع ذلك توجد خزفيات نصف ناقلة و ناقلة و فائقة الناقلة [5].

5.3.1. الخصائص الحرارية

نظراً لما تملكه الخزفيات من قوة استقرار للرابطة الكيميائية، فإن هذه الأخيرة تكون مقاومة لدرجات حرارة عالية جداً قد تصل إلى أكثر من 2000°C. وبالتالي يمكن استخدام هذه المواد كعوازل حرارية بالرغم من أنها لا تحمل الصدمات الحرارية [1]. يبين (الجدول 1-2) درجة انصهار بعض الخزفيات [6].

الجدول 1-2: يمثل درجة انصهار بعض الخزفيات.

SiO_2	TiO_2	CaO	MgO	Al_2O_3	المركب
1720	1840	2600	2800	2030	درجة الانصهار (°C)

6.3. الخصائص الضوئية

أيونات المعادن الانتقالية لها دور كبير في إعطاء الألوان للخزفيات، فمثلاً أكسيد الألミニوم أحد أ成份ات البليورا وعدم اللون يتلون بالأحمر بوجود نسبة ضئيلة جداً من أكسيد الكروم (Cr_2O_3) [6].

1.4. أنواع المواد الخزفية

يمكن تصنيف الخزفيات حسب مجالات تطبيقها إلى قسمين رئيسيين [1]:

1.4.1. الخزفيات البنوية

تبين لنا معظم الخصائص المذكورة سابقاً مجالات تطبيق مفضلة كمركبات تستخدم عند درجات حرارة عالية وأدوات القص وقطع التآكل ومصفوفات ووعاء المعادن الذائبة... إلخ. ما نلاحظه في هذه التطبيقات هو اعتمادها خاصة على بنية هذه الخزفيات وبالتالي يمكن اعتبارها خزفيات بنوية. كما يمكننا القول بأنها خزفيات بنوية. ما يميز هذا النوع كذلك من الخزفيات هو اعتمادها على الخصائص الميكانيكية والحرارية عكس تلك التي تعرف بالخزفيات الوظيفية.

1.4.2. الخزفيات الوظيفية

يمكن تمييز هذه الخزفيات عن سابقتها وذلك حسب وظيفتها كالخزفيات الناقلة للأيونات والفائقة الناقلة وأنصاف التواقيع والمغناطيسية... إلخ.

5.1. أهم مراحل تحضير قطعة خزفية

يجب معرفة أهم الخصائص التي تميز المواد الخزفية لتمكن من تهيئتها وتشكيلها. قد تجدها صلدة غير قابلة للتشكيل أو هشة سريعة الانكسار أو حرارية لا تنصهر إلا عند درجات حرارة عالية.

بالأخذ بعين الاعتبار كل هذه الخصائص فإن التعامل مع الخزفيات يتم بشروط وعبر مراحل جد خاصة.

تستعمل معظم الخزفيات على شكل مساحيق، وذلك لصعوبة أو حتى استحالة التعامل معها عند درجات حرارة انصهارها العالية، مما يعني استبعاد طريقة الصب والتشكيل [6,5].

ونميز طريقتين لتحضير المسحوق [1]:

- **التحضير الجاف:** الكلسنة والانحلال الحراري والسحق الميكانيكي.
- **التحضير الرطب:** الترسب انطلاقاً من محلول ذو بان أملاح وطريقة sol-gel.

ونبين فيما يلي أهم مراحل تحضير الخزفيات بصفة عامة:

1.5.1. هيئة المسحوق

تعتبر تهيئة المسحوق من أهم مراحل تنشيط التلبيذ، وهذا نظراً لاعتبارها أول مرحلة يتحدد فيها حجم وشكل الحبيبات (المسحوق) حيث أن صغر حجم الحبيبات يخلق لنا مساحات كبيرة للتلامس فيما بينها مما يؤدي إلى رفع فعالية التلبيذ والانخفاض درجة حرارته [5].

2.5.1 التشكيل

ويقصد به إعطاء المادة الأولية التي هي على شكل مسحوق شكلاً خاصاً بها يتناسب والأهداف منه. فمن أهم تقنيات التشكيل بحد الكبس المحوري والكبس المركزي (الشكل-2)، حيث يتم التشكيل عن طريق آلة ضغط مناسبة أين يتم تطبيق ضغط مناسب على المسحوق الموجود داخل القالب. يؤدي الاحتكاك بين الحبيبات الناتج عن الضغط المطبق إلى ارتفاع محلي لدرجات الحرارة وبالتالي يسمح بالتحام أولي بين الحبيبات لتتمكن في النهاية من الحصول على عينة متتماسكة بشكل كاف يسمح بمعالجتها داخل الفرن [5].

3.5.1 الإضافات العضوية

يكون من الضروري في بعض الأحيان إضافة مواد عضوية، ذلك أن هناك مواد تساعد على ربط الجزيئات بعضها وتسمى بالمواد الرابطة. كما أن هناك مواد ملدنة تعمل على حماية العينات من التشقق أثناء المعالجة الحرارية [7]. فهذه الإضافات يجب التخلص منها خلال عملية التلبيد وذلك قبل انغلاق الفراغات لتجنب زيادة ضغط الغازات داخل الفجوات والتي تؤدي إلى حدوث بعض العيوب، كما أن لهذه الإضافات نسب محددة لا يمكن تجاوزها هذا كما أشار إليه هارف [8]. من بين هذه المواد يمكن أن بحد بولي فينيل ألكول. (Polyvinyle alcool (PVA)) ويعتبر كمادة رابطة، أما بالنسبة للملدن نذكر بولي شيلين غليوكول(Polyéthylène glycol(PEG)) وهي عبارة عن إضافات تستعمل مع الألومنيوم وكذا مواد خزفية أخرى .[9]

4.5.1. التلبيـد

يمكن تميـز عـدة تقـنيـات مـختـلـفة لـلتـلـبـيد، تـتـحـولـ العـيـنةـ المـشـكـلةـ خـالـلـ عـمـلـيـةـ التـلـبـيدـ منـ مـسـحـوقـ مـضـغـوطـ غـيرـ مـتـمـاسـكـ إـلـىـ مـادـةـ صـلـدـةـ وـصـلـدـةـ، وـفـيـماـ يـليـ بـعـضـ التـقـنيـاتـ المـخـلـفـةـ لـلتـلـبـيدـ [5]:

أـ التـلـبـيدـ الطـبـيعـيـ

تعـتـبرـ هـذـهـ التـقـنيـةـ الـأـكـثـرـ اـسـعـمـاـ، حـيـثـ تـتـمـثـلـ فـيـ تـسـخـينـ عـادـيـ لـلـقـطـعـ الـخـزـفـيـ الـمـشـكـلةـ وـهـذـاـ عـنـ درـجـاتـ حـرـارـةـ مـرـتفـعـةـ، تـتـطـلـبـ هـذـهـ التـقـنيـةـ نـسـبـةـ إـضـافـاتـ كـبـيرـةـ بـمـدـفـ تـنـشـيـطـ التـلـبـيدـ. كـمـاـ تـعـتـبرـ هـذـهـ التـقـنيـةـ اـقـصـادـيـةـ لـكـنـ الـعـيـنـاتـ الـمـتـحـصـلـ عـلـيـهـاـ تـكـوـنـ نـسـبـةـ الـفـجـوـاتـ فـيـهـاـ فـيـ الـغـالـبـ مـعـتـرـةـ وـبـالـتـالـيـ فـهـيـ تـتـطـلـبـ درـجـاتـ حـرـارـةـ عـالـيـةـ [10].

بـ التـلـبـيدـ بـوـجـودـ تـفـاعـلـاتـ

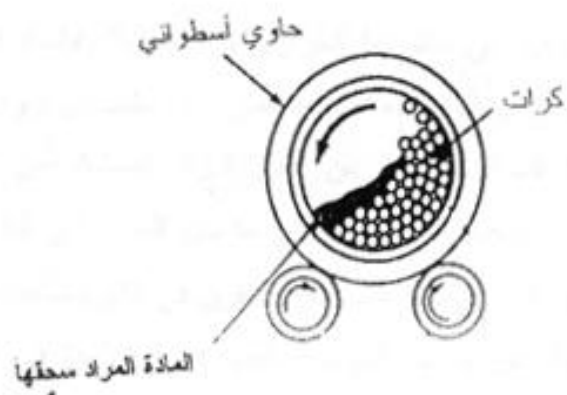
تسـهـمـ التـفـاعـلـاتـ الـكـيـمـيـائـيـةـ دـاخـلـ القـطـعـ الـخـزـفـيـ فـيـ تـحـسـينـ التـلـبـيدـ. حـيـثـ يـحـدـثـ التـفـاعـلـ بـيـنـ مـكـونـاتـ الـخـلـيـطـ أـوـ نـتـيـجـةـ تـفـاعـلـ الـغـازـاتـ أـوـ السـواـكـ المـوـجـوـدـةـ فـيـ الـفـرـاغـاتـ مـعـ الـطـورـ الـصـلـبـ الـمـكـونـ لـلـعـيـنـةـ [5].

جـ التـلـبـيدـ تـحـتـ تـأـثـيرـ ضـغـطـ خـارـجيـ

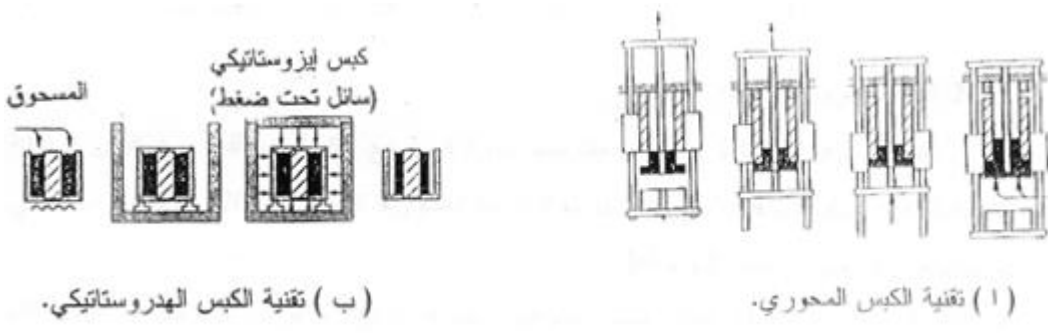
لاـ يـمـكـنـ الـحـصـولـ دـوـمـاـ عـلـىـ نـسـبـةـ تـلـبـيدـ عـالـيـةـ لـمـادـةـ تـمـ تـشـكـيلـهـاـ وـضـغـطـهـاـ عـنـ درـجـاتـ حـرـارـةـ منـخـفـضـةـ، لـذـاـ نـلـجـأـ إـلـىـ تـطـبـيقـ ضـغـطـ خـارـجيـ عـلـىـ الـعـيـنـةـ أـثـنـاءـ الـمـعـالـجـةـ الـحـارـارـيـةـ وـبـالـتـالـيـ يـمـكـنـ الـحـصـولـ عـلـىـ نـسـبـةـ تـلـبـيدـ عـالـيـةـ، غـيرـ أـنـ هـذـهـ الـطـرـيـقـةـ مـحـدـودـةـ كـوـنـهـاـ تـتـطـلـبـ كـلـفـةـ عـالـيـةـ وـتـسـتـعـمـلـ فـيـ تـحـضـيرـ موـادـ خـاصـةـ بـالـتـكـنـوـلـوـجـيـاتـ المتـقدـمةـ [10].

5.5.1 الإتقان والتحسين

تكتسب القطعة الخزفية بعد عملية التلبيد ميزاتها النهائية وليس بإمكانها التغير في شكلها، بينما يمكن التحسين في سطحها وهذا باستعمال أدوات للثقب أو الصقل [5].



الشكل 1.1 : تقنية السحق بالكرريات



الشكل 2.1 : تقنيات التشكيل عن طريق الكبس [5].

6.1. التلبيد

1.6.1. مفهوم التلبيد

إن التلبيد هو آخر مرحلة من مراحل تحضير قطعة خزفية ، كما أنه ظاهرة معقدة يصعب إيجاد تعريف دقيق لها، و لكن يمكن القول بأن التلبيد عبارة عن عملية معالجة حرارية تعمل أساسا على إزالة الفراغات بين حبيبات المادة الأولية و تطوير نظام الحبيبات الفردية إلى حالة تكثيف مثالية . تكون هذه العملية مصحوبة بالظواهر التالية [12,11]:

- نقص في الأبعاد الأولية للعينة و زيادة في الكتلة الحجمية.

- نقص في الطاقة السطحية الإجمالية للمادة و ذلك نتيجة نمو الحبيبات .

- زيادة في عدد روابط الحبيبات و شدة التماسك بينها.

- تحسن في الخصائص الميكانيكية و الحرارية.

و تختار غالبا الفراغات كعامل لوصف طرق التلبيد للمواد الحرارية، و ذلك لإمكانية شرح تغيرات الأبعاد الهندسية للمادة بواسطة التغيرات التي تطرأ على أبعاد الفراغات و أشكالها (مغلقة أو مفتوحة).

كما يتعلق كذلك تغير أبعاد المادة أثناء عملية التلبيد بعوامل أخرى ، منها ما هو متعلق بطبيعة المادة في حد ذاتها و أبعادها و شكل حبيباتها، و كذا تواجد الطور السائل ، و منها ما هو متعلق بشروط التلبيد من ضغط و درجة الحرارة و زمن المعالجة.....الخ .

2.2. مراحل التلبيد

تقسم عملية التلبيد عادة إلى ثلاثة مراحل وهي [10]:

- المرحلة الابتدائية

خلال هذه المرحلة يتم التحام جزئي للحببيات المتلاصقة، حيث يبدأ تشكيل الأعنق ونموها أما الحببيات غير المتلامسة فتشكل بينها الحدود الحبيبية ، كما أنه خلال هذه المرحلة لا يحدث أي نمو للحببيات، حيث تنتهي هذه المرحلة عندما تتطاول الأعنق وتنتشر فوق بعضها البعض وهذا يوافق تقلصا ب 5% من الحجم الكلي.

- المرحلة الوسطى

خلال هذه المرحلة تبدأ الحببيات في النمو وتتميز أيضاً بظهور بنية جديدة مكونة من حببيات وفراغات مفتوحة تمثل لأنحد أشكال أسطوانية.

إن هذه المرحلة ذات أهمية كبيرة في مراقبة تطور البنية الدقيقة للخزفيات، حيث أن أعلى نسبة من التكتيف تكون خلال هذه المرحلة.

- المرحلة النهائية

تشكل فراغات مغلقة ذات أشكال كروية تقريبا، حيث أن هذه الفراغات تبقى معزولة داخل الحببيات وذلك نتيجة للنمو الحبيبي ، كما أن التكتيف يتم ببطء ، وهنا يمكن القول بأن التلبيد قد وصل إلى نهايته.

3.6.1. تقلص الخزفيات عند التلبيد

إن تغير حجم العينة الذي يظهر على شكل تقلص في أبعادها هو ناتج عن عدة عوامل، نذكر منها إعادة الترتيب البلوري وزيادة مساحات التلامس بين الحبيبات وانخفاض أبعاد الفراغات وكذا زواياها. إن هذه الظاهرة يمكن توضيحها في الشكل 3.1 يمكن تلخيصها في النقاط التالية:

• المنطقة 1

بعد التقلص الأولي هناك تمدد يمثل مجموعة التمددات الحاصلة لمجموعة الحبيبات، خلال المئات الأولى لدرجات الحرارة يحدث احتراق للمواد العضوية وت bxer للماء المتتص و كذلك الداخل في التركيب ويكون هذا في حدود $400^{\circ}\text{C} - 600^{\circ}\text{C}$ بعدها لن تبقى إلا حبيبات المادة الأولية.

• المنطقة 2

تخضع مجموعة الحبيبات خلال عمليات التحضير والتشكيل إلى تشوهات لدنة. ففي هذه المنطقة تسعى الحبيبات لإعادة ترتيبها الداخلي وتعرف هذه العملية أحيانا بإعادة التبلور الأولي كما تحدث كذلك عملية تبلور للمناطق اللا بلورية.

• المنطقة 3

تزداد مساحات التلامس بين الحبيبات في هذه المنطقة، هذه الزيادة تكون مرفقة باقتراب مراكز الحبيبات المتلامسة من بعضها البعض مما يؤدي إلى إهمال التمدد الحاصل سابقا. مثل هذه المنطقة بداية التقلص وزوال الفراغات .

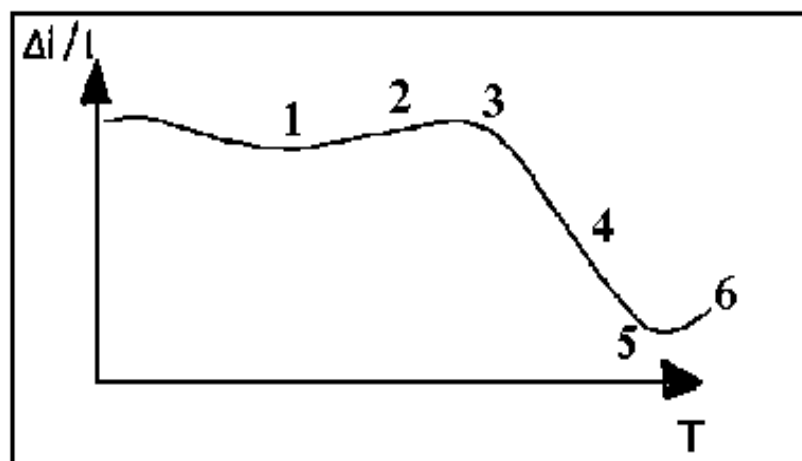
• المنطقة 4

تستمر مساحات التلامس بين الحبيبات في الزيادة، فالفراغات ذات الشكل العشوائي تحاول اكتساب شكل كروي، أما الفجوات ذات الحجم الصغير فتنزول بمحركها إلى السطح عبر الحدود الحبيبية. تعرف هذه المنطقة بمنطقة زوال الفراغات.

• المنطقة 5

تصل الكثافة في هذه المنطقة إلى أعظم قيمة لها. هنا تبرز ظاهرة جديدة، وهي إعادة التبلور ما بين الحبيبات المجاورة والتي لها توجهات مختلفة، فالحبيبات الكبيرة تنمو على حساب الصغيرة منها، ويستمر هذا الوضع إلى حين التقاء الحدود الحبيبية لتشكل فيما بينها فراغات كبيرة وهنا يزداد الحجم.

عملياً هذه المنطقة غير المغوب فيها لذا يمكن إيقاف عملية التبليد في المنطقة 5.



الشكل ١.٣: التقلص النسبي بدلالة درجة الحرارة لمادة خزفية [13].

4.6.1 تنشيط التلبيد

نقصد بتنشيط التلبيد تسريع وزيادة تكثيف المادة الملبدة، وذلك إما بخفض مده عند درجة حرارة ثابتة أو بخفض درجة حرارته نفسها ، ويمكن تحقيق ذلك بطرق عديدة من أهمها [14]:

- زيادة مساحة التلامس بين الحبيبات وذلك بواسطة السحق الجيد للمادة، وكذا استعمال ضغط كافي مما يسمح بالاتصال الجيد للعينات.
- استعمال الإضافات وذلك لتشكيل طور سائل في درجة حرارة منخفضة لأن وجود هذا الطور يسهل عملية تكثيف المادة.
- زيادة مساحة التلامس بين الحبيبات وذلك عن طريق تطبيق ضغط خارجي عند درجات الحرارة المرتفعة.
- استعمال مسحوق ذو توزيع حبيبي، أين تقوم الحبيبات الصغيرة بملأ الفراغات الموجودة بين الحبيبات الكبيرة والزيادة من مساحة سطوح التلامس.

ويعتبر الشكل الكروي للحبيبات هو الشكل الذي يوافق فعالية أكثر للتلبيد، فهي تشكل عند بداية التلبيد مناطق بين الحبيبات شديدة الت-curvature إضافة إلى انتظام توزيع الفراغات على كامل العينة.

7.1 مجالات إستعمال الخزفيات

أصبحت مجالات الاستفادة من الخزف عديدة ومتعددة جدا، ومن هنا تم تقسيم المتجهات الخزفيات تبعاً لخصائصها الفيزيائية والكمائية إلى [14]:

- **منتجات كهربائية**

مثل أجزاء الذرات الكهربائية و الم瑞حات وأجهزة تعمل بالمواجات فوق الصوتية وأجهزة ضبط نسبة الوقود في محركات السيارات وأجهزة مراقبة تسرب الغازات.

- **منتجات مغناطيسية**

مكونات خاصة بذاكرة الحاسوب و الشرائط المغنة والرؤوس المغناطيسية لأجهزة تسجيل الصوت.

- **منتجات نووية**

الجدران الواقية للمفاعلات النووية.

- **منتجات بصرية**

لإنتاج أجزاء شفافة تقاوم الحرارة العالية والتآكل.

- **منتجات ميكانيكية**

أجزاء آلة الاحتراق الداخلي للسيارات وأدوات القطع.

- **منتجات حرارية**

عوازل حرارية ومبطنات الأفران.

● **منتجات كيميائية**

وسائل التبادل الإلكتروني ومساعدات الحفز.

● **منتجات بيولوجية**

بيوسيراميك: أجزاء صناعية للعظام و مفاصل صناعية وأسنان صناعية ومتارط للعمليات

الجراحية.

● **منتجات بيئية**

شرائح رقيقة خاصة بترشيح الماء أو تنقية الهواء.

١.١١. مقدمة

لقد ظهر البورسلان لأول مرة في الصين بين القرنين السابع والعاشر، ولكن النوعية الجيدة لم تظهر حتى القرن الرابع عشر.

وفي القرن الخامس عشر نقل مجموعة من الإيطاليين بعض المتنوجات إلى إيطاليا ومنذ ذلك الحين ظهر إهتمام كبير في أوروبا بالبورسلان وكيفية إنتاجها.

في عام 1700م، بدأ الفرنسيون و بعدهم البريطانيون في تنقية البورسلان لاستعماله في صناعة الصحف و التحف الفنية.

تتكون البورسلان أساساً من الكاولان والكوارتز والفلدسبات وفي حالة تكونها من 50% وزناً من الكاولان و 50% من مسحوق العظام تسمى مباشرة الصينية "china".

٢.١١. مكونات البورسلان

يتكون البورسلان من ثلاثة مواد أولية أساسية وهي : الكاولان و الكوارتز و الفلدسبات.

٢.١.١. الكاولان

تعتبر المعادن الطينية ومن بينها الكاولان الطينية (التي تمتاز بخصائصها الكيميائية و الفيزيائية المميزة) من أهم المواد المستعملة في صناعة الخزفيات التقليدية والحديثة نظراً لتطبيقاتها الكثيرة في صناعة الخزفيات وصناعة الورق...الخ.

ففي البورسلان تتراوح نسبة الكاولان ما بين 40% و 60% و تمثل دور الملدن (زيادة لدونة البورسلان)، كما تعمل زيادة نسبة الكاولان إلى تحسين مقاومة الصدم الحراري للبورسلان [15,16].

ويلخص الجدول 1.1 التطبيقات الشائعة للكاولان [17].

جدول 1.1 التطبيقات الشائعة للكاولان [17].

المقاومة للحرارة	بلاستيك	صناعة الورق
المرشحات	الرجاج	الصيدلة
الألياف البصرية	وسيط مساعد	دهان
الإسمنت	العوازل	الخزفيات

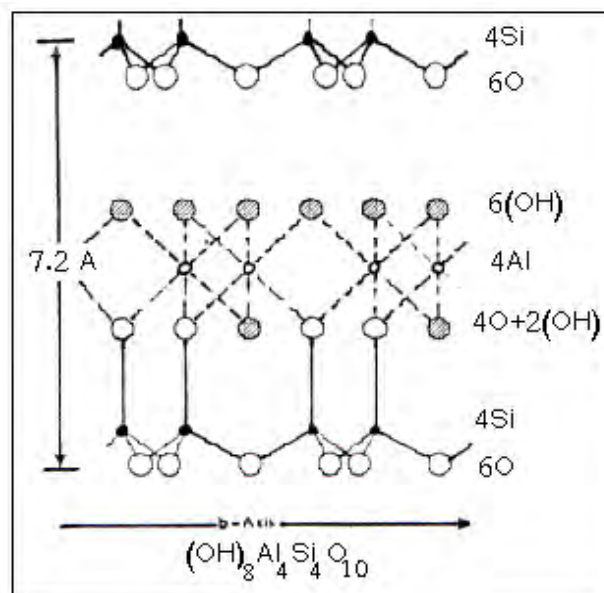
أ - تعريف

إن أصل الكلمة كاولان هو اسم مدينة صينية، أين كان استغلال هذه المادة لأول مرة، وهي أساس الخزف الصيني "بورسلان" [18]. وتعتبر أكثر المواد الأولية انتشاراً في العالم، تأخذ اللون الأبيض أو الرمادي وذلك حسب احتوائها على شوائب أو مواد عضوية.

الصيغة الكيميائية للكاولان هي كما يلي: $\text{Al}_2\text{O}_3 \cdot 2\text{SiO}_2 \cdot 2\text{H}_2\text{O}$ [18.9]. وهذا بحسب وزنية تقدر بحوالي: 39.53% من Al_2O_3 و 46.50% من SiO_2 و 13.95% من H_2O ، وزن مولي يقدر بحوالي g 258، كما تقدر نسبتها الحجمية النظرية بحوالي 2.6 g/m^3 .

تحتفل هذه النسب باختلاف درجة نقاوة الكاولان حيث نجد أن الكاولان الجيدة تحتوي على نسبة تقدر بحوالي 45.50% من Al_2O_3 لكنها نادرة الوجود في الطبيعة وذلك لاحتواها على شوائب مثل: MnO و Fe_2O_3 و MgO و Na_2O و K_2O أو تشابهها هي الديكيت والناكريت والميتااللوزait والتي لها نفس الصيغة الكيميائية بالإضافة إلى المواد العضوية. ومن أهم العناصر التي تنتمي إلى عائلة الكاولان

.[6] $\text{Al}_2\text{Si}_3\text{O}_5(\text{OH})_4 \cdot 4\text{H}_2\text{O}$ (الكلوزait) صيغته الكيميائية هي $\text{Al}_2\text{Si}_3\text{O}_5(\text{OH})_4$



الشكل 1.1: البنية البلورية للكاولينيت [19].

ب — بنيتها

تكون الكاولان بصفة عامة من صفائح عنصرية للمواد المشكّلة لها، حيث تتوضع فوق بعضها البعض، أبعادها تتغير ما بين $0.3 \mu\text{m}$ و $10 \mu\text{m}$ بالنسبة للقطر ومن $0.05 \mu\text{m}$ إلى $2 \mu\text{m}$ بالنسبة للسمك [18.6]. تتكون

الصفائح عن طريق تجمع الطبقات ثمانية الوجوه لعنصر Al الواقعة تحت الطبقة السداسية لرباعي السيليكون [20]، حيث تختل رؤوس الشمانيات غير المرتبطة برباعي وجوه السيليكون بأيونات الهيدروكسيد (OH^-)، كما يمكن أن تبلور الكاولان بصفة عامة في نظام ثلاثي الميل.

ج – خصائص الكاولان

• الخصائص الكيميائية

على عكس المعادن الطينية التي تتكون معظمها من الكاولينيت والتي يمكن أن تحوي على كميات غير مهملة من الأجسام الغريبة (كوارتز وإليت وجبس وميكا....) يتكون الكاولان أساساً من الكاولينيت المتبلور بصفة جيدة إضافة إلى نسبة، غالباً، مهملة من الشوائب من بينها:

— الشوائب الكاشطة

بالنسبة للكاولينيت الروسي، تمثل هذه الشوائب أساساً في الكوارتز حيث يعمل على زيادة كشط الكاولان [21].

— الشوائب الطينية

وهي من نوع المونتموريونيت والإليت والميكا . وتؤثر هذه الشوائب بصفة سلبية على الخصائص الريولوجية للمزيج المائي المعلق ذي التركيز العالي من الكاولان [21].

— الشوائب الملونة

وتمثل أساساً في :

أ— أكسيد الحديد

في العموم ، يوجد على الشكل Fe_2O_3 ويلون الكاولان بالأصفر المائل للحمرة. ويتم التخلص منه بطرق مختلفة، طرق كيميائية، طرق الفصل بالطفو [6,22] أو بطرق فيزيائية (العزل المغناطيسي الرطب). وهذه الطريقة الأخيرة صالحة عندما يوجد أكسيد الحديد في الكاولان على شكل جزيئات بارا مغناطيسية معزولة، الأمر الذي يتطلب حفلاً مغناطيسياً عالي الشدة يصل إلى حدود [22] 20000 Gauss.

وعندما يشغل موقع حاملة للحديد في شبكة الكاولان لا يمكن فصله بطرق مغناطيسية ويتم استعمال الطرق الكيميائية (عوامل البياض الكيميائي). ومن بين هذه الطرق هناك طريقة تعتمد على إرجاع أكسيد الحديد هيدروسيلفات الصوديوم و الحمض الكبريتي و تعتبر هذه الطريقة من أكثر الطرق فعالية [22].

ب— أكسيد التيتان

وهي عبارة عن مواد حاملة للتitan (الأنطازان ، الروتيل ، اللوكسين ، الإلمنيت) تلون الكاولان بالرمادي المائل للاصفرار. تكون هذه المواد حرة في الكاولان الشيء الذي يسهل التخلص منها بطرق فيزيائية و كيميائية [22].

يوجد أنواع متعددة من الروابط في الكاولان، تساهمية ، فان دير والر ، مما يميزه بخاصية العزل ونتمكن من استعماله في المواد الصلبة العازلة [23,22].

● الخصائص الفيزيائية

يوضح الجدول 2 الخصائص الفيزيائية للكاولان .

جدول II. 2 الخصائص الفيزيائية للكاولان [24].

القيمة	الخاصية
2-2.6	الكتافة (g/cm ³)
10-20	نسبة امتصاص الماء (%)
(5.0-7.0) × 10 ⁻⁶	معامل التمدد الحراري °C (20-700)
0.0005-0.004	ناقليه حرارية (cal/cm s°C)
50-210	مقاومة الشد (kg/cm ²)
1050-4220	مقاومة الانضغاط (kg/cm ²)
210-250	مقاومة الثني (kg/cm ²)
2.55-3.75	مقاومة الصدم من أجل قضيب قطره 1.27 cm
(0.14-0.35) × 10 ⁻⁶	معامل التمدد (kg/cm ²)
جيدة	مقاومة الإجهادات الحرارية
16— 40	العزل الكهربائي من أجل عينة سمكها (kv/mm) 6.35 mm
10 ¹² —10 ¹⁴	مقاوميه عند درجة حرارة الغرفة (kv/cm ³)

400—700	درجة الحرارة التي عندها المقاومية = $10^6 \text{ (kv/cm}^3\text{)}$
4.5—6.5	ثابت العزل
0.0002—0.010	معامل الاستطاعة من أجل 1 MHz

• الخصائص الحرارية

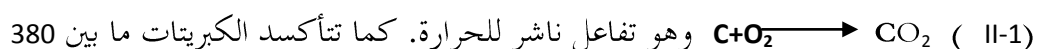
خلال المعالجة الحرارية، تطرأ على الكاولان تغيرات في البنية و اللون ، وهذه التغيرات هي :

— فقدان الماء

في الغالب، يحتوي الطين و الكاولان على نسب تترواح ما بين 1 إلى 3٪ من الماء الزيوبي الذي يبدأ في التبخر عند التسخين ما بين 100 و 200°C .

— الأكسدة

تحلل المواد العضوية ما بين 300 و 400°C فيتاكسد الكربون معطياً ثاني أكسيد الكربون

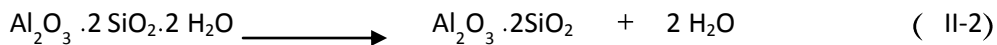


و 800°C مع ابعاد غاز CO_2 .

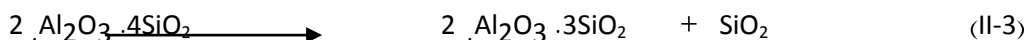
— التحلل

يبدأ تجفيف الطين و الكاولان (فقدان الماء الكيميائي و الذي يدخل في التركيب الكيميائي للكاولان)

ما بين 480 و 700°C معطياً الميكاولان حسب التفاعل التالي :



عند 980°C تخلل الميتا كاولان إلى $\gamma\text{-Al}_2\text{O}_3$ و السيليس حسب التفاعل التالي:



ما بين 1100 و 1200°C يتحول الكوارتز إلى كريستوباليت و يتفاعل السيليس مع $\gamma\text{-Al}_2\text{O}_3$ معطيا . [25,23.6] $3\text{-Al}_2\text{O}_3 \cdot 2\text{SiO}_2$ الميليت

— الهيدرات

تحلل الهيدرات ما بين 100 و 1000°C معطية H_2O .

— الكربونات

تحلل الكربونات ما بين 400 و 1000°C مع انبعاث CO_2 .

— الكبريتات

تحلل الكبريتات ما بين 1000 و 1200°C مع انبعاث غاز SO_2 .

— تحول الكوارتز

عند التسخين ، يطرأ على السيليس تغيرات متعددة الأشكال [25] :

— تحت 572°C يوجد الطور α

— بين 573 و 867°C يوجد الطور β

— بين 867 و 1470°C يوجد التريديميت

— بين 1470 و 1710°C يوجد الكريستوباليت.

— فوق 1710°C يوجد الطور السائل.

5.2.11. ميزات الكاولان الجيد

من أجل الاستعمالات في الأدوات الصحية كالمعاسل والحمامات، يعتمد في اختيار كاولان جيد

على معايير نموذجية [21] ، و الميزات التقنية هي :

— نسبة الكاولينيت أكبر من 75%.

— نسبة المواد الطينية (الإليت ، المونتموريتونيت) أقل من 1%.

— لا تتجاوز نسبة الكوارتز 4%.

— المحتوى من الأكسيد الملونة ($\text{Fe}_2\text{O}_3, \text{TiO}_2$) أقل من 1%.

— المقاومة الميكانيكية أكبر أو تساوي 8 kg/cm^2 .

— من أجل تركيز صب ما بين 65% و 70% وزنا من الكاولان الجاف ، تقدر اللزوجة الظاهرية

— بـ: (500 Cp 0.5 Pas) مع إضافة ما بين 0.5% و 0.55% وزنا من سيليكات الصوديوم.

6.2.11. دمج الكاولان في صناعة الخزفيات

عموما ، يتم دمج جزئيا كل من الكاولان، الفلدسبيات و الكوارتز في صناعة الخزفيات، و لا تصنع القطع الخزفية من الكاولان وحده و لكن بدمجه مع مواد أخرى مثل الطين و الفلدسبيات و الكوارتز.

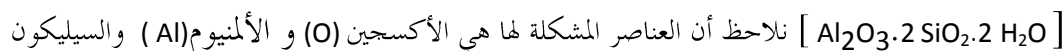
و تسمح الخصائص الفيزيائية ، الكيميائية و الحبيبية للكاولان باستعمالات عديدة و مختلفة حيث يضاف

كمادة أولية في الصصال الصيني للمواد الصحية بنسبة تراوح ما بين 20% – 25% و كمادة ثانوية في دهان

الخزف و البورسلان العازلة للكهرباء للخطوط المنخفضة و المتوسطة و العالية التوتر [21].

7.2.|| أماكن تواجد الكاولان

يتوفر الكاولان بكثرة في جميع أنحاء العالم فإذا تمعنا في التركيبة الكيميائية الأساسية لهذه المادة



(Si) المعروف عن هذه العناصر أنها تشكل أربعة أحجام (5/4) من القشرة الأرضية تقريباً [6]، لهذا مادة الكاولان

منتشرة بكثرة.

2.7.|| الفلدسبات

الفلدسبات هو عبارة عن صخور مكونة من مزيج سيليكات الألミニوم الكلسية والقلوية، وتتراوح نسبة

الفلدسبات في البورسلان ما بين 15% و 25% حيث يعمل على خفض درجة ذوبان الكوارتز، كما تحسن زيادة

نسبة الفلدسبات إلى حد معين المقاومة الكهربائية للبورسلان [15,16].

يوجد الفلدسبات في الطبيعة حوالي عشرون نوعاً تعرف منها تسعة فقط ، وهي عبارة عن صخور

متكونة من مزيج سيليكات الألミニوم الكلسية والقلوية [15,26,27,28].

أهم أنواع الفلدسبات هي [27] :

— الفلدسبات البوتاسي (الأورثوز)

يوجد نوعان : الأورثوكلاز و الميكرولين:



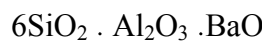
— الفلدسبات الصودي (الألييت)



— الفلدسبات الكلسي (الأنورثيت)



— الفلدسبات الليثي



— الفلدسبات البيري (السلزيان)

— البلاجيوكلاز

وهو مزيج من الألبيت و الأنورثيت و يعتبر نوع الفلدسبات الصودية الكلسية. و يتواجد بكثرة في الفلدسبات الممزوجة أو ذات أغلبية صودية.

— البقماتيت

هو نوع من الفلدسبات يحتوي على نسبة عالية يمكن أن تتراوح ما بين 70 إلى 75% من الكوارتز

الحر. الشيء الذي يقلل من قابليتها للإذابة.

أ — خصائص الفلدسبات

● الخصائص الفيزيائية

— تتراوح كتلتها الحجمية ما بين $\text{mc}^3 / 2.5 \text{ g}$ إلى $\text{mc}^3 / 2.8 \text{ g}$.

— تتراوح صلادتها ما بين 6 إلى 6.5.

— تتراوح درجة ذوبانها ما بين 1260°C - 1285°C .

● الخصائص البلورية

بالرغم من اختلاف بنيتها البلورية "أحادية الميل أو ثلاثة الميل" تتشابه الفلدسبات في بنيتها البلورية ،

طريقة تشكيل الفلدسبات للتراص البلوري " تراص بلورات من نوع واحد و باتجاهات مختلفة" ، سطوح الانفلاق المائلة الواحد بالنسبة لآخر بزاوية قيسها تقريرياً 90° .

وتتميز الفلدسبات ببريقها الزجاجي واختلاف لونها من الأبيض أو عديم اللون إلى الوردي والأصفر والأخضر والأحمر [27].

ب — استعمالات الفلدسبات

— الأورثوز

يدب الأورثوز الخزفيات الزجاجية بطريقة حسنة لكن بطيئة وتدريجية و يتميز بكر سطح التزجيج [27].

— الأليت

يدب الخزفيات الزجاجية بطريقة أحسن من الأورثوز و يتميز بسطح التزجيج أقل من سطح الأورثوز .[27]

— الأنورثيت

لا يمكن استعماله وحده. و يتميز بصغر سطح التزجيج و درجة حرارة ذوبانه المرتفعة نسبيا [27].

3.7.1 الكوارتز

يعد السيليس (أو كسيد السيليسيوم SiO_2) من بين الأمثلة الأشد تعقيدا و الأكثر أهمية نظرا للتعدد

بنياته البلورية. و يوجد السيليس على حالتين أساسيتين:

• حالة جافة SiO_2 وتكون على حالتين:

أ — متبورة: و يوجد ثلاثة أنواع بلورية (كوارتز و تريديمييت و كريستوباليت).

ب — لا بلورية: زجاج السيليس

• حالة مميهة $\text{H}_2\text{O} \cdot \text{SiO}_2 \cdot n$ متغيرة و غالبا ما تساوي 3 أو 4.

و في حالة وجود الماء يمكن للسيلسيس أن يتحول إلى عجين الشيء الذي له أهمية كبيرة في تكوين الصخور .

أ — الخصائص البلورية للكوارتز

• الكوارتز

يعد الكوارتز من أكثر الخامات تواجدا حيث يشكل 12% من تركيبة الطبقة السطحية للأرض وهو مكون أساسي في الصخور البركانية و الرسوبيّة ، كما يمثل الكوارتز مع الألومين البنية الأساسية للبورسلان حيث تتراوح نسبة الكوارتز ما بين 30 و 40% و تعمل زيادة نسبة الكوارتز إلى حد معين المقاومة الميكانيكية للبورسلان [15.16]. و تبلغ كثافته 2.651 g/mc^3 عند 0°C و 2.649 g/mc^3 عند 20°C .

وهو على شكلين : الكوارتز α والكوارتز β .

يحتوي الكوارتز α (كوارتز درجة الحرارة المنخفضة) على ثلاثة جزيئات من SiO_2 ويمثل شبكة

سداسية ثلاثية التناظر ذات الأبعاد البلورية التالية:

$$a = 4.913 \text{ \AA}^\circ$$

$$c = 5.405 \text{ \AA}^\circ$$

و عند تسخينه يحدث له تحول انتقائي مباشر (شبه بلوري) إلى كوارتز β (كوارتز درجة الحرارة المرتفعة) عند

درجة حرارة 573°C [30,29]

$$a = 4.996 \text{ \AA}^\circ$$

$$c = 5.456 \text{ \AA}^\circ$$

ويمثل كوارتز β شبكة (hexagonal) ذات الأبعاد البلورية التالية:

$$a = 4.996 \text{ \AA}^\circ$$

$$c = 5.456 \text{ \AA}^\circ$$

[30,29]

— التريديميت

يعد التريديميت نادراً و قليل الأهمية حيث يوجد في بعض الصخور البركانية و خاصة الحمم كما يوجد بنسبة معتبرة في النيازك. ويمتلك شكلين بلوريين هما التريديميt α و تريديميt β (تريديميt درجة الحرارة المنخفضة) . ويمتد مجال استقرار التريديميt تحت الضغط العادي من 870°C إلى 1470°C و هو يتشكل عند درجات الحرارة العالية فيلاحظ التريديميt β في البلورات الطبيعية[29,30]. يمتلك التريديميt β شبكة سداسية و خلبيه الأبعاد البلورية التالية:

$$a = 5.04 \text{ \AA} \quad C = 8.24 \text{ \AA}^{\circ}$$

وتحتوي على أربع جزيئات من SiO_2 . تتشكل البنية من تجمع رباعيات وجوه SiO_2 مرتبطة فيما بينها بالذرات الأربع للأوكسجين [30,29]

أما التريديميt α فيمتلك شبكة معينيه مستقيمة أبعادها البلورية هي :

$$a = 9.90 \text{ \AA} \quad b = 17.1 \text{ \AA} \quad C = 16.3 \text{ \AA}^{\circ} \quad (b \sim a \times 3^{\frac{1}{2}}) \quad (4-II)$$

وهذا يعني أن الشبكة تقريباً سداسية أبعادها تقريرياً ضعف لأبعاد خلية التريديميt β . و تبلغ كثافة التريديميt α 2.26 g/cm^3

— الكريستوباليت

يوجد طبيعياً في الصخور البركانية وهو الشكل المستقر للسيليس عند درجات الحرارة أعلى من 1470°C إلى غاية 1713°C (درجة الانصهار). يتواجد الكريستوباليت β في حالة مستقرة إلى غاية 220°C حيث يتحول شكل كريستوباليت α [30,29].

يمتلك الكريستوباليت β خلية مكعبية بعدها $a = 7.13 \text{ \AA}$ تحتوي على ثانية جزيئات من SiO_2

ويمكن تمثيل البنية إبتداءً من خلية متعرجة الوجه حيث تحتل ذرات Si مواقع ذرات الفحم في بنية الماس و الرابط $\text{Si}-\text{O}-\text{Si}$ خطية، تحتل ذرات الأوكسجين متصفاتها [30,29].

أما الكريستوباليت α فيمتلك خلية رباعية (quadratique) أبعادها هي:

$$a = 4.97 \text{ \AA} \quad C = 4.97 \text{ \AA} \quad [30.29]$$

ويحتوي على أربع جزيئات من SiO_2 وتبلغ كثافة الكريستوباليت 2.33 g/cm^3 .

ب – التحولات الطورية للسيليس

نميز بين حالتين في التحولات الطورية للسيليس

• تحولات شبه بلورية (تحولات انتقالية)

تكون هذه التحولات عكوسة و سريعة، وهي تدخل تغيرات ضئيلة في ترتيب الذرات و بالتالي في جملة

الخصائص و خاصة الكثافة [30,29].

— يتحول الكوارتز الطبيعي (الكوارتز α) إلى الكوارتز β عند درجة حرارة 573°C وهذا الأخير يبقى

مستقراً إلى غاية 870°C .

— يتواجد التريديميت عند درجة الحرارة العادية في حالة شبه مستقرة و الذي يدعى بالترليديميت α و

يارتفاع درجة الحرارة أكبر من 163°C إلى التريديميت β والذي يحافظ على بنائه إلى غاية درجات الحرارة
العالية.

- يكون الكريستوباليت α شبه مستقر عند درجة حرارة أقل من 220°C فيتحول إلى كريستوباليت β ويكون مستقراً إلى غاية درجة الانصهار 1713.1°C .

• تحولات بلورية (تحولات بناء)

تكون هذه التحولات بطنية وتستلزم في كثير من الأحيان أجسام شائبة تدعى معدنات (ألكما) تحدث تغييراً عميقاً في الخصائص، ولذلك توجد الأشكال الثلاثة (كوارتز و تريديميت و كريستوباليت) في الطبيعة عند درجة حرارة و ضغط عاديين [29,30].

- تحول الكوارتز إلى تريديميت

لا يتم هذا التحول إلا بوجود معدن (minéralisateur). تكون سرعة التحول ضعيفة بجوار 870°C (بداية مجال استقرار تريديميت) وتنزايده مع ارتفاع درجة الحرارة، حيث يكون تأثير أبعاد الحبيبات ضعيفاً.

- تحول الكوارتز إلى كريستوباليت

إن تحول الكوارتز النقي تحت تأثير درجة الحرارة فقط يتم دوماً إلى كريستوباليت ، ونظرياً يجب أن تتفاوت درجة الحرارة 870°C أما عملياً لا بد من الوصول إلى 1000°C حتى يتحقق التحول بشكل واضح إلى كريستوباليت. يبدأ التحول من داخل حبيبات الكوارتز و تنزايده سرعة التحول مع درجة الحرارة كلما كانت الحبيبات أدق . ابتداءً من 1470°C يسجل بداية مجال الاستقرار الترموديناميكي للكريستوباليت.

- تحول الكريستوباليت إلى تريديمييت

إذا سخن الكريستوباليت عند درجة حرارة مخصوصة بين 870°C و 1470°C يتحول إلى تريديمييت

مستقر. في هذا المجال من درجة الحرارة، تكون سرعة التحول دوماً صغيرة جداً مقارنة مع سرعة تحول الكوارتز إلى كريستوباليت. يبدأ التحول من سطوح حبيبات الكريستوباليت، أما عند درجة الحرارة 1470°C يتحول التريديمييت إلى كريستوباليت ويتم التحول بسرعة بوجود معدنات [30,29].

ج — مجالات الاستعمال

يوجد العديد من منتجات السيليسيس. عيوبها تقييد في مختلف الاستعمالات منها [30] :

- التعدين : قبب أفران مارتا والأفران الكهربائية و تغليف محولات الأحماس.
- صناعة الزجاج و قبب و قوائم الأفران.
- أفران الفحم الحجري و أفران الخزفيات وخاصة أفران بشكل نفق لتسخين الحرارييات.

3.11. خصائص البورسلان

3.1.1.1. الخصائص الحرارية

تحل محل الكريستوباليت بمحاذاته الجيدة لدرجات الحرارة العالية و يعتبر معامل التمدد الخططي و الناقلي

الحرارية و مقاومة الإجهاد الحراري من أهم الخصائص الحرارية.

وفيما يلي نلخص الخصائص الحرارية للبورسلان:

أ — الناقلة الحرارية

تعرف الناقلة الحرارية لمادة بقدرها على نقل التدفق الحراري في وحدة مساحة ووحدتها $W/(m \cdot K)$. في الخزفيات تسجل الناقلة الحرارية العالية في المواد المكونة من عناصر بسيطة مثل الغرافيت أو من ذرات بأوزان متقاربة مثل SiC و BeO و B_4C على عكس المواد المكونة من عناصر مركبة مثل Al_2O_3 والتي تمتاز بناقليتها الحرارية الضعيفة [31].

ونورد فيما يلي بعض قيم الناقلة الحرارية لبعض المواد:

■ SiC ناقل جيد $1.1 W/(cm \cdot K)$

■ الألومين $0.25 W/(cm \cdot K)$ ناقل ضعيف

■ الزجاج $10^{-2} W/(cm \cdot K)$ ناقل ضعيف

■ البوليمر $10^{-3} W/(cm \cdot K)$ ناقل ضعيف

ب — معامل التمدد الحراري

يعرف معامل التمدد الحراري الخطى بالتمدد النسبي $\alpha = \Delta l / l_0$ تحت تأثير ارتفاع درجة الحرارة الناتج عن زيادة سعة اهتزازات الذرات تحت تأثير الحرارة ووحدته K^{-1} .

$$\alpha = \Delta l / l_0 * \Delta \theta \quad (5-II)$$

l_0 : الطول الإبتدائي و Δl : التمدد الطولي و $\Delta \theta$: التغير الحراري .

و يتزايد معامل التمدد الحراري الخطى مع إرتفاع الحرارة [34]. و يتعلق التمدد الحراري بصفة قوية بالبنية الداخلية للخزفيات، فتعتبر البنية المترادفة للخزفيات الأيونية كالأكسيد (MgO, ZrO_2, Al_2O_3) المسؤولة عن تمدها الحراري القوي وبالتالي مقاومتها الضعيفة للإجهاد الحراري على عكس الخزفيات ذات البنية التساهمية

(باستثناء الأكسيد) التي تمتاز بتمدد حراري ضعيف. وظهر خزفيات مثل: الميليت والكورديريت معاملات تمدد حرارية أضعف [32].

و فيما يلي بعض قيم معامل التمدد الحراري:

$$7.60 \times 10^{-6} \text{ K}^{-1} \quad \text{الألومنيوم:}$$

$$4.40 \times 10^{-6} \text{ K}^{-1} : \text{ Sic}$$

ج — مقاومة الإجهاد الحراري

يحدث الإجهاد الحراري نتيجة للإجهاد الحراري الناتجة عن تغير في درجة الحرارة بين سطح المادة

و داخلها . وكلما كان معامل التمدد ضعيفا كلما كانت مقاومة الإجهاد الحراري قوية [32].

فيما يلي نورد لبعض الخزفيات قيم الشدة العظمى للإجهاد الحراري و المعرفة بالتغيير الحرج لدرجات الحرارة ووحدتها .

$$220^{\circ}\text{C} \quad \text{الألومنيوم:}$$

$$340^{\circ}\text{C} \quad \text{Sic}$$

2.3. II. الخصائص الميكانيكية

تحت تأثير الإجهاد الميكانيكي، تتجاوب المواد بطرق معقدة و مختلفة فمثلا يتقلص أو يتمدد المعدن دون أن ينكسر و يتكسر الزجاج و البورسلان دون أن تحدث لهما تشوهات مسبقة و لهذا السبب يتوجب معرفة دقيقة للخصائص الميكانيكية للخزفيات.

أ — مقاومة الشد

نخضع مادة اختيار معينة لاختيار ميكانيكي مستعملين آلة شد تمتاز مثلا بسرعة تشهو $d(\Delta l)/dt$ ثابتة.

وتعلق القوة المطبقة و التمدد الناتج بأبعاد المادة و سلوكها الذاتي.

ومن أجل التخلص من تأثير الأبعاد ، نرجع القوة المطبقة "F" إلى السطح الابتدائي فنعرف الإجهاد :

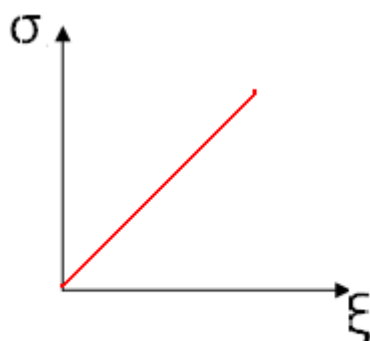
$\sigma = F/S$ و وحدته Pa و يعرف التشوه على النسبة بين التمدد "Δl" و الطول الابتدائي "l₀" :

$\epsilon = \Delta l/l₀$ وليس له وحدة.

و عند درجة حرارة الغرفة، تظهر الخزفيات سلوكا خطيا منا و تمتاز بمعامل مرونة "E" عالي جدا

وتشوهات مرنة صغيرة جدا. وباستعمال تقريب جيد، نستطيع القول أن للخزفيات سلوك مرن إلى غاية

التصدع.



شكل II. 2. تغير σ بدلالة ε

ونورد فيما يلي بعض القيم لمعامل المرونة لبعض الخزفيات [32]:

$$E = 3.1 \text{ GPa} \quad - \text{زجاج الوقاية:}$$

- الزجاج: $E = 700 \text{ GPa}$

ونورد فيما يلي بعض القيم لمقاومة الشد لبعض الخزفيات [32]:

- الزجاج: $\zeta = 70 \text{ M Pa}$

- الألومنيوم: $\zeta = 350 \text{ M Pa}$

- SCl: $\zeta = 500 \text{ M Pa}$

ب — مقاومة التصدع

تمتاز الخزفيات بصلابتها الضعيفة أي بقابليتها لانتشار عيوب كالفراغات و التشققات المجهريّة عند

تطبيق إجهاد معين، حيث تتراوح صلابة الخزفيات ما بين $1 \text{ MPam}^{\frac{1}{2}}$ بالنسبة للزجاج و $10 \text{ MPam}^{\frac{1}{2}}$ بالنسبة

للزركون [32].

ج — الصلادة

يتم الحصول على قيم الصلادة عن طريق قراءات مباشرة لقطر الأثر الناتج عن تطبيق ثقل معين.

و عموماً تعتبر الخزفيات مواداً صلدة جيدة ولكنها جد قصبة [31].

نورد قيم الصلادة لبعض الخزفيات طبق عليها ثقل مساوٍ لـ 500 g .

- الألومنيوم الملبد: 1530 MPa

- الزجاج: $(96\% \text{ سيليس}) \text{ MPa} = 47$

يوضح الجدول 3.11 بعض الخصائص الميكانيكية للبورسلان

يوضح الجدول II. 3. بعض الخصائص الميكانيكية للبورسلان [31].

البورسلان الألوميني ذو المقاومة الميكانيكية العالية	البورسلان الألوميني ذو المقاومة الميكانيكية النموذجية	البورسلان الكريستالي	البورسلان السيلسيسي المضغوط	البورسلان السيلسيسي	أنواع البورسلان			الخصائص
					الوحدة	الرمز		
0.0	0.0	0.0	3	0.0	% حجم	ρ_a	الفراغات الظاهرة	
2.5	2.3	2.3	2.2	2.2	g/cm^3	δ_a	الكتلة الحجمية الظاهرة	
140	90	80	40	50	mm/N^2	R_F	غير مزخرف	مقاومة الانحناء
160	110	100		60	mm/N^2	R_F	مزخرف	

III.4. الخصائص العزلية

ترتبط الميزات الكهربائية للخزفيات بوحدة من الخصائص التالية:

أ— ثابت العازلية

يعرف ثابت العازلية للمواد على أنه قدرة هذه المواد على تخزين الشحنات الكهربائية، فكلما كان ثابت العازلية للمادة أكبر كلما كانت قدرة هذه المواد على تخزين الشحنات أكبر [33].

إذن سعة مكثفة في الفراغ المكونة من لبوسين ذات مساحة "S"، منفصلين بمسافة "e" تساوي:

$$C_0 = \epsilon_0 (e / S) \quad (6-II)$$

$$\epsilon_0 = 8.85 \times 10^{-12} \text{ m F}^{-1} \quad (\epsilon_0 \text{ ثابت العازلية للفراغ})$$

في حالة وضع وسط عازل بين اللبوسين، سعة المكثفة "C" تصبح تساوي :

$$C = \epsilon (S / e) \quad (7-II)$$

مع ϵ : ثابت العازلية المطلق ووحدته pF/m .

يعرف ثابت العازلية ϵ بالعلاقة:

$$\epsilon = \epsilon_r \epsilon_0 \quad (8-II)$$

حيث ϵ_r ثابت العازلية النسبي الذي يصف خاصية المادة الخزفية وله أهمية كبيرة في تطبيقات المواد الخزفية [34].

نورد فيما يلي بعض قيم ثابت العازلية النسبي [32]:

- الزجاج : $\epsilon_r = 3.7-19$

- الميكا : $\epsilon_r = 4.8$

- الألومين : $\epsilon_r = 9.0$

ب — زاوية فقدان العازلية :

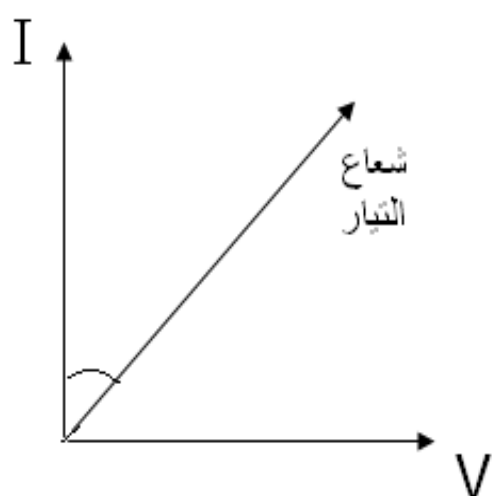
أي مادة عازلة معرضة في الحقيقة ، إلى فقدان العازلية وهذا فقدان العازلية يمثل الحد من عمل المكثفات في

تخزين الشحنات الكهربائية [33].

تعرف زاوية فقدان العازلية δ بالعلاقة التالية :

$$\operatorname{gt} \delta = \epsilon_{r2} / \epsilon_{r1} \quad (9-11)$$

ويبيّن انحراف الطور بالنسبة للحالة المثالية لشاعع التيار في بيان التيار بدلالة التوتر (شكل ١١-٤).



شكل ١١.٣. تغير التيار بدلالة التوتر

تتعلق زاوية فقدان العازلية بالحرارة و التواتر.

و يستحسن أن يكون ثابت العازلية منخفضاً و زاوية فقدان العازلية صغيرة في بعض التطبيقات كما في خطوط نقل الطاقة الكهربائية على عكس استعمالات أخرى كالمكثفات أين يرغب في الحصول على سعة عالية بأبعاد صغيرة للمادة. ويستحسن أن يكون ثابت العازلية مرتفعاً و زاوية فقدان العازلية منخفضة [34].

نورد فيما يلي زاوية فقدان العازلية لبعض الخزفيات :

$$-\text{الألومنيوم} \quad \delta_{gt} < 0.0005 \quad \text{من أجل تواتر } 10^6 \text{ Hz}$$

$$-\text{الزركون} \quad \delta_{gt} = 0.001 \quad \text{من أجل تواتر } 10^6 \text{ Hz}$$

ج — المقاومة:

في حالة مكثفة مستوية ذات لبوسين متوازيين بينهما وسط عازل المقاومة تعطى بالعلاقة [33] :

$$(10-11) \quad R = \rho \times e / s$$

s : مساحة اللبوس ، e : سمك العينة .

R : مقاومة مادة ذات شكل أسطواني و متجانس و تحسب انتلاقاً من العلاقة $R = u/I$.

u : التوتر المطبق و I : شدة التيار.

تتعلق المقاومة بالحرارة والحقن الكهربائي، وهي تمثل الميزة الكهربائية للمادة الناقلة، و وحدتها "Ωm" [31].

في العموم ، يعبر عن التيار العابر للعزل بالنانو أمبير أو البيكو أمبير ، الشيء الذي يتطلب تقنيات قياس وأجهزة جد دقيقة.

تأثير المقاومة ببعض العوامل، نذكر منها:

• تأثير الحرارة:

في العموم ، تتغير مقاومة العوازل مع الحرارة حسب العلاقة التالية:

$$\rho = \rho_0 (\exp E_A / Tk) \quad (11-1)$$

T: درجة الحرارة المطلقة (K°)

k : ثابت بولتزمان (k = 1.38 × 10⁻²³ J K⁻¹)

ويمكن المحافظة على هذه العلاقة الخطية في مجال واسع من درجة الحرارة.

• تأثير الرطوبة

للرطوبة تأثير كبير في مقاومة وبالتالي مقاومة المادة العازلة. ويتعلق تأثير الرطوبة بالعامل الاسترطائي للمادة العازلة.

• تأثير الحقل الكهربائي المطبق

عند تطبيق الحقول الضعيفة، تتبع المواد العازلة قانون أوم. يعني أن المقاومة لا تتعلق بالحقل المطبق . أما عند تطبيق حقول كهربائية عالية نسبيا فيلاحظ تناقص المقاومة بازدياد الحقل الكهربائي الشيء الذي يفسر بزيادة الإلكترونات عند القطبين و تواجد شوائب أو عيوب في المادة العازلة.

عند درجة حرارة الغرفة، يعطي المجال [15,17] المجال المخصوص ما بين منطقة الحقل الكهربائي الضعيف و منطقة الحقل الكهربائي العالي [35]. و عمليا، يستحسن قياس المقاومة عند الحقول الضعيفة ليبتعد عن البقاء في مجال تطبيق قانون أوم. ويمكن الحصول على دقة قياس عالية عند الحقول العالية. كما يمكن مقارنة مقاومة مادة معينة بسمك مختلفة بتطبيق حقل كهربائي ثابت.

• تأثير طبيعة الأقطاب

من أجل الحصول على قيم مقبولة من المقاومة و المقاومية، يجب التصاق الأقطاب بصفة جيدة مع سطح المادة. أي تسرب للهواء بين القطب و سطح المادة يؤثر في النتيجة بسبب المقاومية العالية جدا للهواء . ومن أجل التصاق جيد للأقطاب مع السطح يتم استعمال عصارة الفضة أو البلاتين و عند إجراء قياسات عند درجات حرارة عالية يتم استعمال مزيج شبه غروي من الغرافيت.

د — القوة العزلية

القوة العزلية للمادة هي مدى مقاومة المادة العازلة للتوترات المطبقة عليها. فعند تسلیط توتر مستمر بين طرفيقطبين يفصلان طرفي المادة العازلة وذلك انطلاقا من الصفر، فإن تيارا ضعيفا يبدأ في الانتقال ويثبت عند قيمة معينة.

وبزيادة التوتر يبقى هذا التيار ثابتا إلى بلوغ التوتر قيمة معينة والتي تسمى بتوتر الاكثiar حيث عند هذه القيمة يزداد التيار إلى قيمته القصوى الناجحة من ذارة التغذية ، وهذا في وقت قصير من رتبة 10 ثانية. هذا الظهور المفاجئ للتيار الكهربائي القوي يؤدي إلى انقطاع التيار بين طرفيقطبين حيث تحدث شرارة كهربائية تؤدي إلى ثقب المادة الخزفية.

تسمى نسبة توتر الاكثiar(توتر الثقب) بينقطبين و سمك المادة الخزفية بالصلابة العزلية وحدتها: V/m .

وتمثل قدرة المادة الخزفية في الاحتفاظ بالإلكترونات عند تطبيق توترات عالية أو القيمة العظمى للحقل الكهربائي التي يمكن تطبيقها دون حدوث اكثiar أو ثقب عزلي.

تعلق الصلاة العزلية بعوامل عديدة منها : الفراغات و بعد الحبيبات و تجانسها و ظهور العيوب المجهريه . و عموماً يتناسب توتر الثقب عكسياً مع الحرارة . كما تتناسب القوة العزلية عكسياً مع سمك المادة الخزفية [31].

يوجد نوعان من الثقب : الثقب التفريغي و الثقب الحراري [31]:

- **الثقب التفريغي**

يؤدي الثقب التفريغي إلى تلف موضعي في البنية دون حدوث تسخين بارز.

- **الثقب الحراري**

تضعف المميزات العزلية نتيجة للتسخين الناتج عن تطبيق مستمر للتتوتر أو تحرير غير كاف لطاقة تأين العازل الكهربائي .

وفي العموم ، يمكن أن يحدث هذان النوعان من الثقب سوياً.

في الخزفيات ، تتحصر القوة العزلية ما بين 4 و 5 V/m بالنسبة لسمك لسمك مساوٍ بضع عشرات الملم و تزداد بصغره . و نورد فيما يلي قيم الصلاة العزلية لبعض الخزفيات [31].

- الألمنيوم (بنسبة من الألومين مساوية أو أكبر من 99%) $E_d = 17 \text{ V/mm}$

- البورسلان $E_d = 20 \text{ V/mm}$

- الزجاج $E_d = 118 \text{ V/mm}$

و الجدول 4. 4 يوضح بعض الخصائص العزلية للبورسلان.

يوضح الجدول II. 4 بعض الخصائص العزلية للبورسلان [31].

البورسلان المقاومة الميكانيكية العالية	البورسلان المقاومة الآلية ذو	البورسلان الميكانيكية المنخفضة	البورسلان الكريستاليني	البورسلان السيلسي	النوع	أنواع البورسلان		
						الوحدة	الرمز	الخصائص
20	20	20			20	mm/vk	E_d	القوية العزلية
30	30	30			30	vk	u	توتر الضبط
6-7.75	6-7	5-6			6-7		ϵ_r	العزلية النسبية $48-62 \text{ Hz}$
600 إلى 500	600 إلى 500	600 إلى 500			600 إلى 500	10^{-6} K^{-1}	T_{vk}	معامل الحرارة
30	25	25			25	10^{-3}	$\operatorname{tg}\delta$	-62 Hz 48 معامل الفقدان 20°C
						10^{-3}	$\operatorname{tg}\delta$	1 k Hz
15	12	12			12	10^{-3}	$\operatorname{tg}\delta$	1 M Hz
10^{11}	10^{11}	10^{11}	10^{11}	10^{11}	$\text{cm} \cdot \Omega$	ρ_v	20°C	المقاومة المستعرضة بدلة الحرارة
10^7	10^7	10^7	10^7	10^7	$\text{cm} \cdot \Omega$	ρ_v	200°C	
10^4	10^4	10^4	10^4	10^4	$\text{cm} \cdot \Omega$	ρ_v	600°C	
					$\text{cm} \cdot \Omega$	ρ_v	1000°C	

5.2. أنواع البورسان

1.5.1. البورسان السيليسي

تمثل العوازل المستعملة كدعامات للأسلاك الناقلة للطاقة الكهربائية مثلاً جيداً للبورسان السيليسي .

و ينقسم هذا النوع إلى بورسان صلب و بورسان لدن [16,15,6].

أ — البورسان الصلب

يمتاز بفترة التجفيف القصيرة عند درجات حرارة تتراوح ما بين 950 و 1400°C. و يعتبر التمدد في فترة

التجفيف باهظ الثمن و يمكن أن يؤدي إلى ظهور تشوهات عند درجات حرارة مرتفعة.

ب — البورسان اللدن

يحتوي على كميات كبيرة من الفلدسبات (35% وزناً - 25% وزناً) . و يجفف تجفيف مؤكسد عند درجة

حرارة تتراوح ما بين 1170 و 1270°C لكن دون حدوث تشوهات و يمتاز بسطح التجفيف الصغير و معامل

التمدد أكبر مقارنة بالبورسان الصلب.

2.5.2. البورسان الكريستوباليتي

و هو ذو أصل ياباني حيث يمتزج الكريستوباليت " طور بلوري للكوارتز مستقر عند درجات الحرارة

العالية" ذو الحبيبات الدقيقة بالمواد الأولية " الكاولان و الفلدسبات " معطياً بورسان ذو مقاومة ميكانيكية

جيءة من أجل أيام باهظة نوعاً ما.

3.5.11. البورسان الألمني

يوجد نوعان وهما :

أ— البورسان الألوميني ذو المقاومة الميكانيكية العالية

وهو مشتق من البورسان السيليسي بتعويض الكوارتز بالألومنيوم من أجل زيادة المقاومة الميكانيكية وترتبط هذه الزيادة ارتباطاً مباشراً بالكميات المضافة من الألومنيوم. ولاحظ أن البورسان الحاوية على 40% وزناً من الألومنيوم تمتاز بمقاومة ميكانيكية أكبر مرتين من المقاومة الميكانيكية للبورسان الصلب.

ويعتبر هذا النوع من البورسان باهظ الثمن " من ناحية المواد الأولية ومن الناحية التكنولوجية " مقارنة بالبورسان السيليسي الذي يصعب تشكيله بعد التجفيف بسبب صلادته [16].

ب— البورسان الألوميني ذو المقاومة الميكانيكية العالية والفقدان الضعيف للعزلة

في هذا النوع من البورسان يتم تعويض الفلسبارات القلوية بمذيبات من نوع الكربونات والسيликات من أجل خفض معامل فقدان العزلة . ويتميز بصغر سطح التجفيف الشيء الذي يجعل تصنيعها دقيقاً وأحياناً صعباً بالنسبة للقطع الثقيلة [16].

4.5.11. أنواع البورسلان المختلفة

يتم الحصول عليها بتعويض الكوارتز في البورسلان السيليسي و قد تم دراسة استعمال مجموعة من المواد لكن دون الحصول على نجاح صناعي كبير خاصة في ميدان التوترات العالية و نذكر على سبيل المثال استعمال الزركون " $ZrO_2 \cdot SiO_2$ " الذي يؤدي إلى مشاكل في التجفيف.

1.III . مقدمة

تم التطرق في هذا الفصل إلى المواد الأولية المستعملة و المتمثلة في الكاولان و الفلدسبيات و الكوارتز، وكذا الأساليب المختلفة لتحضير العينات. كما تمت دراسة تأثير الإضافات المختلفة في الخصائص الميكانيكية والعزلية لهذه العينات. وفي الأخير تم التعرف على مختلف الأجهزة المستعملة في هذه الدراسة.

2.III . المواد الأولية

المواد الأولية المستعملة في هذا البحث هي :

1.2.III . الفلدسبيات

تم استعمال مادة محلية وهي فلدسبات عين ببرر صيغتها $\text{Na}_{0.61}\text{Si}_3\text{O}_8\text{K}_{0.49}$ وكتلتها الحجمية

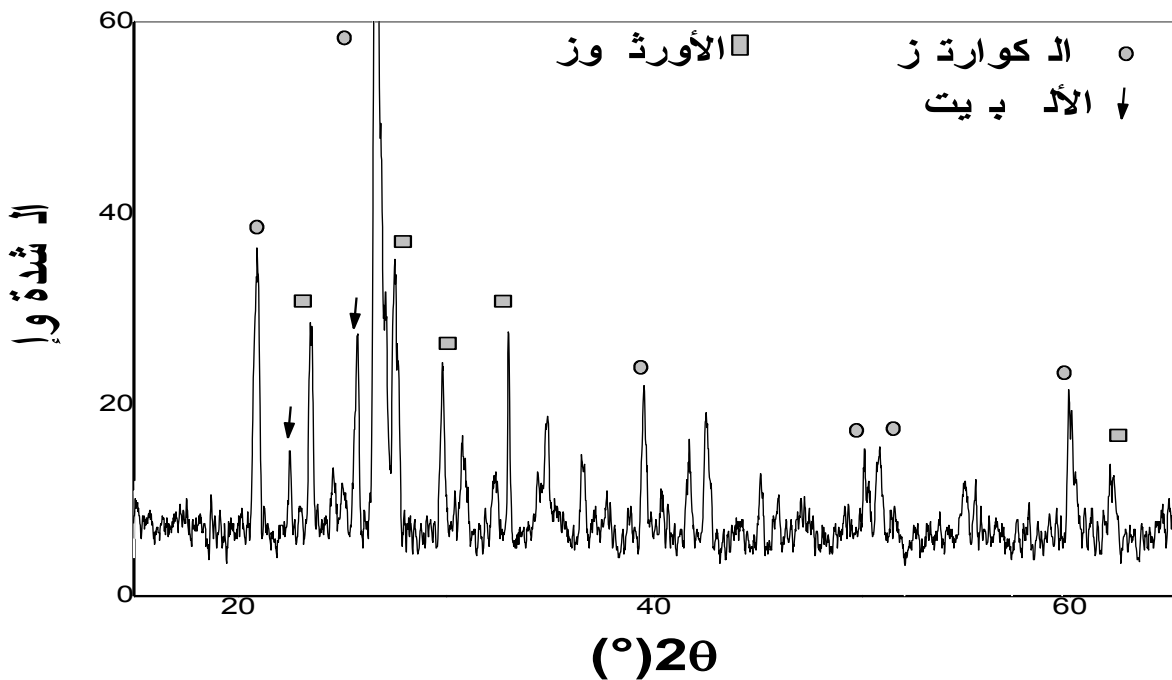
. 2.53g/cm^3

وأعطى التحليل الكيميائي بواسطة الفلوررة السينية التركيب الموي الكتلي لمختلف مكونات فلدسبات عين ببرر. ويوضح الجدول 1.III التحليل الكيميائي بواسطة الفلوررة السينية لفلدسبات عين ببرر.

الجدول 1.III التحليل الكيميائي بواسطة الفلوررة السينية لفلدسبات عين ببرر.

C	Na ₂ O	TiO ₂	MnO	K ₂ O	MgO	CaO	Fe ₂ O ₃	Al ₂ O ₃	SiO ₂	المكونات وزنا %
0.034	0.48	0.11	آثار	<10.0	آثار	0.17	0.66	10.80	60.68	

ولقد بينت نتائج حيود الأشعة السينية للأطوار الموجودة عادة في فلديسيات عين ببر و هي: الكوارتز والأورثوز والأليت و النتائج موضحة في الشكل III.

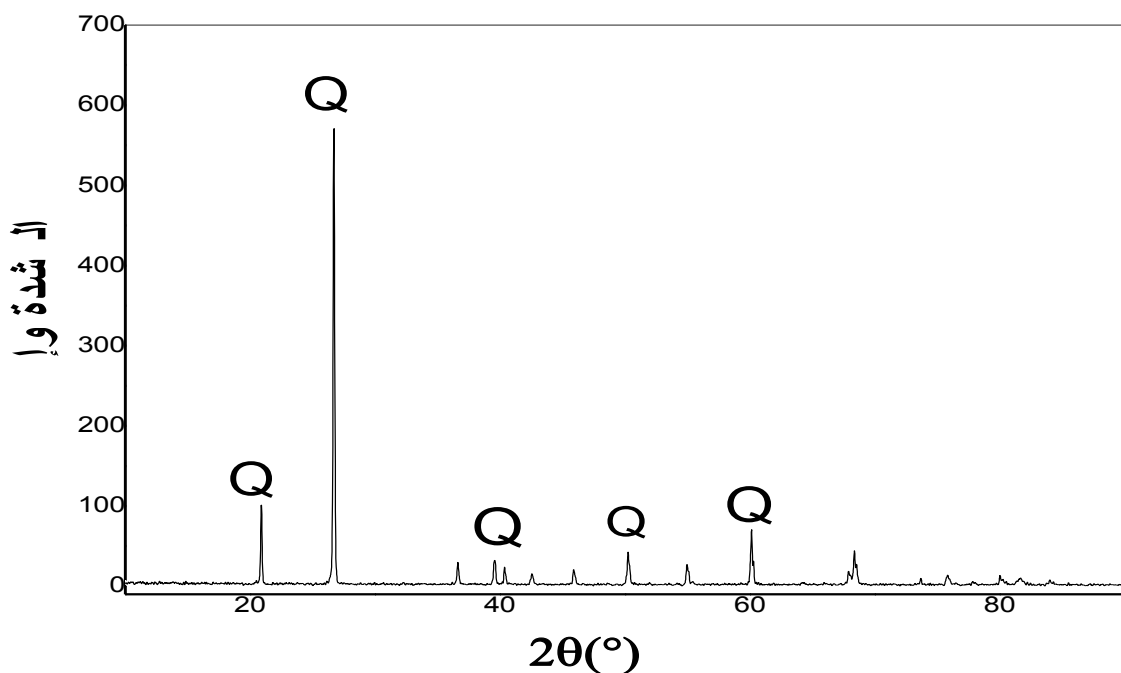


الشكل III. طيف إنعراج الأشعة السينية لفلديسيات عين ببر.

2.2.III. الكوارتز

تم استعمال مادة محلية متمثلة في رمل بن عزوز (سكيكدة) و لقد بينت نتائج حيود الأشعة السينية أنها مكونة أساسا من السيليس بشكل الكوارتز ، حيث كل القمم تنتهي إلى الكوارتز.

والشكل III. 2 يمثل طيف انعراج الأشعة السينية لرمل بن عزوز.

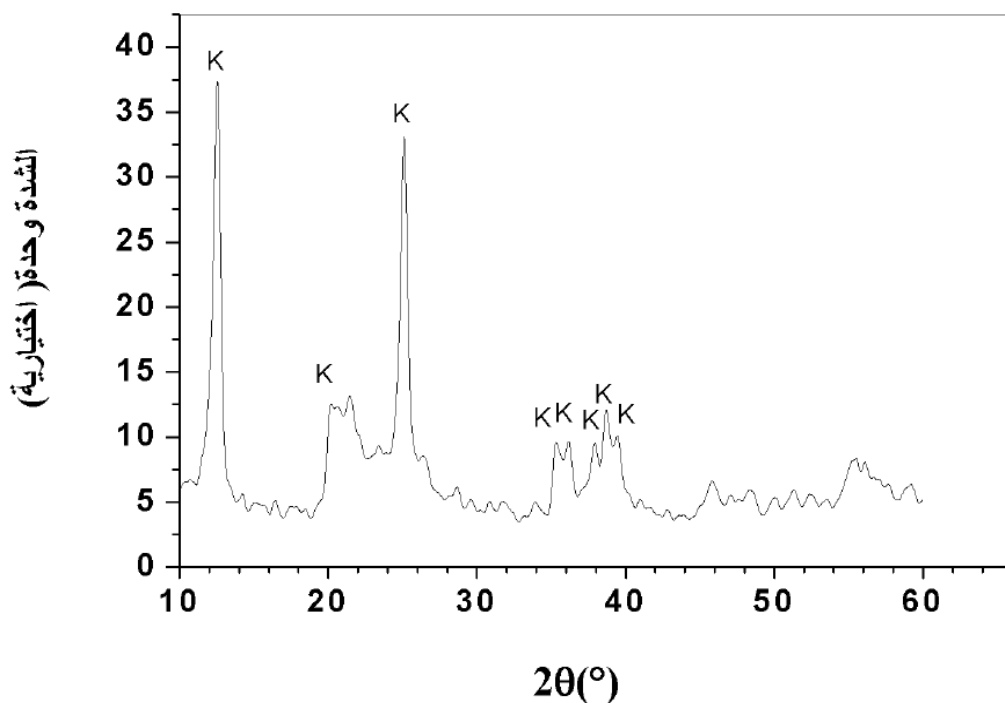


الشكل III.2. طيف انعراج الأشعة السينية لرمل بن عزوز.

III. 3.2. الكاولان

لقد تم استعمال مادة محلية متوفرة متمثلة في الكاولان من الصنف T_2 المستخرجة من منجم تمازرت بجيجل ومتواز بلونها الأصفر وكذلك DDK₂ التي تم الحصول عليها من جبل دباغ بقلمة التي متواز بلونها الرمادي.

يبين الشكل III.3 مخطط انعراج الأشعة السينية لمادة الكاولان ، عملية الفحص بينت خطوط الانعراج التالية لمادة الكاولان DD_2 .



الشكل III.3. طيف انعراج الأشعة السينية لكاولان DD_2 .

III.3. الإضافات

لتحسين الخصائص العزلية و الميكانيكية لمادة البورسلان قمت إضافة : أكسيد الزنك ZnO ، و أكسيد

التيتانيوم TiO_2 .

1.3.III. أكسيد الزنك "ZnO"

هو عبارة عن مسحوق أبيض كتلته الحجمية تقدر ب: 5.6 g/cm^3 وهو غير قابل للذوبان في الماء

و درجة إنصهاره تقدر ب: 1975°C .

ولقد تم استعمال أكسيد الزنك المصنوع من طرف الشركة "cheminova".

2.3.III. أكسيد التيتانيوم TiO_2

وهو عبارة عن مسحوق أبيض ويتوارد على شكل ثلاث أطوار: الأناتاز "anatase" ، الروتيل "rutile" ، والبروكيت "brookite" ولذلك فالكتلة الحجمية تختلف باختلاف هذه الأطوار فهي تقدر بـ: 4.170 g/cm³ ، 4.240 g/cm³، 3.83g/cm³ لكل طور على التوالي.

وهو غير قابل للذوبان في الماء وقابل للذوبان في HCl ، HNO_3 ودرجة انصهاره تقدر بـ :

بالنسبة للروتيل.

ولقد تم استعمال أكسيد التيتانيوم المصنوع من طرف الشركة "fluka" ، 53450 .

4.III. القياسات

-حساب الكتلة الحجمية للعينات

لحساب الكتلة الحجمية للعينات المكبوسة والملبدة قمنا بقياس أبعادها المتمثلة في القطر والسمك

بواسطة جهاز البالر وقمنا بقياس كتلتها بواسطة ميزان حساس.

فتحسب الكثافة الحجمية حسب العلاقة التالية:

$$\rho = m / V \quad (\text{g/cm}^3)$$

يحسب الارتياب المطلق للكتلة الحجمية حسب العلاقة التالية:

$$\Delta \rho / \rho = \Delta m/m + \Delta V/V$$

$$\Delta \rho / \rho = \Delta m/m + \Delta h/h + 2\Delta d/d$$

$\Delta m = 0.001 \text{ g}$: الارتياب المطلق في الكتلة :

$\Delta d = 0.001 \text{ g}$: الارتياب المطلق في القطر :

- قياس مقاومة الشد

يتم حساب مقاومة الشد من العلاقة التالية :

$$\zeta_t = 2p/\Pi d t$$

حيث p هو ضغط التسخن المطبق و t و d يمثلان سمك وقطر العينة على الترتيب.

- قياس ثابت العازلية

يتم حساب ثابت العازلية من العلاقة التالية:

$$\epsilon_r = t c / \epsilon A$$

حيث t و A هما سمك العينة ومساحة اللبوسين على التوالي.

$\epsilon_0 = 8.85 * 10^{-12}$: سماحة الفراغ حيث تقدر قيمتها بـ:

— قياس معامل فقدان العازلية

يتم حساب معامل فقدان العازلية بالعلاقة التالية:

$$K = \operatorname{tg} \delta \epsilon_r$$

: زاوية فقدان العازلية.

ϵ_r : ثابت العازلية

III. 5. الأجهزة المستعملة

III. 1.5. السحق

تم استعمال نوعين من أجهزة السحق وهي:

- جهاز السحق MK 100.

- جهاز السحق الميكانيكي من نوع (RETSCH).

III. 2.5. جهاز التجفيف

لتجفيف المساحيق ، استعمل جهاز من نوع Mommert تصل حرارته القصوى إلى 300°C.

3.5.III الفرن

استخدمنا في دراستنا فرنين كهربائيين إحداهما يستعمل للكلىنة ، تصل درجة حرارته القصوى إلى

.**FIMANFEREDI** 1100°C

أما الفرن الثاني يستعمل للتلبيد في درجات حرارة عالية ، قابل للبرمجة وهو فرن **NABERTHERM** من نوع

.**KANTHALAPM** ، تصل درجة حرارته القصوى إلى 1400°C.

4.5.III الميزان الحساس

لقياس كتلة المساحيق تم استخدام ميزان حساس من نوع **SRANREK220-4**. والذي تصل كل من

قيمه القصوى إلى g 220 و دقته إلى 0.0001 .

III.5.5 جهاز حيود الأشعة السينية

يستعمل هذا الجهاز لمعرفة الأطوار البلورية للمواد المراد دراستها و الأطوار الناتجة عن عملية التلبيد.

جهاز حيود الأشعة المستعمل هو من نوع **D8-Advanced** من إنتاج شركة **Beuker-Siemant** وللقيام بعملية

التحليل الكيفي للمادة يكفي تأشير خطوط الانعراج وترتيبها حسب تزايد شدتها ثم العودة إلى بطاقات

. A.S.T.M للكشف عن هذا العنصر أو الطور.

5.6. جهاز التحليل بواسطة الأشعة تحت الحمراء

جهاز التحليل بواسطة الأشعة تحت الحمراء المستعمل من نوع RI300 والمصنع من طرف

Nicolet Thermo-

7.5. البالمر

استعمل البالمر لقياس أبعاد العينات الملبدة و تصل دقة قياسه إلى $10\mu\text{m}$.

8.5. جهاز قياس مقاومة الشد

تم استعمال ضاغطة هيدروليكيّة من نوع **SEIDNER D7940 RIEDINGEN** تصل دقة قياسه إلى kN

. 0.04

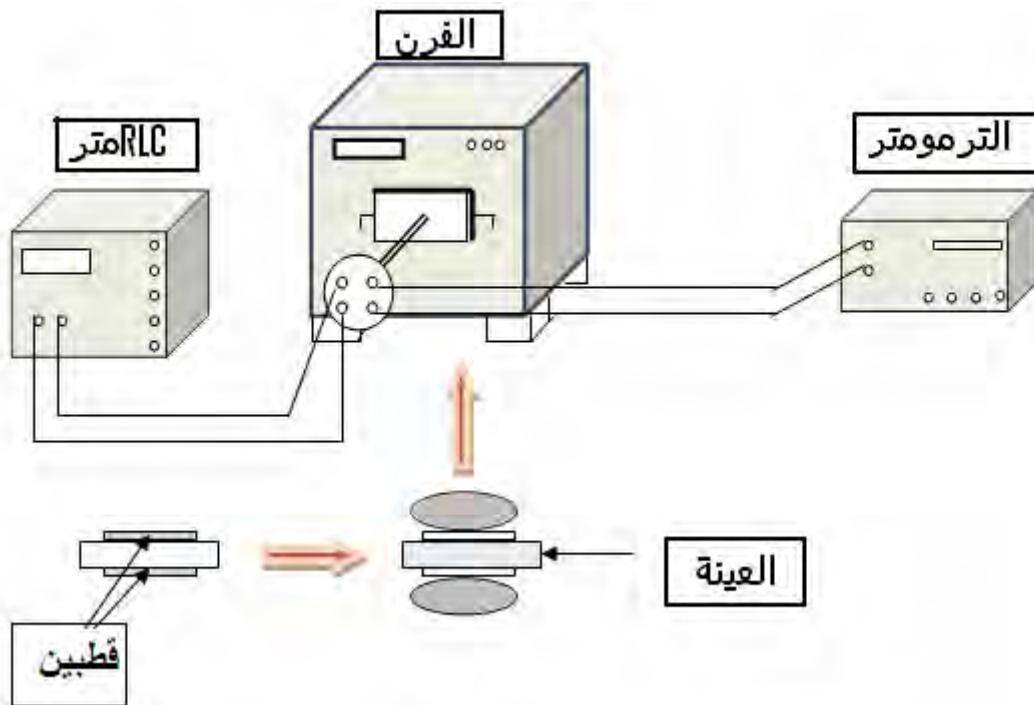
9.5. جهاز قياس السعة

لقياس زاوية فقدان العازلية و السعة وبالتالي ثابت العزلية النسبي ، تم استعمال جهاز قياس السعة METER

RLC عند تردد قدره 1kHz . ولقياس ثابت العزل النسبي و زاوية فقدان العازلية في المجال الحراري $25-205^\circ\text{C}$

فقد تم استعمال فرن تصل درجة حرارته القصوى إلى 300°C و ملحقا بمبرمج لتشغيله للتحكم بسرعة تسخينه

التي تتراوح ما بين 5 و 20°C .



شكل III.4. المخطط الترکیبی المستعمل لقياس العازلية و زاوية فقدان العازلية.

٦.١. بعض تقنيات دراسة وتحليل المواد

٦.١.١. التحليل بواسطة أشعة X

تقنية أشعة X تعد إحدى التقنيات الأساسية والضرورية لدراسة المواد وتحديد ماهيتها بصفة عامة

و كذلك تركيبها ومن أهم طرق التحليل باستعمال أشعة X : طريقة المسحوق .

- يستعمل في طريقة المسحوق إشعاع سيني وحيد اللون.

- توجد طريقتان أساسيتان باستعمال طيف الانعراج ، الأولى تعرف بطريقة ديباي شرر ويتم

- فيها تسجيل الطيف على فلم حساس عبارة عن شريط يوضع داخل غرفة تعرف بغرفة ديباي. أما الطريقة

الثانية فهي دقيقة في معلوماتها ويتم التسجيل فيها باستعمال عداد حيث يصل هذا الأخير بجهاز راسم يقوم برسم مخطط الانعراج (كمية الإشعاع (شدة الخط) بدالة زاوية برااغ (θ)). تسمح هذه التقنية بتأشير خطوط الانعراج حيث نرقق بكل خط قيمتين محسوبتين و هما الشدة (d) و الفاصلة (d_{hkl}) هذه الأخيرة تحسب من قانون برااغ $2d \sin \theta = \lambda$ وعليه انطلاقا من المخطط يتم الحصول على قائمة للثنائيات (d, I_{hkl}) هذه القائمة تكون مميزة لكل عنصر أو مركب. مثل هذه القوائم تم إعدادها و وضعت على شكل كتب و في نظام بطاقات تعرف ببطاقات A.S.T. M و هي مرتبة تبعا لقيم d_{hkl} للخطوط الثلاثة الأكثر شدة لكل عنصر أو طور. و هي كافية لتحديد ماهية مادة ما.

III. 2.6. التحليل باستعمال الأشعة تحت الحمراء بتحويل فورييه (FTIR)

تعتبر تقنية مطيافية الأشعة تحت الحمراء من أسهل طرق التحليل المتاحة في المخابر، وهذا في ما يتعلق بالتحليل الفيزيائي-الكيميائي للمواد. حيث تسمح هذه التقنية بمعرفة الطبيعة الكيميائية للمواد، وذلك بواسطة مماثلة بعض أشرطة الامتصاص الموجودة في طيف المادة المدرosa، حيث يمثل كل شريط نمط اهتزاز لرابطة كيميائية معينة بين ذرتين.

ترتکز تقنية FTIR على امتصاص المادة المدرosa للأشعة تحت الحمراء، التي يمتد عدد الموجة (التردد) لها في المجال من 4000 إلى 400 cm^{-1} أي أنها ذات طول موجة من 2.5 إلى $25\mu\text{m}$ الموافق بحال طاقة اهتزاز الجزيئات داخل المادة، وبالتالي عندما تسقط حزمة أشعة ذات أطوال موجة (طاقة) مجاورة لطاقة اهتزاز جزيئات المادة، تقوم هذه الأخيرة بامتصاص الإشعاع الوارد(المناسب).

نستخدم لهذا الغرض مطياف بتحويل فورييه، حيث يعمل على إرسال حزمة من الأشعة تحت الحمراء على العينة المدروسة، لتسقط فيما بعد هذه الأشعة على الكاشف ليحولها بدوره إلى إشارة كهربائية، وبواسطة عملية تحويل رياضية تسمى بتحويل فورييه للإشارة المتقطعة، نحصل على طيف انعراج يمثل عدد الموجة بدلاً من الامتصاص (الانتقال).

للقيام بعملية التحليل الكيفي للمادة المدروسة يكفي تحديد التناوب بين أطوال الموجات الفعالة (المتصنة) مع الجموعات الكيميائية الحاضرة في المادة، وقد تم وضع جداول خاصة لاستعمالها لتحديد الماهية الكيميائية للمادة المدروسة.

7.III. تحضير المادة المدروسة

لتحضير المادة المراد دراستها اتبعنا طريقتين:

• الطريقة الأولى

لتحضير المادة المراد دراستها تم استعمال المواد الأولية المحلية التالية:

- كاولان₂ المستخرجة من قمازرت.

- كاولان₂ DD المستخرجة من جبل دباغ بقلمة.

- كوارتز بن عزوز.

- فلدسبات بوتاسي من جبل عين ببر.

من أجل سحق الفلدسبات والكوارتز والكاولان ، تم استعمال جهاز السحق KM 100 حيث قمنا بسحق رطب لمدة 4 ساعات بالنسبة للفلدسبات والكاولان₂T₂ . كما تم سحق كاولان₂DD لمدة ساعتين ، والكوارتز تم سحقه لمدة 6 ساعات.

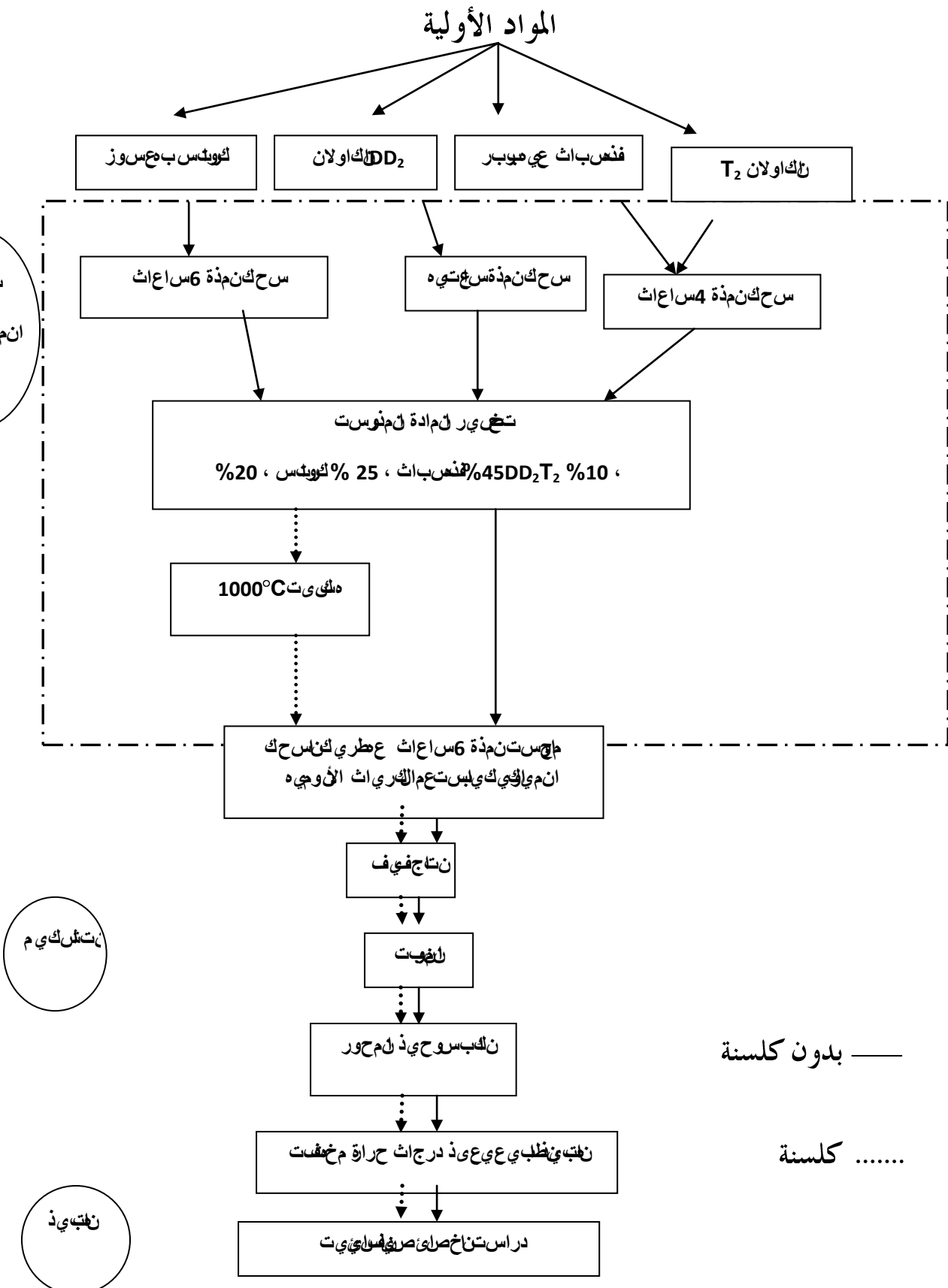
و يسمح استعمال هذا الجهاز بالحصول على مساحيق أبعاد جزيئاتها 20 μm [36].

من أجل مجانسة المادة المدروسة بتركيزتها 45٪ وزنا فلدسبات بوتاسي ، 10٪ وزنا كاولان₂T₂ ، 20٪ وزنا كاولان₂DD ، 25٪ وزنا كوارتز تم استعمال جهاز سحق ميكانيكي.

حيث كان السحق رطبا حيث تمثل المادة الصلبة عشر كمية الماء مع إضافة كريات الألمنيوم كوسيلط مساعد للسحق وقد تم سحق المزيج لمدة 6 ساعات.

بعد الانتهاء من السحق، يتم تخفيف المادة المسحوقة عند درجة الحرارة 200°C لمدة ساعتين. ثم باستعمال ضاغطة ميكانيكية و بتطبيق الضغط المقدر بـ: 75 MPa وهي القيمة التي يمكن تطبيقها دون حدوث أي تشوهات ، قمنا بتشكيل العينات في الحالة الصلبة بواسطة قالب متكون من قسم متحرك يتم رفعه من أجل إخراج عينة مقولبة قطرها 13mm و سمكها يتراوح ما بين 1 إلى 2 mm.

في الأخير تم تلبيس العينات عند درجات الحرارة مختلفة بسرعة تسخين تقدر بـ: 5°C/min.



الشكل III.5. طريقة تحضير المادة المدرستة

• الطريقة الثانية

تم إتباع نفس خطوات الطريقة الأولى و قبل القيام بالسحق جلأنا إلى كلسنة المادة المحضررة عند درجة حرارة

1000°C لمدة 6 ساعات ثم قمنا بالتجانسة لمدة 6 ساعات [15].

وقد تم اتباع المخطط السابق لتحضير المادة المدروسة (شكل III-5)

١.٤. مقدمة

خلال هذا البحث حاولنا تحضير البورسلان انطلاقاً من مواد أولية محلية، فلجاناً إلى دراسة الخصائص العزلية والميكانيكية له، وفي محاولة منا لتحسين خصائصه قمنا بإضافة كل من أكسيد الزنك وأكسيد التيتانيوم، وفيما يلي عرض للنتائج التي تم الحصول عليها خلال الدراسة التجريبية مع مناقشة لهذه النتائج.

١.٤.٢. دراسة تأثير درجة حرارة التلبيد في الكتلة الحجمية للبورسلان

من أجل دراسة تكثيف العينات المكلسنة وغير المكلسنة، تم تلبيد هذه العينات من 1080°C إلى 1260°C ثم حساب الكتلة الحجمية الظاهرية. ويوضح الجدول ١.٤.٢. تغير الكتلة الحجمية الظاهرية بدلالة درجات الحرارة.

وبحسب الشكل ١.٤.١ نلاحظ تزايد الكتلة الحجمية الظاهرية حتى تبلغ قيمة عظمى و التي تقدر بـ :

2.41g/cm^3 عند 1160°C بالنسبة للعينات غير المكلسنة ، و 2.34g/cm^3 من أجل العينات المكلسنة عند نفس درجة الحرارة.

إن تزايد الكتلة الحجمية يرجع إلى آلية التلبيد حيث تلتجم الحبيبات وتنافق الفراغات. وبارتفاع درجات الحرارة تبدأ الكتلة الحجمية في التنافق وهو التصرف الاعتيادي لأنواع كثيرة من البورسلان. وتعتبر القيمة القصوى الحاصل عليها مقاربة لقيمة الكتلة الحجمية المتعارف عليها للبورسلان والتي تقدر بـ: [37] 2.45 g/cm^3 .

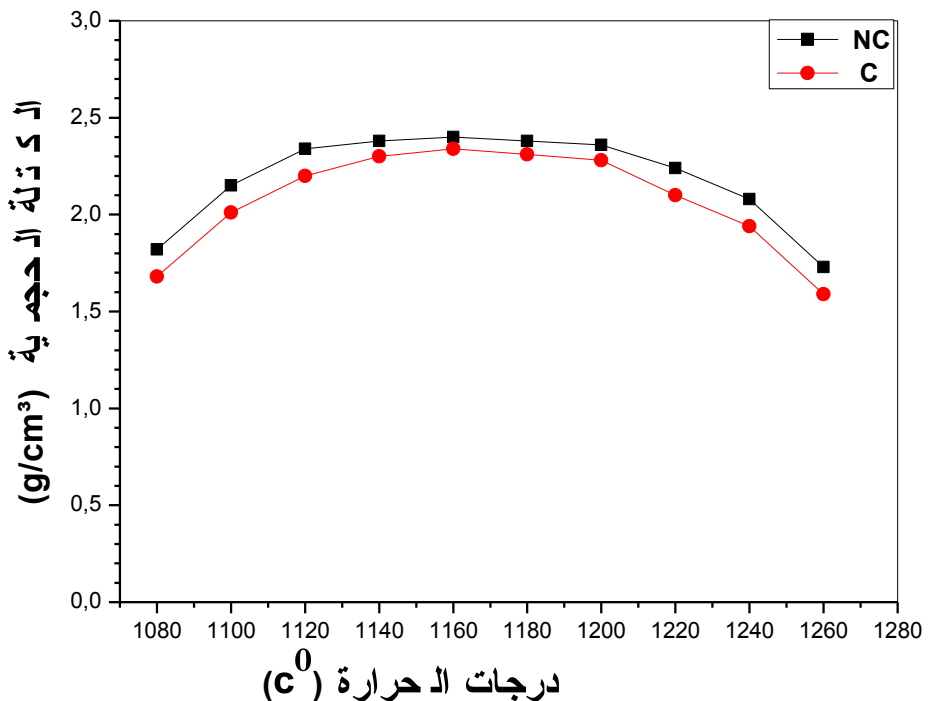
المجدول IV. 1. الكتلة الحجمية الظاهرية بدلالة درجات الحرارة.

الكتلة الحجمية (g/cm ³)	درجات الحرارة (C°)
عينات مكلسنية	عينات غير مكلسنية
2.01 ± 0.02	2.15 ± 0.02
2.20 ± 0.02	2.38 ± 0.02
2.30 ± 0.02	2.41 ± 0.02
2.34 ± 0.02	2.38 ± 0.02
2.31 ± 0.02	2.36 ± 0.02
2.10 ± 0.02	2.24 ± 0.02
1.94 ± 0.02	2.08 ± 0.02
1.60 ± 0.02	1.73 ± 0.02

في العادة يساعد تواجد الفلدسبات على تكون غازات تبخر أثناء الكلسنة تاركة وراءها فراغات

وتلعب هذه الفراغات دوراً رئيسياً في تخفيض الكتلة الحجمية إضافة إلى إمكانية عدم ذوبان كل جزيئات

الكوارتز الكبيرة [24]، وفي اعتقادنا أن هذا الأمر جعل للكلسنة أثراً سلبياً في الكتلة الحجمية.



الشكل. 1. الكتلة الحجمية الظاهرة للعينات المدروسة بدلالة درجات الحرارة.

حيث NC عينات غير مكلسنة و C عينات مكلسنة.

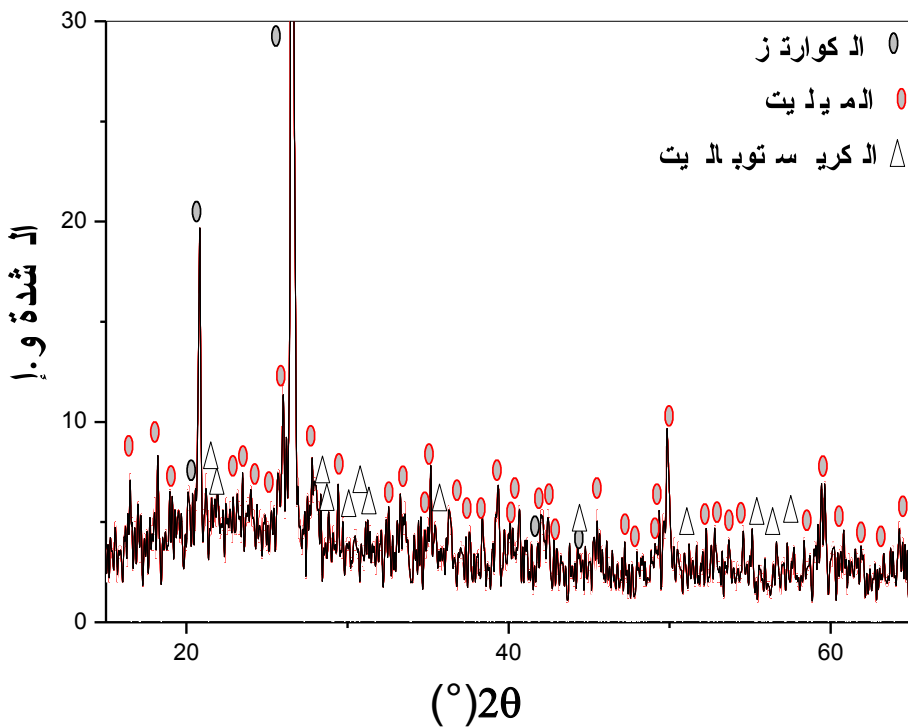
IV. 2. التحولات الطورية

من أجل التعرف على الأطوار البلورية المتكونة أثناء التلبيذ، تم استعمال تقنيتي انعراج الأشعة السينية و التحليل بالأشعة تحت الحمراء.

أ — التحليل باستعمال الأشعة السينية

يوضح شكل 2.17 طيف انعراج الأشعة السينية لعينات ملبدة عند درجة الحرارة 1160°C.

يلاحظ أن أهم الأطوار البلورية المتكونة هي: الكوارتز، الميليت، الكریستوبالیت، والطور الزجاجي.



الشكل IV.2. طيف انعراج الأشعة السينية للعينات الملبدة عند 1160°C.

حسب الكثير من الباحثين، تتمثل التحولات الطورية للبورسلان فيما يلي:

▪ عند 550-600°C: تحول الكاولينيت إلى ميتاكاولان حسب المعادلة التالية:



كاولينيت

ميتاكاولان

▪ عند 920°C: يبدأ الفلدسبات في الذوبان [38].

▪ عند 980°C: تحول الميتاكاولان إلى سبينال حسب المعادلة التالية:



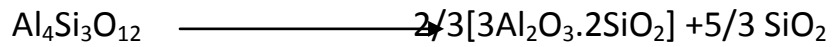
ميتاكاولان

سبينال

سيليكا

▪ عند 920°C - 1000°C : تتحول الميتاكاولان إلى سبينال مع ظهور السيليكا.

▪ عند 1100°C : يتحول السبينال إلى الميليت الأولى حسب المعادلة التالية:



سبينال ميليت كريستوباليت

▪ عند 1160°C : يتكون الميليت الثانوي نتيجة لتفاعل ما بين الكاولان المتبقى والفلدسبيات المتبقى

[42,43,44] الذي يحسن صلادة المادة [45]. فالميليت الأولى بجزيئاته ذات الشكل المفচلي ناتج عن

تحولات الكاولان أما الميليت الثانوي بجزيئاته ذات الشكل المنتظم وأحادي الحور فيتتج عن

الفلدسبيات و الكاولان المتبقين [39].

وبالتدرج يتحول الميليت الأولى إلى ثانوي عن طريق التبلور. إذن الأطوار البلورية المترتبة هي:

الكوارتز ، الكريستوباليت ، الميليت ، والطور الزجاجي .

ويمكن تلخيص ما سبق كما يلي :

► خلال تلبيد عينات البورسلان ، تحدث تحولات طورية كثيرة تؤدي إلى :

أ — تحلل الكاولان.

ب — ذوبان جزئي للفلدسبيات والكوارتز.

ج — تكون وترسيب الميليت.

د — تواصل تحلل الكوارتز في الطور السائل في غياب الفلدسبات.

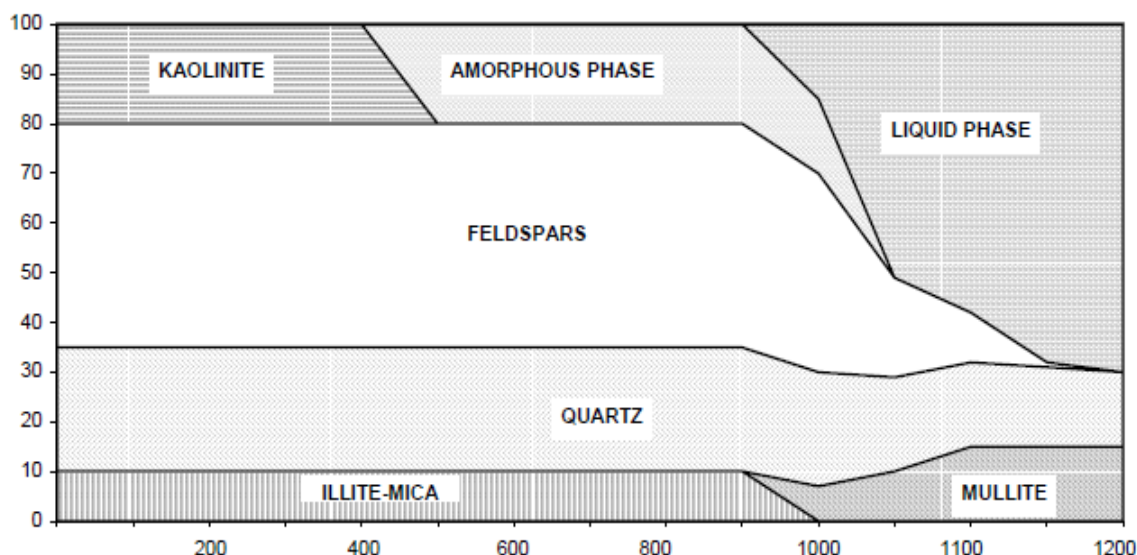
﴿ يؤدي تحلل الكاولان عند درجة الحرارة 1100°C تقريباً إلى ظهور الطور الامبليور (الميتاكاولان)

ليتحول إلى ميليت و كريستوباليت الناتج عن الميتاكاولان.

والشكل 3.IV هو مخطط للتحولات الطورية الحادثة أثناء تلبيد البورسلان.

في دراسته لبنية البورسلان أكد Schuller [40] على تواجد نوعين من الميليت: الميليت الأولى والميليت الناتج عن تبلور الطور الزجاجي، ويترافق الميليت الأولى عن تحلل الكاولان وقد أكد أيضاً "Schuller" أنه يمكن للميليت الأولى الذوبان في الطور الزجاجي السائل الغني بالكوارتز ليتحول وبصورة تدريجية إلى ميليت ثانوي وفي بعض الحالات يعرقل هذا التحول [40]. وهو الأمر الذي يمكننا من تفسير ظهور الكوارتز كطهرأساسي.

وفيما يلي مخطط يمثل التحولات الطورية الحادثة أثناء تلبيد البورسلان.



الشكل 3.IV. مخطط للتحولات الطورية الحادثة أثناء تلبيد البورسلان [41].

ب — التحليل باستعمال الأشعة تحت الحمراء

يمثل الشكل 4.IV التحليل باستعمال الأشعة ما تحت الحمراء للعينة الملبدة عند 1160°C .

حيث تميز خط طيف عند 459.89 و هي توافق Si-O [44,43,42]، و تميز خط طيف عند 798.97 و هي

توافق Si-O و هي مرتبطة بالأيون K^+ [44] ، وهذه الرابطة توافق وجود أكسيد البوتاسيوم K_2O .

كما تميز خط طيف عند 1020، 700، 1081.73، 1169.90 cm^{-1} و هي توافق Si-O-Si [44,43,42]

و خط طيف عند 544 cm^{-1} و هي توافق Si-O-Al [50].

ولوحظ أيضا خط طيف عند 3454 و 1630 cm^{-1} تمثل رابطة جزيء الماء [45] ، كما وجدت خط

طيف Al-O عند 2351 cm^{-1} [52]. كما لوحظ وجود خط طيف عند 2850 و 2911 cm^{-1} و هي ناجمة عن

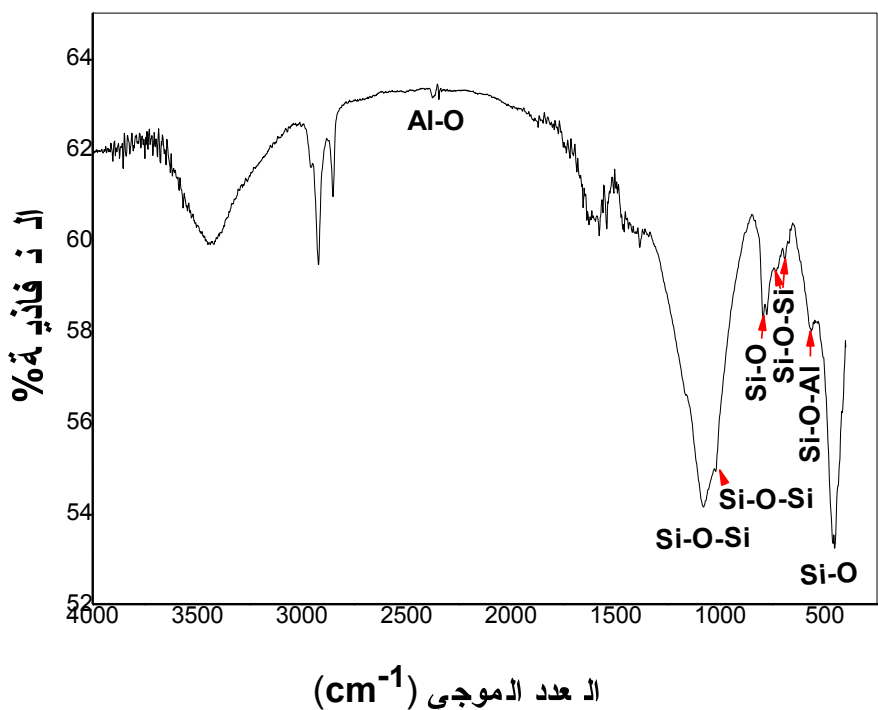
الشوائب أثناء عملية تحضير العينات [46] ، والبعض الآخر ينسبها إلى تواجد غاز ثاني أكسيد الكربون في

غرفة ال FTIR [47].

فالروابط Si-O-Si توافق طور الكوارتز ، و Si-O-Al توافق طور الميليت .

ولقد بين التحليل بالأشعة تحت الحمراء ظهور أكسيد البوتاسيوم K_2O الذي لم يتم الكشف عنه

بالتحليل بالأشعة السينية.



الشكل IV.4. التحليل باستعمال الأشعة ما تحت الحمراء للعينات الملبدة عند 1160°C.

IV. 3. تأثير درجة حرارة التلبييد في مقاومة الشد

لقياس مقاومة الشد، نقوم بالضغط قطرياً على العينات المدروسة بواسطة ضاغطة هيدروستاتيكية حيث يحدث تشذخ في العينة .

وقد تم حساب مقاومة الشد لثلاث عينات من أجل كل درجة حرارة ثم حساب القيمة الوسطى و النتائج الحصول عليها بالنسبة للعينات المدروسة مدونة في الجدول IV.2.

كما تم قياس مقاومة الثنائي وفقاً للعلاقة التالية:

$$\zeta_f = 2.7 \zeta_t$$

و النتائج مدونة في الجدول ١٧.٢ الذي يمثل قيم مقاومتي الشد والثني بدلالة درجات الحرارة.

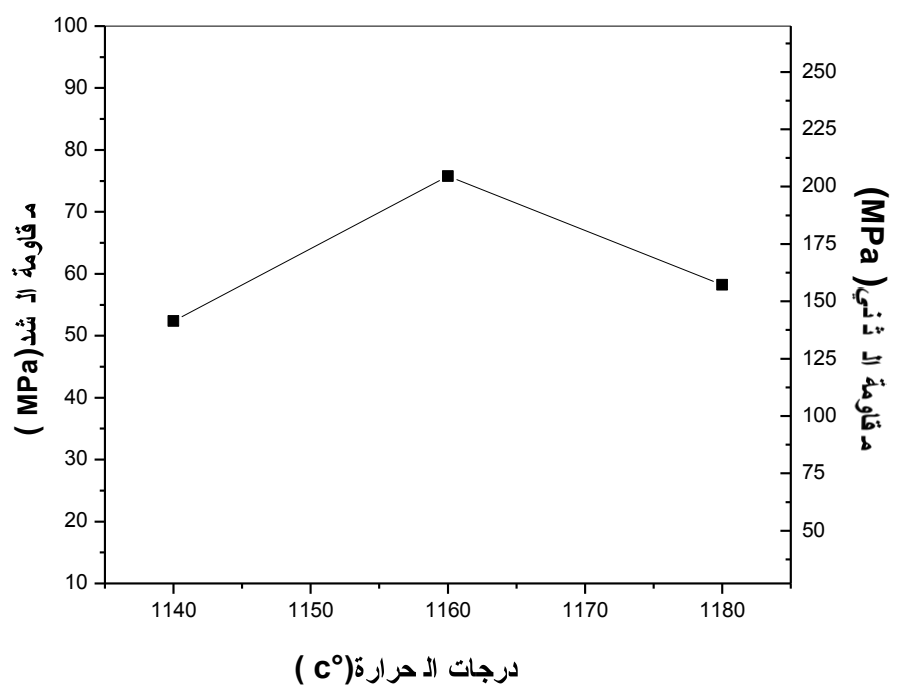
الجدول ١٧.٢ قيم مقاومة الشد و مقاومة الثني بدلالة درجات الحرارة.

مقاييس المقاومات (MPa)		مقاييس المقاومات (MPa)		درجات الحرارة (C°)
عينات مكشوفة	عينات غير مكشوفة	عينات مكشوفة	عينات غير مكشوفة	
96±8	141±8	35±4	52±3	1140
157 ±6	205±4	58±3	76±3	1160
96±7	157±8	35±6	58±5	1180

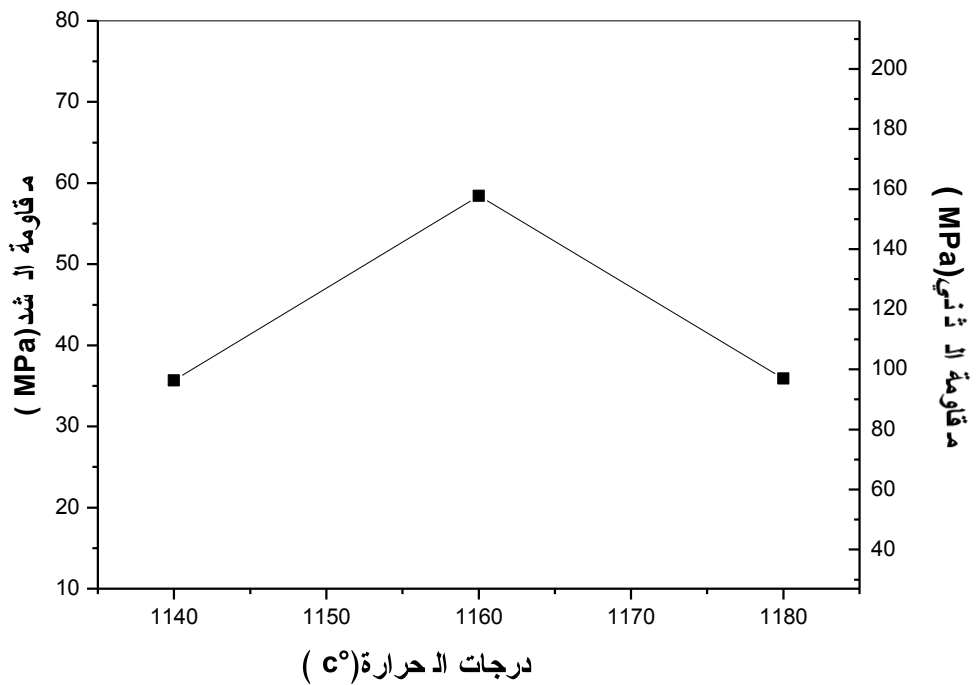
يبين الشكل ١٧.٥ أن مقاومة الشد (وبالتالي مقاومة الثني) للعينات غير المكشوفة تتزايد بتزايد درجات الحرارة وتبلغ قيمتها العظمى عند ١١٦٠°C نتيجة لزيادة الكتلة الحجمية وبالتالي نسبة التلبيد ثم تتناقص إلى أن تصل إلى أصغر قيمة لها وهذا يوافق تناقص الكتلة الحجمية .

ويلاحظ أن تغيرات مقاومة الشد للعينات غير المكشوفة (وبالتالي مقاومة الثني) (الشكل ١٧.٥) تشابه تغيرات الكتلة الحجمية لنفس العينات (الشكل ١٧.١) فكلما كانت نسبة التلبيد مرتفعة، كانت

مقاومة الشد عالية، إذن مقاومة (وبالتالي مقاومة الثني) تتعلق تعلقاً وثيقاً بالكتلة الحجمية الظاهرة. الشد



الشكل IV.5 . تغير مقاومتي الشد والثني للعينات غير المكشنة بدلالة درجات الحرارة.



الشكل IV.6. تغير مقاومتي الشد والثني للعينات المكلسنة بدلالة درجات الحرارة.

إن القيمة الوسطى المحصل عليها لمقاومة الشد والمقدرة بـ : 76 MPa بالنسبة للعينات غير مكلسنة تقارب مقاومة شد الألومنيوم المعالج عند درجة الحرارة 1600°C والتي لا تتعدي 80 MPa [48]. كما أن القيمة الوسطى لمقاومة الثني والمقدرة بـ: 205 MPa تتجاوز بقدر كبير قيمة مقاومة الثني المعهود عليها بالنسبة لبورسان الكوارتز والمقدرة بـ: 130 MPa [49]، وتقارب قيمة بورسان الألومنيوم والمقدرة بـ: 215 MPa [49].

ما سبق نستطيع القول أن النتائج المحصل عليها جيدة مقارنة مع قيم بورسان الكوارتز ومقبولة بالنسبة لقيم بورسان الألومنيوم. تلعب حبيبات الكوارتز دورا أساسيا في رفع مقاومة الشد (وبالتالي مقاومة الثني) حيث تواجدتها بكميات معتبرة في المواد الأولية المستعملة يعمل على زيادة الكوارتز في الطور الزجاجي كما يمكن إرجاع ارتفاع مقاومة الشد (وبالتالي مقاومة الثني) إلى نقص التشققات المتحمل تواجدتها في المادة

المدروسة، بصفة عامة نقص العيوب أو تشكل قوى داخلية كبيرة ناتجة عن الفرق الكبير في معامل التمدد الحراري للطور الزجاجي والكوارتز والميليت [50].

وكما لاحظنا بالنسبة للكتلة الحجمية فإن مقاومة الشد (وبالتالي مقاومة الثنبي) للعينات غير المكلسنة أكبر من مقاومة الشد (وبالتالي مقاومة الثنبي) للعينات المكلسنة (الشكلين 6.5 و 6.7).

IV. 5. الخصائص العزلية

أ— ثابت العازلية النسبي

تم حساب ثابت العازلية النسبي للعينات من خلال العلاقة التالية:

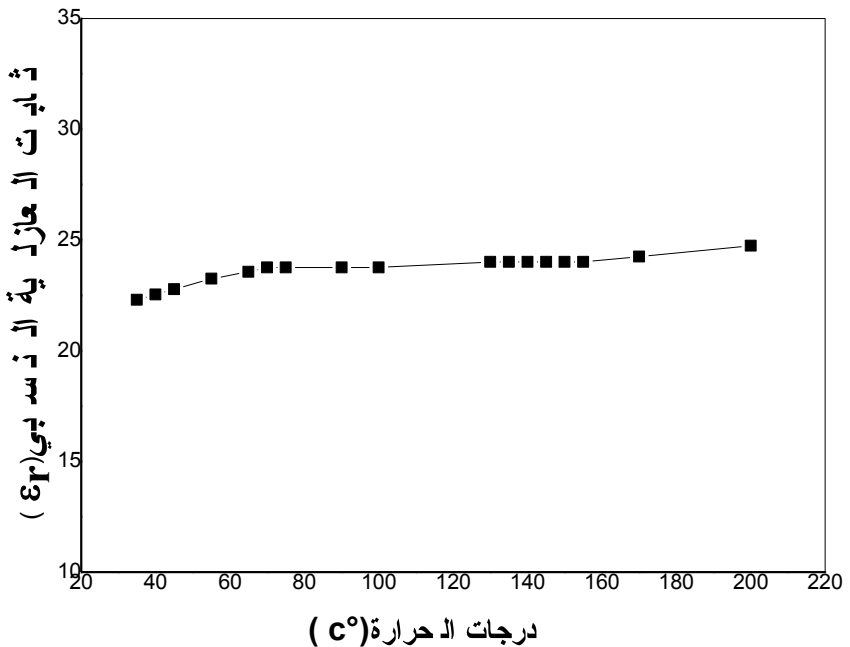
$$\epsilon_r = dC / \epsilon_0 s$$

d : سمك العينة ، ووحدتها (m)

s : مساحة اللبوسين ، ووحدتها (m^2)

$$\epsilon_0 = 8.85 \times 10^{-12} \text{ (F/m)}$$

إن النتائج الحصول عليها عند دراستنا لتغيرات ثابت العازلية النسبي مع درجة الحرارة للعينات الملبدة عند درجة الحرارة 1160°C لمدة ساعتين عند تردد قدره 1KHZ مبينة و موضحة في الشكل 7.IV.

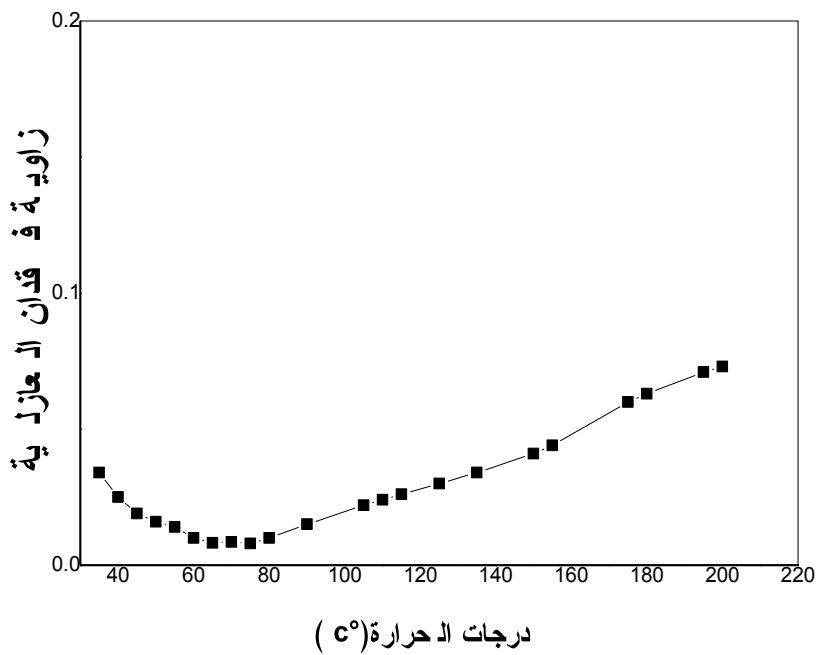


الشكل 7.7. ثابت العزل النسبي للعينات المدروسة بدلالة درجات الحرارة.

يمثل الشكل 7.7 تغير ثابت العازلية النسبي ϵ_r للعينات المدروسة بتغير درجة الحرارة. حيث قيمة ثابت العازلية النسبي ϵ_r تتسمى إلى الحال [25, 22.30] ، فيلاحظ زيادة طفيفة في ثابت العازلية النسبي مع ارتفاع درجات الحرارة في الحال [35، 65°C] إلى أن تصل إلى حوالي 24، إلا أنه في الحال [200°C، 65°C] قيمة ثابت العازلية تبقى ثابتة وتقدر بحوالي 25.

ب — زاوية فقدان العازلية

إن النتائج الحصول عليها عند دراستنا لزاوية فقدان العازلية مع درجة الحرارة للعينات الملبدة عند 1160°C لمدة ساعتين عند تردد قدره 1KHz والنتائج موضحة في الشكل 8.1 الذي يمثل تغير زاوية فقدان العازلية بدلالة درجات الحرارة.



الشكل IV.8. زاوية فقدان العازلية للمادة المختبرة بدلالة درجات الحرارة.

يمثل الشكل IV.8. تغير زاوية فقدان العازلية للعينات المدروسة بتغير درجة الحرارة. حيث قيمة زاوية فقدان العازلية تتسمى إلى الحال $[0.008, 0.075]$ و بارتفاع درجة الحرارة تبلغ أعلى قيمة لها في حدود 0.075، وأدنى قيمة لها قدرت بـ: 0.008.

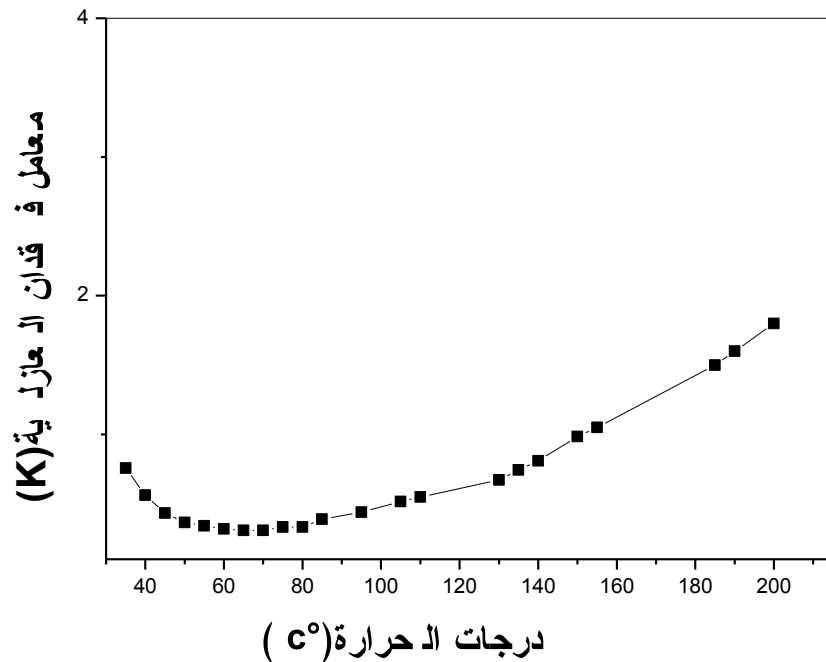
الريادة الطفيفة في قيمة زاوية فقدان العازلية في الحال $[65, 200]^\circ\text{C}$ تعود إلى زيادة الناقلة في العينة مع ارتفاع درجات الحرارة.

ج — معامل فقدان العازلية

تم حساب معامل فقدان العازلية بالعلاقة التالية:

$$K = \operatorname{tg} \delta \epsilon_r$$

إن النتائج المحصل عند دراستنا لتغيرات معامل فقدان العازلية مع درجة الحرارة للعينات الملبدة عند 1160°C لمدة ساعتين عند تردد قدره 1kHz والنتائج مدونة في الشكل 4.17 الذي يمثل تغير معامل فقدان العازلية بدلالة درجات الحرارة.



الشكل 4.17. تغير معامل فقدان العازلية للمادة ١ المحضره بدلالة درجات الحرارة.

يمثل الشكل 4.17 تغير معامل فقدان العازلية للمادة المحضره بتغير درجة الحرارة. حيث قيمة معامل فقدان العازلية تتضمن إلى الحال $[0.81, 1.80]$ و بارتفاع درجة الحرارة يبلغ أعلى قيمة له في حدود 1.80، وأدنى قيمة له قدرت بـ 0.32.

لقد بيّنت الأبحاث أن الخصائص العزلية للمواد الخزفية تعتمد اعتماداً كبيراً على البنية الجمهرية للمادة وأبعاد حبيباتها والشوائب المتواجدة فيها ومدى تجانسها والفراغات المتضمنة لها والعيوب الممكن تواجدها

. [51.49]

كما بينت الأبحاث أن تزايد ثابت العازلية وانخفاض زاوية فقدان العازلية مقارنة بالأبحاث السابقة [53,15] يرجع إلى تواجد طور الكوارتز [52]، وهذا ما يفسر قيمة ثابت العازلية النسيي المحصل عليها والمقدرة بـ: 25 وهذا يرجع إلى ظهور طور الكوارتز كطهر أساسى و المتواجد في المواد الأولية المستعملة بكثرة. وقيمة زاوية فقدان العازلية المقدرة بـ: 0.008 تعود أيضاً إلى تواجد الكوارتز، كما ترجع هذه النتائج أيضاً إلى تواجد الطور الزجاجي الناتج عن الفلدسبات المتواجد بنسبة عالية.

فيما يلي الجدول IV.3 الذي يمثل الخصائص العازلية لعزل نموذجي [54,49].

الجدول IV.3. الذي يمثل الخصائص العازلية لعزل نموذجي [54,49].

≤ 30	ثابت العازلية
$\geq 10^{14} \Omega \text{ cm}$	المقاومية
≤ 0.001	زاوية فقدان العازلية
$\leq 5.0 \text{ kV/mm}$	الصلابة العزلية

مقارنة النتائج المحصل عليها من قيمة ثابت العازلية النسيي وزاوية فقدان العازلية والمقدرتين بـ: 25

و 0.008 على التوالي بخصائص العازلية لعزل نموذجي (الجدول IV.3) نستطيع القول أننا حصلنا على مادة عازلة نموذجية بالنسبة لثابت العازلية وزاوية فقدان العازلية.

إلى أنه تجدر الإشارة أن قيمة زاوية فقدان العازلية الحصول عليها (0.008) أكبر من قيمة زاوية فقدان العازلية لمعادن نموذجي (الجدول 3.IV) وهذا جائنا إلى إضافة كل من أكسيد التيتانيوم وأكسيد الزنك في محاولة تحسين زاوية فقدان العازلية وبالتالي الخصائص العزلية للبورسلان للحصول على مادة عازلية جيدة.

IV.6. دراسة تأثير الإضافات في الخصائص الميكانيكية والعزلية للبورسلان

في محاولة منا لتحسين الخصائص الميكانيكية والعزلية لمادة البورسلان، قمنا بإضافة كل من أكسيد الزنك وأكسيد التيتانيوم للمادة الخضراء بحسب مختلفة، فحصلنا على النتائج التالية:

IV.1.6. تأثير أكسيد الزنك

لتوضيح تأثير أكسيد الزنك ZnO في الخصائص الميكانيكية والعزلية للبورسلان تم إضافته بحسب مختلفة: 3 وزنا% وفيما يلي النتائج الحصول عليها.

أ — تأثير أكسيد الزنك في الكتلة الحجمية للبورسلان

تم حساب الكتلة الحجمية للعينات المضاف لها 3 و 5 وزنا% من أكسيد الزنك ZnO، بعد تلبيس العينات في درجات حرارة مختلفة ضمن المجال [1200-1140]. والنتائج مدونة في الجدول IV.4 الذي يمثل تغير الكتلة الحجمية للعينات المضاف لها 3 و 5 وزنا% ZnO بدلالة درجات الحرارة.

الجدول 4.IV . تغير الكتلة الحجمية للعينات المضاف لها 3 و 5 وزنا% ZnO بدلالة درجات الحرارة.

الكتلة الحجمية (g/cm ³)				درجات الحرارة (C°)
				نسبة ZnO (%) وزنا%
1200	1800	1160	1140	
2.33±0.02	2.39±0.02	2.43±0.02	2.20±0.02	ZnO %3
2.36±0.02	2.42±0.02	2.44±0.02	2.27±0.02	ZnO% 5

من الشكل 10.IV يلاحظ أن الكتلة الحجمية تزداد بزيادة درجات الحرارة إلى أن تبلغ أعلى قيمة لها عند

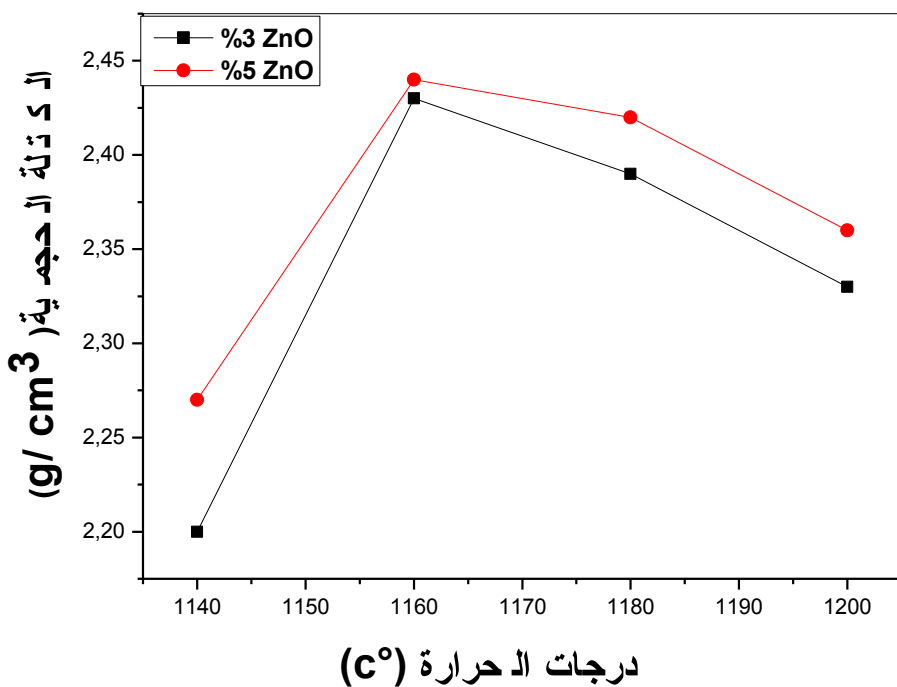
1160°C والمقدرة بـ : 2.43 g/cm³ من أجل 3 وزنا% ZnO و 2.44 g/cm³ من أجل 5 وزنا% ZnO ثم تعود

وتنقص بارتفاع درجات الحرارة.

ويمقارنة هذه النتائج مع العينات المرجعية (بدون إضافة أكسيد الزنك ZnO) يلاحظ أن الكتلة الحجمية

تزداد بزيادة نسبة أكسيد الزنك ZnO ، وهذا راجع إلى آلية التلبيد، إذ أن إضافة أكسيد الزنك تساعده على

تنشيط عملية التلبيد [55].



الشكل ١٠.IV. تغير الكتلة الحجمية الظاهرية للعينات المضاف لها ٣ و ٥ وزنائ% ZnO الملبدة عند 1160°C بدلالة درجات الحرارة.

ب — التحولات البلورية

• التحليل باستعمال الأشعة السينية

من الشكل ١١.IV يلاحظ أن الأطوار البلورية المتشكلة هي: الكوارتز، الميليت، الغرانيت، و الكريستوباليت والطور الزجاجي.

" يلاحظ من الشكل ١١.IV أن إضافة أكسيد الزنك ZnO أدت إلى ظهور طور جديد هو طور الغرانيت ."
 ZnAl_2O_4

■ عند 1000°C : يبقى أكسيد الزنك ZnO موجود، ثم يبدأ في الاختفاء عندما يبدأ الفلدسبات في الذوبان

مع زيادة درجات حرارة التلبيد [55].

▪ عند 1130°C : تبدأ عملية تبلور الغرانيت، حيث بدأت بلورات الغرانيت تتكون في الطور الزجاجي

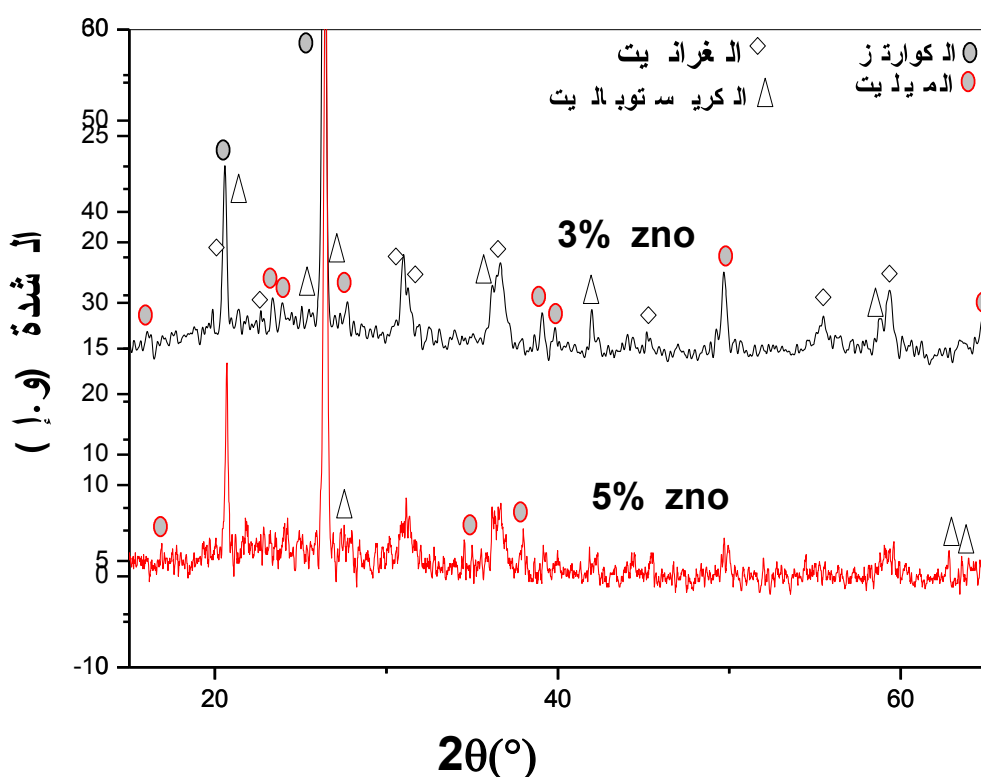
المكون نتيجة ذوبان الفلدسبيات وانحلال ZnO أثناء التلبيد [55].

▪ عند 1160°C : الفلدسبيات تقريباً ذائبة، والغرانيت بدأت في التطور على حساب الكوارتز والميليت

. [55]

الغرانيت هو مجمع ثنائي لـ ZnO و Al_2O_3 [56]. كما تحدّر للإشارة أن إضافة ZnO يعزز تشكيل وتسريرع

توزيع الطور الزجاجي [55].



الشكل IV.11. طيف انبعاج الأشعة السينية للعينات الملبدة عند 1160°C المضاف لها 3 و 5 وزنات ZnO .

• التحليل باستعمال الأشعة تحت الحمراء

يمثل الشكل 12.IV طيف تحليل الأشعة تحت الحمراء بتحويل فوري لعينة الملبدة عند 1160°C .

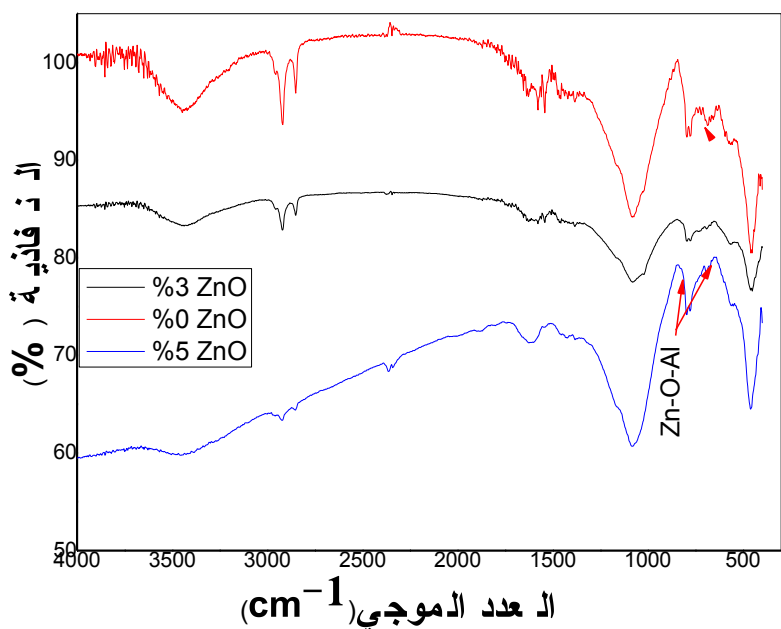
حيث نميز خط طيف عند 459.89Cm^{-1} وهي توافق Si-O [44,43,42] ، ونميز خط طيف عند $798.37, 778.97$ وهي توافق O-Si وهذه الرابطة مرتبطة بأيون K^{+} [44] ، وتوافق هذه الرابطة أكسيد البوتاسيوم K_2O . ونميز خط طيف عند $1169.90\text{Cm}^{-1}, 1081.73\text{Cm}^{-1}, 700\text{Cm}^{-1}$ وهي توافق Si-O-Si [44,43,42]. ولوحظ أيضا خط طيف عند 544Cm^{-1} وهي تمثل Al-O-Si [50] .

وهناك أيضا خط طيف عند 695 توافق Al-O-Zn [56]. وهناك أيضا خط طيف O-Al عند

2351Cm^{-1} [52]. ولوحظ أيضا خط طيف عند 1630 ، 3454Cm^{-1} يمثل رابطة جزيء الماء ، إلا أنه بزيادة نسبة أكسيد الزنك يظهر تغير في هذا الخط عند 3 وزنا% من أكسيد الزنك ويوضح هذا أكثر عند إضافة 5 وزنا% ZnO وهذا راجع لظهور خط طيف رابطة الغرانيت (Al-O-Zn) والذي قيمته قريبة من قيمة رابطة جزيء الماء ، إذ فالخطين يمثلان تداخل خطي جزيء الماء و الرابطة Al-O-Zn [45]. ونتائج DRX الموضحة سابقا (الشكل 11.IV) تؤكد هذه النتيجة. كما نلاحظ كذلك وجود خط طيف عند 2911 و 2850Cm^{-1} وهي ناجمة عن الشوائب أثناء عملية تحضير العينات[46] ، والبعض الآخر ينسبها إلى تواجد غاز ثاني أكسيد الكربون في غرفة ال FTIR [47].

فالروابط Si-O-Si و Al-O-Si توافق طور الكوارتز. الروابط Al-O و Si-O-Al توافق طور الميليت ، والرابطة Zn-O-Al توافق طور الغرانيت.

وهذه النتائج تثبت النتائج المحصل عليها بالتحليل بالأشعة السينية.



الشكل IV.12. التحليل باستعمال الأشعة ما تحت الحمراء للعينات المضاف لها 3 و 5 وزنا% ZnO

المبلدة عند 1160°C .

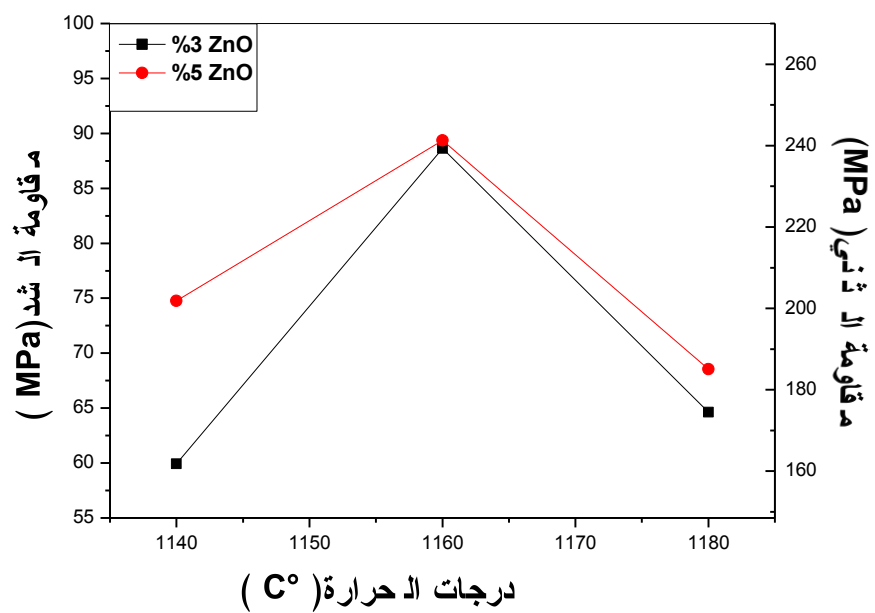
ج — تأثير أكسيد الزنك في مقاومة الشد للبورسلان

لقد تم حساب مقاومة الشد لثلاث عينات من أجل كل درجة حرارة ثم حساب القيمة الوسطى و النتائج الحصول عليها بالنسبة للعينات المدروسة مدونة في الجدول IV.5.

من الشكل IV.13 يلاحظ أنه بزيادة نسبة أكسيد الزنك تزداد مقاومة الشد (وبالتالي مقاومة الثنبي)، حيث بلغت قيمة مقاومة الشد (وبالتالي مقاومة الثنبي) من أجل 3 وزنا% ZnO بـ: 88 MPa (وبالتالي مقاومة الشد (وبالتالي مقاومة الثنبي) من أجل 5 وزنا% ZnO بلغت قيمة مقاومة الشد (وبالتالي مقاومة الثنبي) 89 MPa (وبالتالي مقاومة الشد (وبالتالي مقاومة الثنبي) من أجل 239 MPa) و من أجل 241 MPa عند نفس درجة الحرارة 1160°C ، ومقارنة هذه النتائج مع العينات المرجعية (بدون إضافات) نجد زيادة في قيمة مقاومة الشد (وبالتالي مقاومة الثنبي) بزيادة نسبة أكسيد الزنك ZnO .

الجدول IV.5 يمثل تغير مقاومتي الشد والثني للعينات المضاف لها 3 و 5% ZnO بدلالة درجات الحرارة

مقاومة الثني (MPa)			مقاومة الشد (MPa)			درجات الحرارة	
1180	1160	1140	1180	1160	1140		
172±8	239±8	161±8	64 ±6	88 ±4	59±3	ZnO %3	
185±6	241±6	201±4	68 ± 4	89 ±3	74±6	ZnO %5	



الشكل IV.13. تغير مقاومتي الشد والثني للعينات المضاف لها 3 و 5% ZnO بدلالة درجات الحرارة.

وهذه الزيادة في مقاومة الشد (وبالتالي مقاومة الثنبي) تعود إلى إضافة أكسيد الزنك، إضافةً إلى ذلك تحسن الخصائص الميكانيكية للبورسلان [55]، وهذا ما يفسر حصولنا على قيمة جيدة لمقاومة الثنبي قدرت بـ: 241 MPa من أجل 5% وزن ZnO.

د — تأثير أكسيد الزنك في الخصائص العزلية للبورسلان

بما أن الغرانيت هو الطور الجديد الذي يظهر بإضافة أكسيد الزنك وتزداد نسبته بزيادة نسبة ZnO، فإننا ندرس تأثير طور الغرانيت على الخصائص العزلية للبورسلان.

لدراسة تأثير الغرانيت على ثابت العازلية النسبي للعينات المضاف لها 3% وزن ZnO، نقوم بقياس قيمة ثابت العازلية النسبي النظري (ϵ_r)_{théorique} لهذه العينات ونقارنها بالنتائج الحصول عليها تجريبيا فنحصل على مايلي :

تقدير قيمة ثابت العازلية النسبي للغرانيت بـ: 57 [57].

— العينات المضاف لها 3% وزن ZnO :

$$\epsilon_r (\text{théorique}) = 0.03 \epsilon_r (\text{granit}) + 0.97 \epsilon_r (\text{porcelaine}) = 24.40$$

حيث: ϵ_r هي قيمة ثابت العازلية النسبي الحصول عليها تجريبيا للعينات بدون إضافات والمقدمة بـ: 25.

— العينات المضاف لها 5% وزن ZnO :

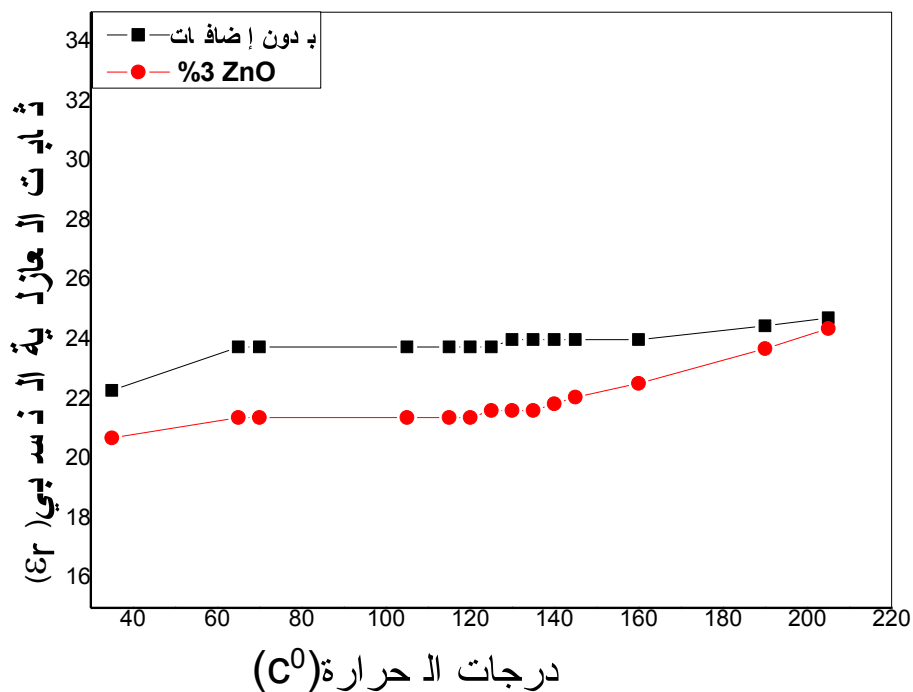
$$\epsilon_r (\text{théorique}) = 0.05 \epsilon_r (\text{granit}) + 0.95 \epsilon_r (\text{porcelaine}) = 24$$

• ثابت العازلية النسبي

النتائج المحصل عليها عند دراستنا لتغيرات ثابت العازلية النسبي مع درجات الحرارة للعينات المضاف لها

وزنا 3% ZnO المبلدة عند درجة الحرارة 1160°C لمدة ساعتين عند تردد قدره 1KHZ موضحة في

الأشكال 14.17 و 15 على التوالي.



الشكل 14.17. تغير ثابت العازلية النسبي للعينات المضاف لها 3% ZnO بدلالة درجات الحرارة

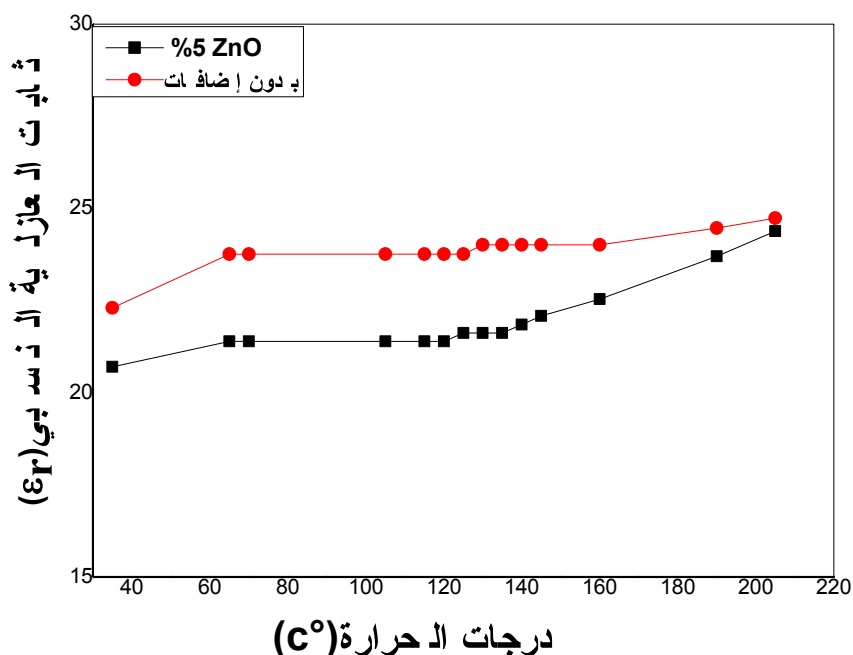
من الشكل 14.17 يلاحظ أن تغير ثابت العازلية النسبي للعينات المضاف لها 3% ZnO يشابه تغير

ثابت العازلية النسبي للعينات المرجعية (بدون إضافات) حيث قيمة ثابت العازلية النسبي ϵ_r تتسمى إلى المجال

[24.50, 22.34]، فنلاحظ زيادة طفيفة في ثابت العازلية النسبي مع ارتفاع درجات الحرارة في المجال

[35°C , 65°C] إلى أن تصل إلى حوالي 21.40، إلا أنه في المجال [200°C , 65°C] قيمة ثابت العازلية تبقى ثابتة وقدر بحوالي 24.50.

مقارنة قيمة ثابت العازلية النسبي المحصل عليها تجريبيا والمقدرة بـ: 24.40 بالقيمة النظرية لثابت العازلية النسبي المضاف لها 3 وزنا% ZnO المقدرة بـ: 24.50 نجد أن القيمتان متطابقتان.



الشكل IV.15. تغير ثابت العازلية النسبي للعينات المضاف لها 5 وزنا% ZnO بدلالة درجات الحرارة.

من الشكل IV.15 يلاحظ أن تغير ثابت العازلية النسبي للعينات المضاف لها 3 وزنا% ZnO يشابه تغير ثابت العازلية النسبي للعينات المرجعية (بدون إضافات) حيث قيمة ثابت العازلية النسبي تتسمى إلى المجال [$24.42, 20.77$] ، فيلاحظ زيادة طفيفة في قيمة ϵ_r مع ارتفاع درجات الحرارة في المجال [$35^{\circ}\text{C}, 65^{\circ}\text{C}$]

إلى أن تصل إلى حوالي 21.41، إلى أنه في الحال [65 ، 200°C] قيمة ثابت العازلية تبقى ثابتة وتقدر بحوالي 24 . مقارنة قيمة ثابت العازلية النسيي المحصل عليها تجريبيا والمقدرة بـ: 24.40 بالقيمة النظرية لثابت العازلية النسيي المضاف لها 5 وزنا% ZnO المقدرة بـ : 24.16 نجد أن القيمتان متقاربتان جدا.

﴿ ما سبق وبعد مقارنة قيمة ثابت العازلية النسيي المحصل عليها تجريبيا بالقيمة النظرية لثابت العازلية

النسيي المضاف لها 3 وزنا% ZnO نجد أن القيمة المحصل عليها تجريبيا مقاربة للقيمة النظرية،

وهذا التقارب في القيمتين النظرية والتجريبية يؤكد أن قيمة ثابت العازلية النسيي المحصل عليه

تجريبيا ناتجة عن تأثير طور الغرانيت.

و لكن مقارنة قيم ثابت العازلية النسيي للعينات المضاف لها 3 وزنا% ZnO بالعينات المرجعية يلاحظ

أن إضافة أكسيد الزنك لا تزيد من قيمة ثابت العازلية النسيي E_r فأعلى قيمة للنسبتين قدرت بـ:

24.50 . وبالتالي طور الغرانيت لا يؤثر على ثابت العازلية النسيي للبورسلان.

• زاوية فقدان العازلية

إن النتائج المحصل عليها عند دراستنا لتغيرات زاوية فقدان العازلية مع درجات الحرارة للعينات

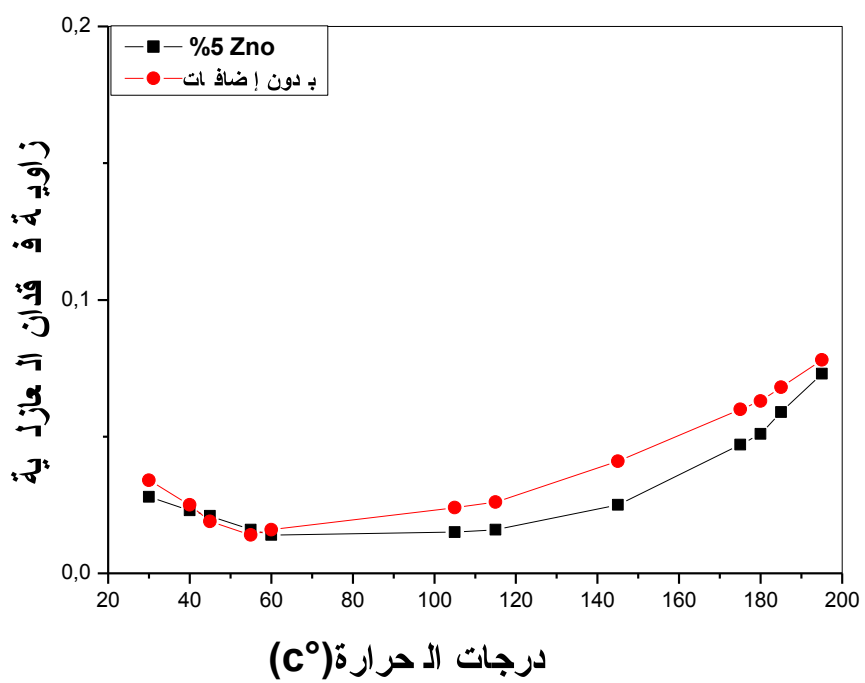
المضاف لها 3 وزنا% ZnO الملبدة عند درجة الحرارة 1160°C لمدة ساعتين عند تردد قدره 1 KHz موضحة في

الأشكال IV . 16 و 17 على التوالي.

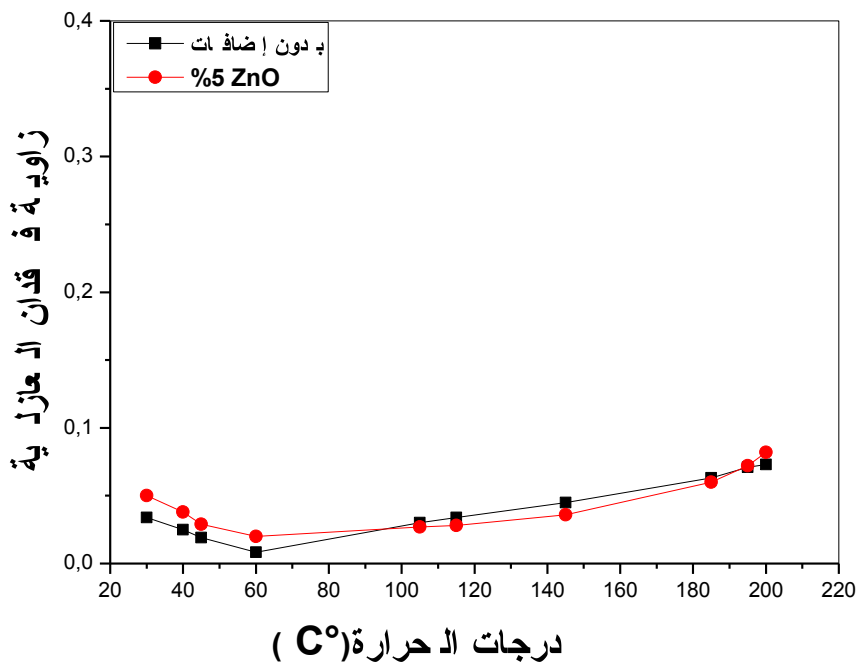
من الشكل 16.17 يلاحظ أن زاوية فقدان العازلية للعينات المضاف لها 3 وزنا% ZnO لها نفس تغير زاوية

فقدان العازلية للعينات المرجعية (بدون اضافات) إلا أنها تختلف عنها في القيمة فأدنى قيمة لها قدرت بـ:

0.014 وأعلى قيمة لها قدرت بـ: 0.08



الشكل ١٦.٢. تغير زاوية فقدان العازلية للعينات المضاف لها 3% ZnO بدلالة درجات الحرارة.



الشكل ١٧.٢. تغير زاوية فقدان العازلية للعينات المضاف لها 5% ZnO بدلالة درجات الحرارة.

من الشكل 17.1V يلاحظ أن أدنى قيمة لزاوية فقدان العازلية للعينات المضاف لها 5وزنا% ZnO قدرت بـ:

وأعلى قيمة لها قدرت بـ: 0.082 ، والمحن له نفس شكل منحنى العينات المرجعية.

إذن من الأشكال الثلاث (16.1V، 17.1V) ومقارنة زاوية فقدان العازلية للعينات المضاف لها

3 وزنا% ZnO مع زاوية فقدان العازلية للعينات المرجعية لوحظ أنه بزيادة نسبة أكسيد الزنك تزداد زاوية فقدان العازلية فأدنى قيمة لها قدرت بـ: 0.014 من أجل 3 وزنا% ZnO .

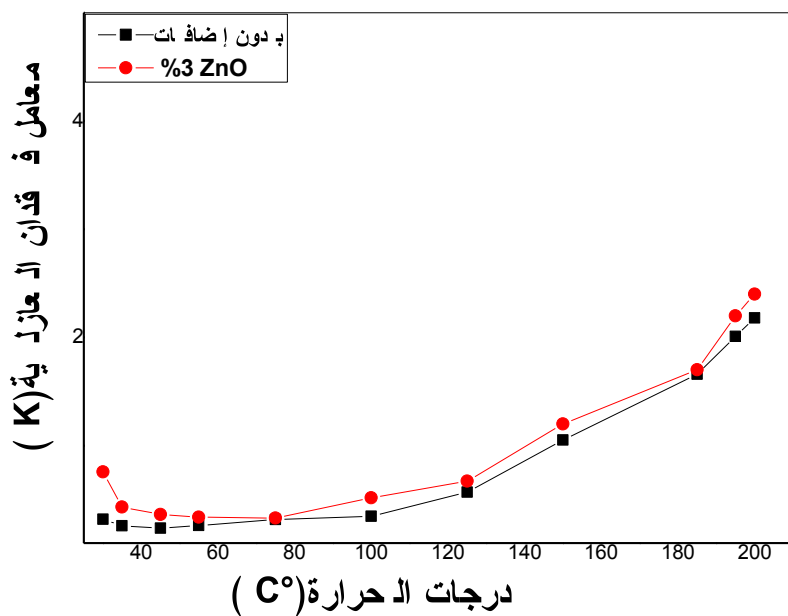
إذن بزيادة طور الغرانيت تزداد زاوية فقدان العازلية.

• معامل فقدان العازلية

إن النتائج الحصول عليها عند دراستنا لتغيرات معامل فقدان العازلية مع درجات الحرارة للعينات

المضاف لها 3 وزنا% ZnO المبلدة عند درجة الحرارة 1160°C لمدة ساعتين عند تردد قدره 1KHZ موضحة في

الأشكال 17.1V و 18.1V على التوالي.



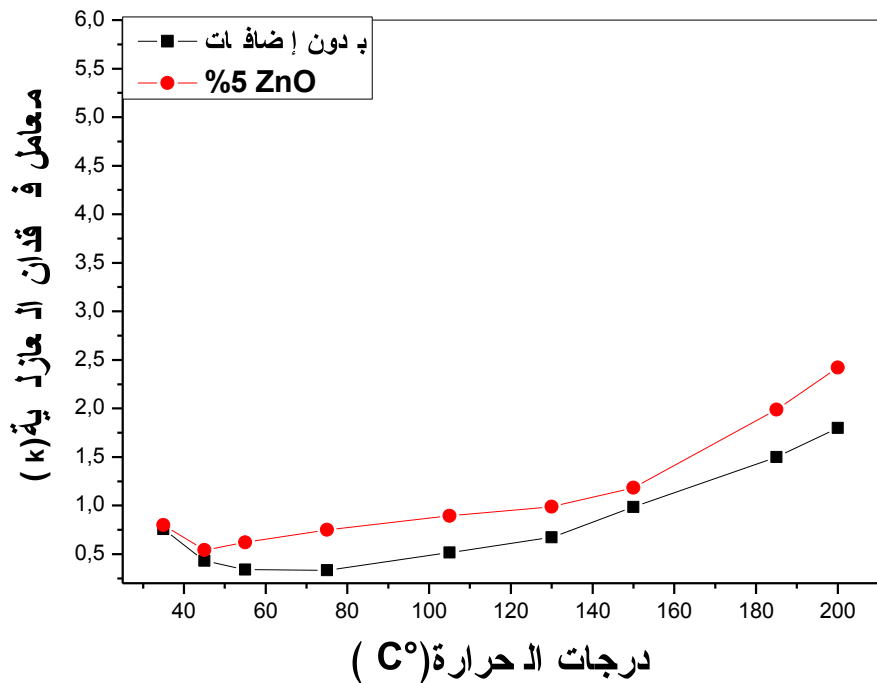
الشكل ١٨.١٧. تغير معامل فقدان العازلة للعينات المضاف لها 3 وزناً ZnO بدلالة درجات الحرارة.

يلاحظ من الشكل ١٨.١٧ أن أدنى قيمة لمعامل فقدان العازلة للعينات المضاف لها 3 وزناً ZnO قدرت بـ:

.2.41 وأعلى قيمة له هي : 0.33

يلاحظ من الشكل ١٩.١٧ أن أدنى قيمة لمعامل فقدان العازلة للعينات المضاف لها 5 وزناً ZnO قدرت

بـ: 0.54 وأعلى قيمة قدرت بـ: 2.42



الشكل ١٧.١٩. تغير معامل فقدان العازلية للعينات المضاف لها 5 وزنا% ZnO بدلالة درجات الحرارة.

إذن من الشكلين (١٨.٤، ١٩.٤) ومقارنتهما مع معامل فقدان العازلية للعينات المرجعية يلاحظ أنه بارتفاع نسبة أكسيد الزنك يرتفع معامل فقدان العازلية. حيث أدنى قيمة لمعامل فقدان العازلية بالنسبة للإضافتين قدرت بـ: 0.32 ، وأعلى قيمة لمعامل فقدان العازلية بالنسبة للإضافتين قدرت بـ: 0.33 في حين أن أدنى قيمة له بالنسبة للعينات المرجعية قدرت بـ: 0.33 ، وأعلى قيمة لمعامل فقدان العازلية بالنسبة للborosilane، حيث قدرت بـ: 2.52 في حين قدرت بـ: 2.38 من أجل العينات المرجعية، من هنا نستنتج أن إضافة أكسيد الزنك لم يكن له تأثير كبير على معامل فقدان العازلية.

ما سبق وبعد دراسة تأثير أكسيد الزنك ZnO على الخصائص الميكانيكية والعزلية للبورسلان،

لوحظ أن إضافة أكسيد الزنك بنسب : 3 و 5 وزنا% لم يكن له التأثير الكبير في الخصائص العزلية للبورسلان، حيث تحصلنا على أعلى قيمة ثابت العازلية النسيي للنسبتين والتي قدرت بـ: 24.50 من أجل 3 وزنا% ZnO وهي قيمة مقاربة لقيمة ثابت العازلية النسيي للعينات المرجعية التي قدرت أعلى قيمة

له بـ 25٪، وهذا يعود إلى طور الغرانيت الذي له ثابت عازلية منخفض.

إذن إضافة أكسيد الزنك ليس لها الأثر الكبير في الخصائص العزلية للبورسلان.

في حين أنه بإضافة أكسيد الزنك للبورسلان تحصلنا على خصائص ميكانيكية جيدة، حيث تحصلنا على

مقاومة ثني قدرت بـ: 241 MPa من أجل 5٪ وزناً ZnO وهي قيمة جيدة.

إذن من هذه النتائج نستطيع القول أننا تحصلنا على بورسلان ذات مقاومة ثني عالية يمكن استعمالها

كمواد كاشطة.[58]

IV. 2.6. تأثير أكسيد التيتانيوم TiO_2

لدراسة تأثير أكسيد التيتانيوم TiO_2 في الخصائص الميكانيكية والعزلية للبورسلان، تم إضافة أكسيد التيتانيوم

بنسب مختلفة 3٪ و 5٪ وزناً.

أ — تأثير أكسيد التيتانيوم في الكتلة الحجمية للبورسلان

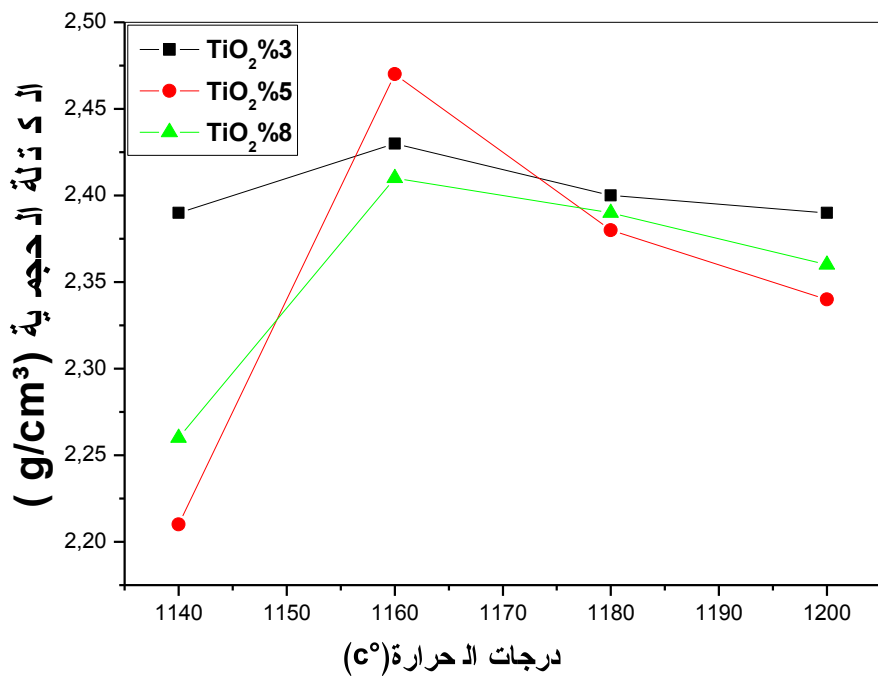
بعد تلبيس العينات في درجات حرارة مختلفة ضمن المجال [1140-1200]، تم حساب الكتلة

الحجمية للعينات المضاف لها 3٪ و 5٪ وزناً من أكسيد التيتانيوم TiO_2 . والناتج مدونة في الجدول 6.IV الذي

يمثل تغير الكتلة الحجمية للعينات المضاف لها 3٪ و 5٪ وزناً TiO_2 بدلاً من درجات الحرارة.

الجدول IV.6. تغير الكتلة الحجمية للعينات المضاف لها TiO_2 وزناً 3 و 5 و 8 بدلالة درجات الحرارة.

الكتلة الحجمية (g/cm ³)				درجات الحرارة (C°)
1200	1180	1160	1140	نسبة (وزن) TiO_2
2.39±0.02	2.40±0.02	2.43±0.02	2.39±0.02	$\text{TiO}_2 \text{ } \%3$
2.34±0.02	2.38±0.02	2.47±0.02	2.21±0.02	$\text{TiO}_2 \text{ } \%5$
2.36±0.02	2.39 ±0.02	2.41±0.02	2.26±0.02	$\text{TiO}_2 \text{ } \%8$



الشكل 20.IV. تغير الكتلة الحجمية للعينات المضاف لها $\text{TiO}_2\%3$ و $\text{TiO}_2\%5$ وزناً $\text{TiO}_2\%8$ بدلالة درجات الحرارة.

من الشكل 20.IV و الجدول 6.IV يلاحظ أنه بزيادة نسبة أكسيد التيتانيوم تزداد الكتلة الحجمية حيث بلغت 2.47 g/cm^3 من أجل $\text{TiO}_2\%5$ إلا أنه من أجل $\text{TiO}_2\%8$ تنخفض الكتلة الحجمية فقدر بـ 2.41 g/cm^3 .

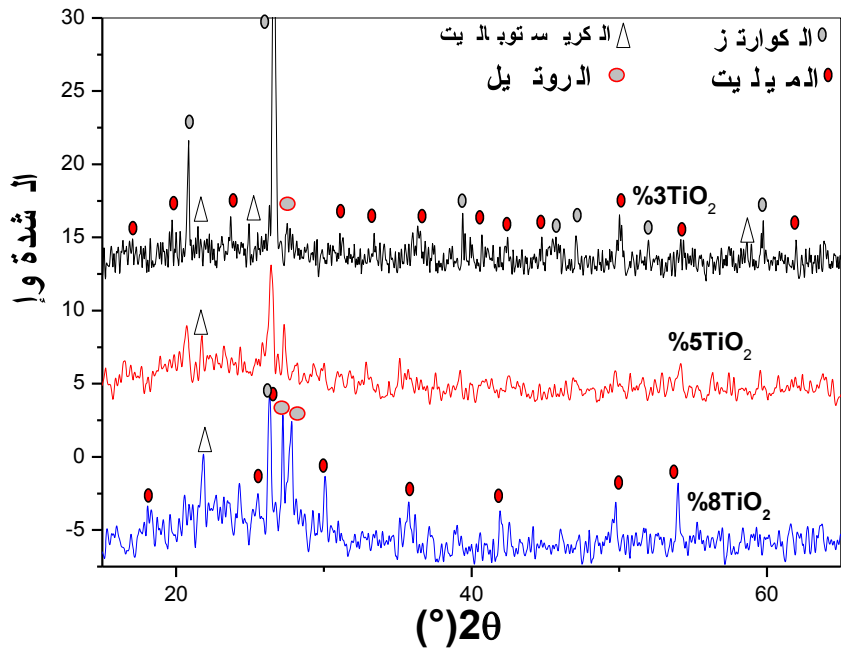
والزيادة في الكتلة الحجمية تعود إلى تواجد أكسيد التيتانيوم TiO_2 فهو يعمل على زيادة الكتلة الحجمية

. [60,59]

ب — الأطوار البلورية

• التحليل باستعمال الأشعة السينية

من الشكل 21.IV الأطوار البلورية المتشكلة هي: الكوارتز ، الميليت ، الروتيل ، الكريستوباليت ، والطور الزجاجي.



الشكل IV. 21. طيف انعراج الأشعة السينية للعينات الملبدة عند 1160°C المضاف لها 3 و 5 و 8% وزنًا.

أكسيد التيتانيوم TiO_2

يعتبر الروتيل هو الشكل المستقر لأكسيد التيتانيوم TiO_2 ، فيلاحظ أنه بزيادة نسبة TiO_2 ترداد نسبة الروتيل. كما يلاحظ زيادة نسبة طور الميليت مع زيادة نسبة أكسيد التيتانيوم TiO_2 ، إذن هذه الزيادة في الميليت تعود إلى إضافة أكسيد التيتان [60].

وبتجدر للإشارة أنه يوجد نوعان من الميليت تشكلا: الميليت الأولي الناتج عن الكاولان والميليت الثانوي يبدأ يتشكل في مجال الاتصال بين بلورات الميليت الأولي وحببيات الفلدسبات الذائب [60].

كما يلاحظ انخفاض ضعيف في طور الكوارتز نتيجة لزيادة إضافة أكسيد التيتانيوم TiO_2 نظراً لزيادة نسبة الطور الزجاجي [60]، كما يتتحول جزء من الكوارتز إلى كريستوباليت.

ويزداد الطور الزجاجي بزيادة أكسيد التيتانيوم TiO_2 [60].

• التحليل باستعمال الأشعة تحت الحمراء

يمثل الشكل 22.IV طيف تحليل الأشعة تحت الحمراء بتحويل فوريبي للعينة الملبدة عند 1160°C .

، 700 Cm^{-1} و 798.37 Cm^{-1} ، 778.97 Cm^{-1} ، 459.89 Cm^{-1} ، و نمیز خط طیف عند $[44,43,42]$ تواافق Si-O

و 1169.90 Cm^{-1} ، 1081.73 Cm^{-1} و 544 Cm^{-1} تواافق Si-O-Si [44,43,42]. ولوحظ أيضا خط طیف عند 1169.90 Cm^{-1} ، 1081.73 Cm^{-1} و 544 Cm^{-1} تواافق Si-O-Al [50].

حيث نمیز خط طیف عند 459.89 Cm^{-1} تواافق Si-O [44,43,42] و نمیز خط طیف عند 459.89 Cm^{-1} تواافق O-Si و هذه الرابطة بالأیون K^{+} [44].

و توافق هذه الرابطة أكسید البوتاسيوم K_2O . كما نمیز خط طیف عند 1169.90 Cm^{-1} ، 1081.73 Cm^{-1} ، 700 Cm^{-1} تواافق Si-O-Si [44,43,42].

لوحظ أيضا خط طیف عند 544 Cm^{-1} تواافق Si-O-Al [50]. خط طیف عند 630 Cm^{-1} و 544 Cm^{-1} تواافق O-Al و 2351 Cm^{-1} [52]. وهناك أيضا خط طیف عند 2351 Cm^{-1} تواافق Ti-O [61].

لوحظ أيضا خط طیف عند 3454 Cm^{-1} ، 1630 Cm^{-1} تواافق رابطة جزيء الماء [45].

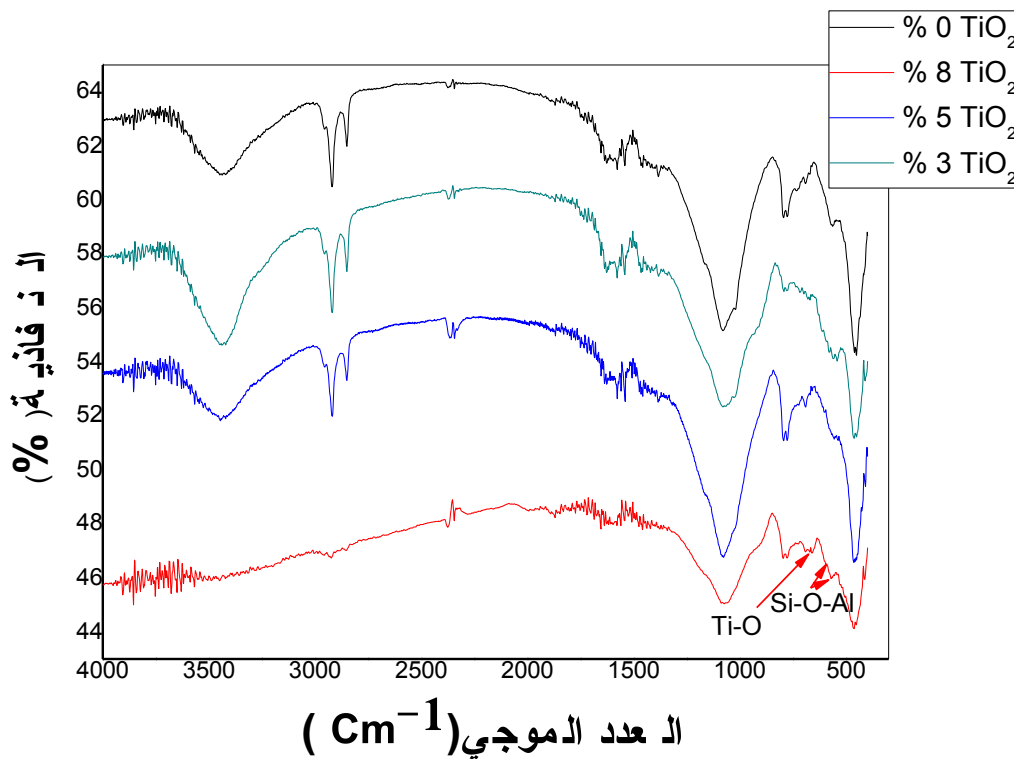
كما لوحظ كذلك وجود خط طیف عند 2850 Cm^{-1} و 2911 Cm^{-1} وهي ناجمة عن الشوائب أثناء عملية تحضير

العينات [46] ، والبعض الآخر ينسبها إلى تواجد غاز ثاني أكسيد الكربون في غرفة ال FTIR [47].

فالروابط Si-O-Si و Si-O تواافق طور الكوارتز. و Al-O و Si-O-Al تواافق طور الميليت، والرابطة Ti-O

وهي تواافق طور الرولتيل.

وهذه النتائج تثبت النتائج المحصل عليها بالتحليل بالأشعة السينية.



الشكل 22.IV طيف تحليل الأشعة تحت الحمراء بتحويل فوري لعينات المضاف لها 3 و 5 و 8 وزنا % TiO_2 الملبدة

عند 1160°C .

ج — تأثير أكسيد التيتانيوم في مقاومة الشد للبورسلان

لقد تم حساب مقاومة الشد لثلاث عينات من أجل كل درجة حرارة ثم حساب القيمة الوسطى

و النتائج الحصول عليها بالنسبة لعينات المدروسة مدونة في الجدول IV.7.

من الشكل IV.23 يلاحظ أنه بزيادة نسبة أكسيد التيتانيوم TiO_2 تزيد مقاومة الشد (وبالتالي مقاومة

الثني) حيث قدرت مقاومة الثني بـ: 237 MPa من أجل 8 وزنا % TiO_2 .

ويمقارنة هذه النتائج مع العينات المرجعية يلاحظ أنه بإضافة أكسيد التيتانيوم تزداد مقاومة الشد

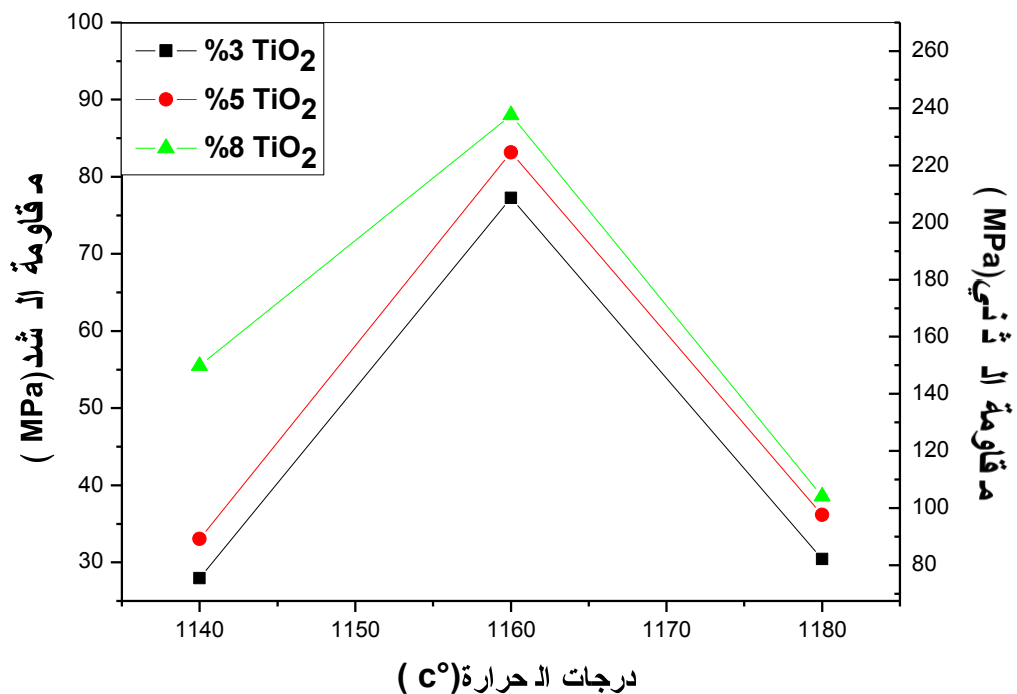
(وبالتالي مقاومة الثنبي) وهذا راجع إلى تزايد طور الميليت بزيادة أكسيد التيتانيوم [59]. إضافة أكسيد التيتانيوم

TiO_2 تحسن من الخصائص الميكانيكية للبورسلان نتيجة لزيادة تشكيل الميليت بزيادة أكسيد التيتانيوم [59].

المجدول ٧. يمثل تغير مقاومتي الشد والثبي للعينات المضاف لها ٥ و ٨ وزناً TiO_2 وزناً بدلالة درجات

الحرارة.

مقاومة الثنبي (MPa)			مقاومة الشد (MPa)			درجات الحرارة (°C)
1180	1160	1140	1180	1160	1140	
81±4	208±6	75±8	30±6	77± 2	28± 4	$TiO_2 \text{ } \%3$
97±6	224±4	89± 4	36± 3	83± 3	33±6	$TiO_2 \text{ } \%5$
102±8	237±8	148±6	38±6	88±2	55± 3	$TiO_2 \text{ } \%8$



الشكل 23.17. تغير مقاومة الشد للعينات المضاف لها 3 و 5 و 8% TiO_2 بدلالة درجات الحرارة.

د — تأثير أكسيد التيتانيوم في الخصائص العزلية للبورسلان

لدراسة تأثير أكسيد التيتانيوم على ثابت العازلية النسبي للعينات المضاف لها 3 و 5 و 8% TiO_2 ، تقوم بقياس قيمة ثابت العازلية النسبي النظري ($\epsilon_{r(\text{théorique})}$) لهذه العينات ونقارنها بالنتائج الحصول عليها تجريبيا فنحصل على مايلي :

قيمة ثابت العازلية النسبي لأكسيد التيتانيوم تقدر بـ: 92.5 [62].

— حساب $\epsilon_{r(\text{théorique})}$ للعينات المضاف لها 3 وزنا% TiO_2 :

$$\epsilon_{r(\text{théorique})} = 0.03 \epsilon_{r(TiO_2)} + 0.97 \epsilon_{r(\text{porcelaine})} = 27.02$$

— حساب ϵ_r للعينات المضاف لها TiO_2 وزنا %5

$$\epsilon_{r \text{ (théorique)}} = 0.05 \epsilon_{r \text{ (TiO}_2\text{)}} + 0.95 \epsilon_{r \text{ (porcelaine)}} = 28.37 .$$

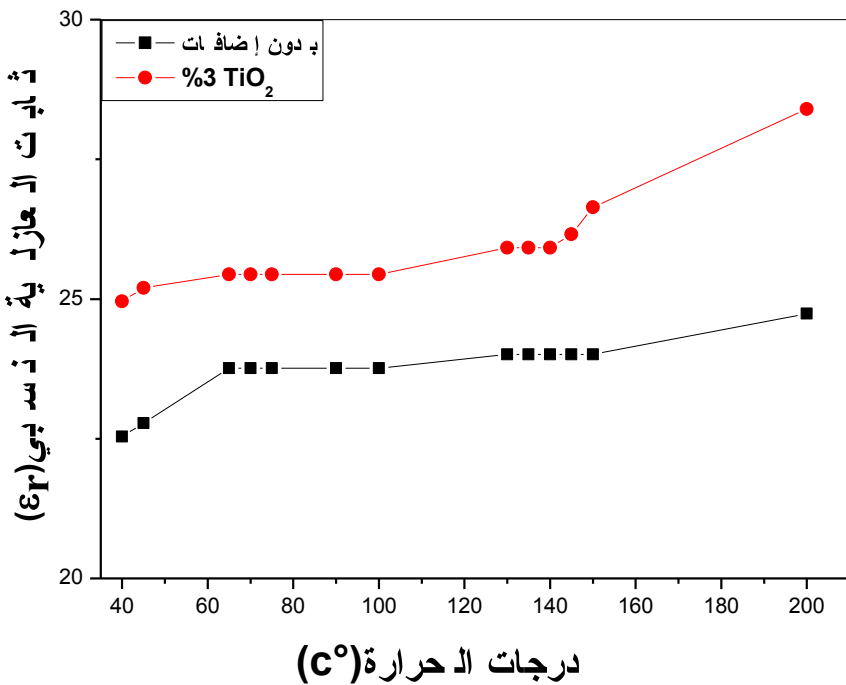
— حساب ϵ_r للعينات المضاف لها TiO_2 وزنا %8

$$\epsilon_{r \text{ (théorique)}} = 0.08 \epsilon_{r \text{ (TiO}_2\text{)}} + 0.92 \epsilon_{r \text{ (porcelaine)}} = 30.4 .$$

• ثابت العازلية النسبي

إن النتائج الحصول عليها عند دراستنا لتغيرات ثابت العازلية النسبي مع درجات الحرارة للعينات

المضاف لها 3 و 5 و 8 وزنا % TiO_2 المبلدة عند درجة الحرارة $1160^{\circ}C$ لمدة ساعتين عند تردد قدره 1KHz موضحة في الأشكال IV.24 و IV.25 و IV.26 على التوالي.



الشكل 24.IV.24 تغير ثابت العازلية النسبي للعينات المضاف لها 3 وزنا% TiO_2 بدلالة درجات الحرارة.

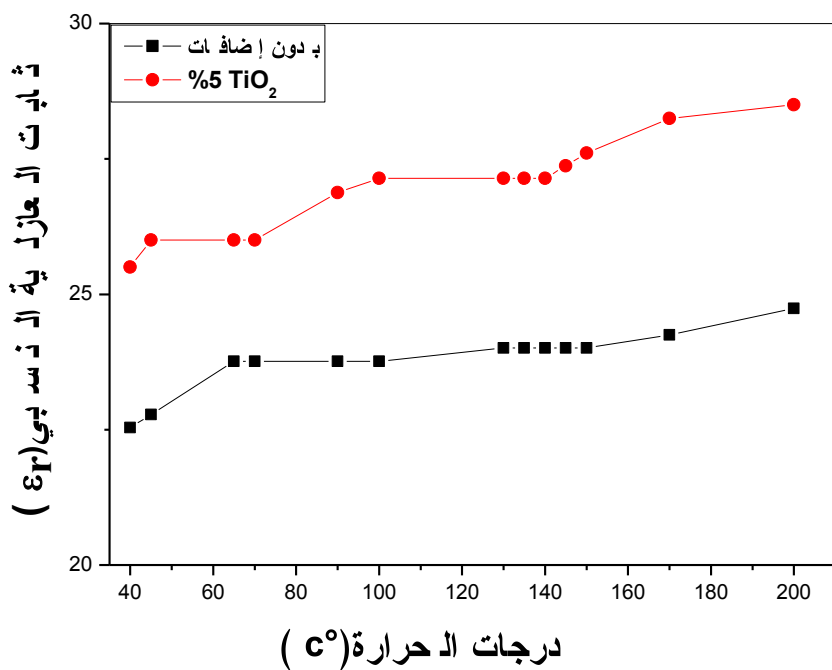
يلاحظ من الشكل 24.IV.24 أن ثابت العازلية النسبي للعينات المضاف لها 3 وزنا% TiO_2 لها نفس شكل تغير ثابت العازلية النسبي للعينات المرجعية .

ثابت العازلية النسبي لهذه العينات ينتمي للمجال [25،28.43] وبمقارنة هذه النتائج بنتائج العينات

المرجعية يلاحظ أنه بإضافة أكسيد التيتانيوم ترداد قيمة ثابت العازلية النسبي حيث قدرت أعلى قيمة له بـ: 28.43، وهذه القيمة الحصول عليها قريبة من القيمة النظرية.

مقارنة قيمة ثابت العازلية النسبي الحصول عليها تجريبيا والمقدرة بـ: 28.43 بالقيمة النظرية لثابت العازلية

النسبي المضاف لها 3 وزنا% TiO_2 المقدرة بـ : 27.02 نجد أن القيمتان متقاربتان جدا.



الشكل IV.25. تغير ثابت العازلية النسبي للعينات المضاف لها وزناً 5% TiO_2 بدلالة درجات الحرارة.

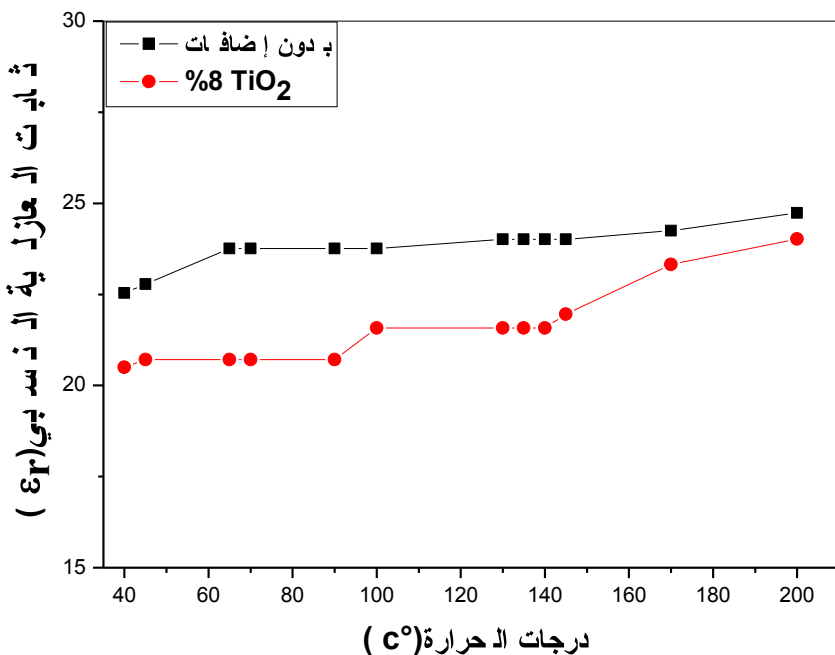
من الشكل IV.25 يلاحظ أن منحنى ثابت العازلية النسبي للعينات المضاف لها 5% TiO_2 له نفس شكل منحني ثابت العازلية للعينات المرجعية .

ويلاحظ ارتفاع في نسبة ثابت العازلية النسبي حيث قدرت أعلى قيمة له بـ: 28.50 ، وهذه القيمة قريبة من القيمة النظرية.

كما يلاحظ أن المنحنين لهما نفس الشكل.

بمقارنة قيمة ثابت العازلية النسبي المحصل عليها تجريبياً والمقدرة بـ: 28.50 بالقيمة النظرية لثابت العازلية

النسبي المضاف لها 5% TiO_2 المقدرة بـ : 28.37 نجد أن القيمتان متقاربتان جداً.



الشكل 26.17. تغير ثابت العازلية النسبي للعينات المضاف لها 8وزنا% TiO_2 بدلالة درجات الحرارة.

الشكل 26.17 يمثل ثابت العازلية النسبي للعينات المضاف لها 8وزنا% TiO_2 ، هذا المتحقق له نفس شكل منحنى ثابت العازلية للعينات المرجعية، وهنا ثابت العازلية ينتمي للمجال [20,24] ، فأعلى قيمة قدرت بـ :

.24

مقارنة قيمة ثابت العازلية النسبي الحصول عليها تجريبيا والمقدرة بـ: 24 بالقيمة النظرية لثابت العازلية

النسبي المضاف لها 8 وزنا% TiO_2 المقدرة بـ : 30.04 نجد أن القيمتان بعيدتان.

ما سبق يلاحظ أنه بزيادة نسبة أكسيد التيتانيوم يزيد ثابت العازلية النسبي [59]، إلا أنه عند النسبة

8وزنا% TiO_2 يلاحظ انخفاض في قيمة ثابت العازلية النسبي بالمقارنة بين النسبتين 3وزنا% TiO_2 .

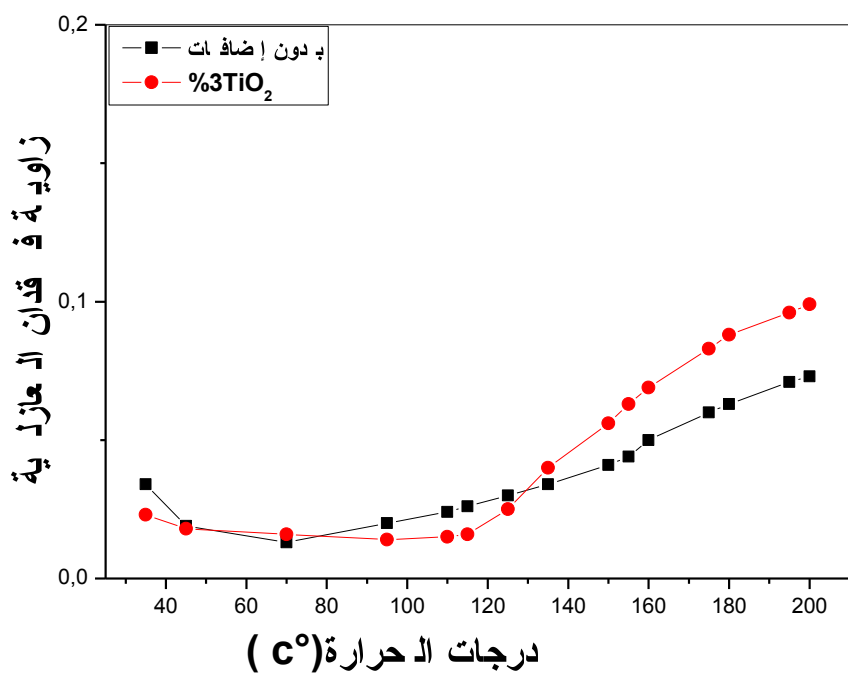
﴿ ما سبق وبعد مقارنة قيمة ثابت العازلية النسبي الحصول عليها تجريبيا بالقيمة النظرية لثابت العازلية

النسبي المضاف لها 3وزنا% TiO_2 نجد أن القيمة الحصول عليها تجريبيا مقاربة للقيمة النظرية،

وهذا التقارب في القيمتين النظرية والتجريبية يؤكد أن قيمة ثابت العازلية النسبي المحصل عليه تجريبياً ناتجة عن تأثير أكسيد التيتانيوم.

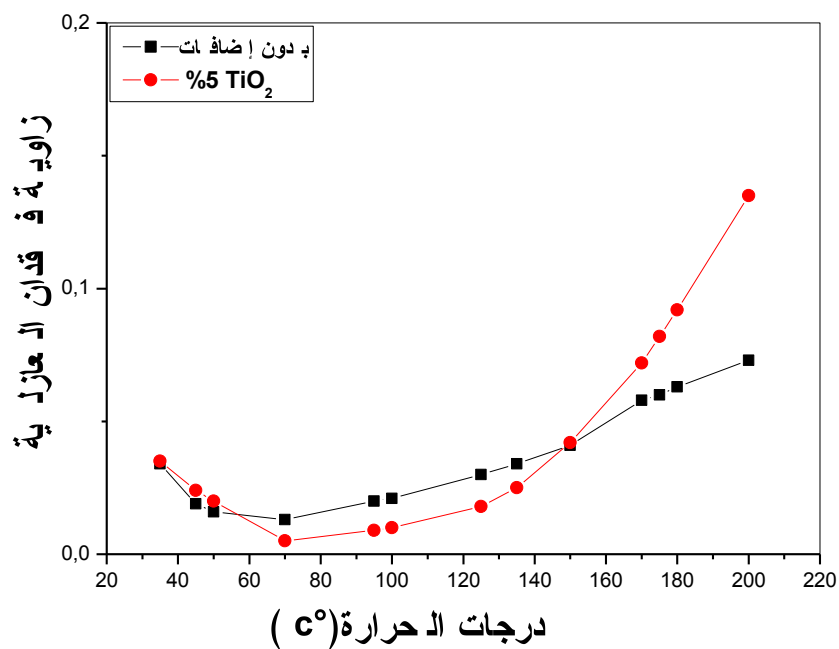
• زاوية فقدان العازلية

إن النتائج المحصل عليها عند دراستنا لتغيرات زاوية فقدان العازلية مع درجات الحرارة للعينات المضاف لها 3 و 5 وزن% TiO_2 الملبدة عند درجة الحرارة $1160^{\circ}C$ لمدة ساعتين عند تردد قدره 1KHZ موضحة في الأشكال 27.IV و 28.IV على التوالي.

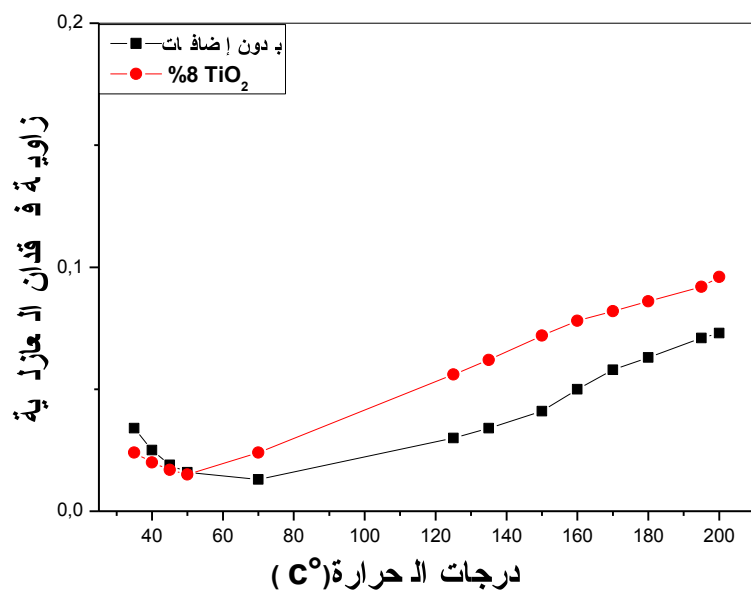


الشكل 27.IV. تغير زاوية فقدان العازلية للعينات المضاف لها وزن% 3 TiO_2 بدلالة درجات الحرارة.

من الشكل 27.IV يلاحظ أن منحنى زاوية فقدان العازلية للعينات المضاف لها 3 وزن% TiO_2 له نفس شكل منحنى العينات المرجعية . أدنى قيمة لزاوية فقدان العازلية قدرت بـ: 0.01 وأعلى قيمة قدرت بـ: 0.01



الشكل IV.28. تغير زاوية فقدان العازلة للعينات المضاف لها 5 وزن% TiO_2 بدلالة درجات الحرارة.



الشكل IV.29. تغير زاوية فقدان العازلة للعينات المضاف لها 8 وزن% TiO_2 بدلالة درجات الحرارة.

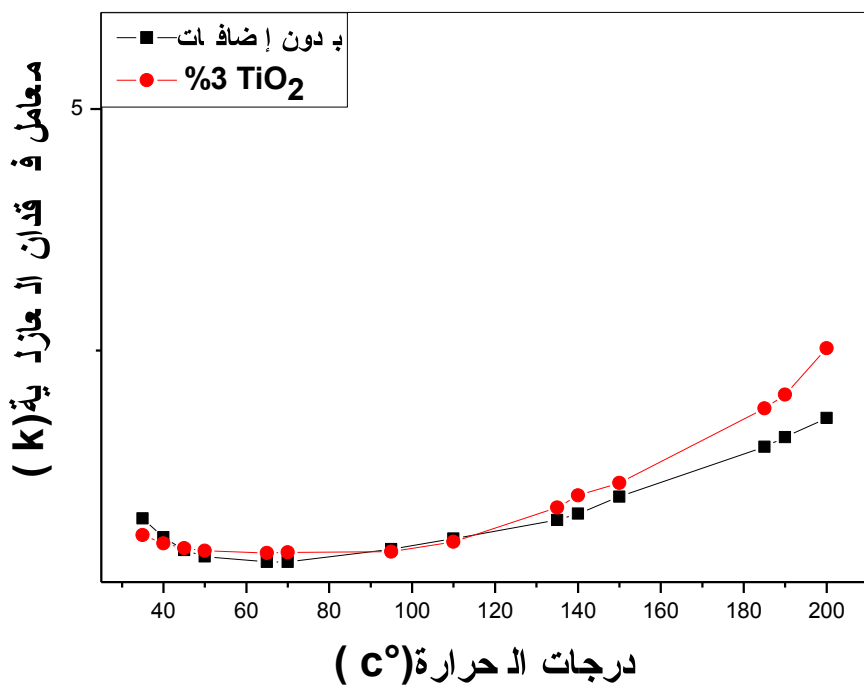
كما يلاحظ من الشكل 28.IV أن قيمة زاوية فقدان العازلية انخفضت من أجل 5% وزناً TiO_2 حيث قدرت أدنى قيمة بـ: 0.005.

بالمقارنة دائمًا مع منحني العينات المرجعية يلاحظ أنه من أجل 8% وزناً TiO_2 قدرت أدنى قيمة لزاوية فقدان العازلية بـ: 0.014 وأعلى قيمة بـ: 0.096. إذن نستنتج مما سبق أنه بزيادة نسبة أكسيد التيتانيوم تنقص زاوية فقدان العازلية.

إلا أنه من أجل النسبة 8% وزناً TiO_2 ترتفع زاوية فقدان العازلية بالمقارنة مع النسبتين 3% وزناً و 5% وزناً TiO_2 .

• معامل فقدان العازلية

إن النتائج الحصول عليها عند دراستنا لتغيرات معامل فقدان العازلية مع درجات الحرارة للعينات المضاف لها 3% وزناً و 5% وزناً TiO_2 الملبدة عند درجة الحرارة $1160^{\circ}C$ لمدة ساعتين عند تردد قدره 1KHz موضحة في الأشكال IV.30 و IV.31 و IV.32 على التوالي.



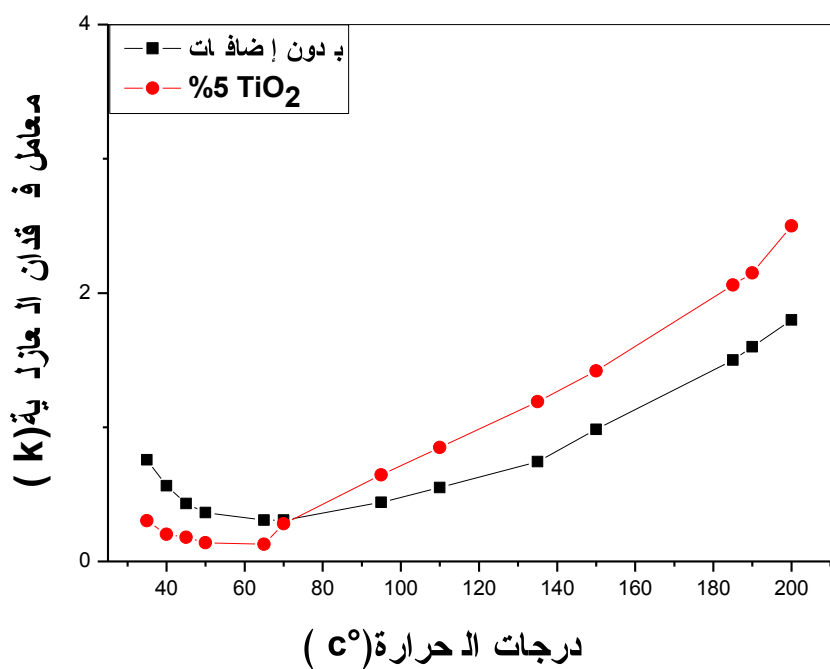
الشكل 30.IV. تغير معامل فقدان العازلية للعينات المضاف لها وزنًا 3% TiO_2 بدلالة درجات الحرارة.

الشكل 30.IV يوضح أن أدنى قيمة لمعامل فقدان العازلية قدرت بـ 0.43 وأعلى قيمة له قدرت بـ:

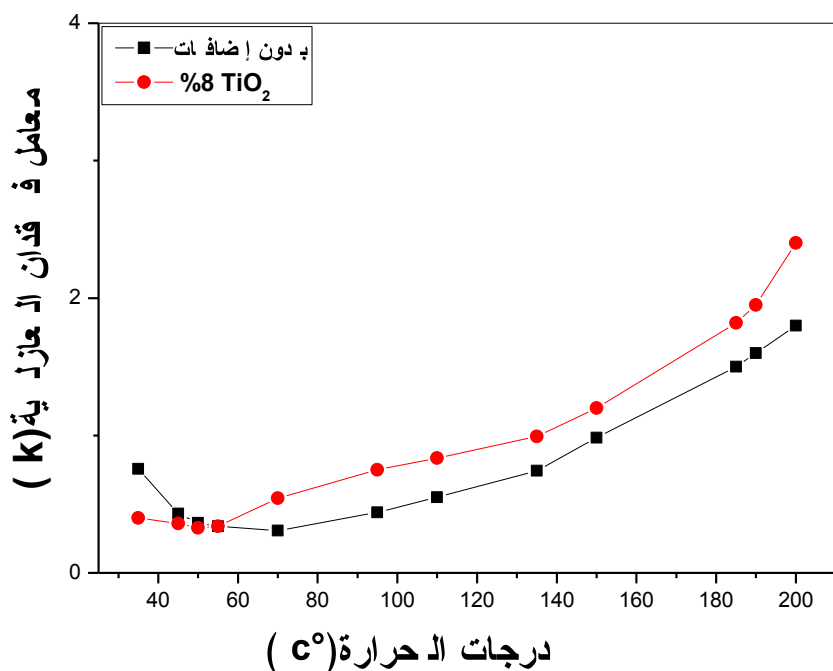
. 2.53

ويمقارنة هذه النتائج مع منحني العينات المرجعية لوحظ أن للمنحنين نفس الشكل إلا أن قيم معامل

فقدان العازلية للعينات المضاف لها 3% TiO_2 كانت أعلى بقليل مقارنة بالعينات المرجعية.



الشكل ٣١.٧. تغير معامل فقدان العازلة للعينات المضاف لها ٥ وزن% TiO_2 بدلالة درجات الحرارة.



الشكل ٣٢.٧. تغير معامل فقدان العازلة للعينات المضاف لها ٨ وزن% TiO_2 بدلالة درجات الحرارة.

من أجل العينات المضاف لها 5 وزنا% TiO_2 لوحظ انخفاض معامل فقدان العازلية بالمقارنة مع:

3 وزنا% TiO_2 حيث قدرت أدنى قيمة بـ: 0.14 وأعلى قيمة قدرت بـ: 2.51.

وبالمقارنة مع منحني العينات المرجعية يلاحظ أنه في مجال درجات الحرارة [30°C ، 65°C] معامل فقدان

العازلية بإضافة 5 وزنا% TiO_2 أقل منه للعينات المرجعية.

هنا يلاحظ ارتفاع معامل فقدان العازلية بالمقارنة مع إضافة 5 وزنا% TiO_2 وقيمتها تقارب معامل فقدان

العازلية للعينات المرجعية. فأدنى قيمة قدرت بـ: 0.35 وأعلى قيمة قدرت بـ: 2.43.

إذن نستنتج أن إضافة أكسيد التيتانيوم تخفض معامل فقدان العازلية [59]. إلا أنه بإضافة 8 وزنا% TiO_2 يلاحظ

عودة ارتفاع معامل فقدان العازلية.

﴿ مما سبق نستنتج أثر أكسيد التيتانيوم على مادة البورسلان، فللحظ أنه بإضافة أكسيد التيتانيوم

تردد مقاومة الشد(وبالتالي مقاومة الشي) فبلغت قيمة مقاومة الشي: 237 MPa من أجل 8 وزنا%

TiO_2 . إذن إضافة أكسيد التيتانيوم تساعده على تحسين الخصائص الميكانيكية للبورسلان [59].

وللحظ أثر أكسيد التيتانيوم على الخصائص العازلية للبورسلان، فلاحظنا أنه بإضافة أكسيد التيتانيوم

يرتفع ثابت العازلية النسيي وبإضافته أيضا تنخفض زاوية فقدان العازلية ومعامل فقدان العازلية [59]. و بمقارنة

النتائج الحصول عليها من قيمة ثابت العازلية وزاوية فقدان العازلية والمقدرين بـ: 0.005 و 28.50 على التوالي

بخصائص العازلية لغاز نموذجي (الجدول 3.IV) نستطيع القول أنها حصلنا على مادة عازلة نموذجية جيدة

بالنسبة لثابت العازلية وزاوية فقدان العازلية بإضافة 5 وزنا% TiO_2 كما أن خصائصها الميكانيكية العالية نسبيا

يمكن أن تفتح لها مجالات إضافية في تطبيقها.

الناتج

قمنا بحلل هذا البحث بتحضير البورسلان ثلاثي المكونات التي تتمثل في :

— الفلدسبيات البوتاسي المستخرج من جبل عين برب.

— الكوارتز المتمثل في رمل بن عزوز.

— الكاولان T_2 المستخرج من تمازرت بجيجل

— الكاولان DD_2 المستخرج من جبل دباغ بقالمة.

لقد تم هذا التحضير وفقا للتركيبة : 45 وزنا % فلدسبات و 25 وزنا % الكوارتز و 20 وزنا % كاولان DD_2

و 10 وزنا % كاولان T_2 متبوعين طرفيتين اثنتين: الطريقة الأولى تعتمد على التحضير دون اللجوء إلى الكلسنة

والطريقة الثانية تمثلت في كلسنة المادة المضرة قبل استعمالها.

لقد أوضحت دراسة بعض الخصائص الفيزيائية لعينات البورسلان المكلسقة وغير المكلسنة والمضرة وفقا

للتركيبة المختارة والملبدة عند درجة حرارة $1160^{\circ}C$ لمدة ساعتين الأثر السلبي للكلسنة. هذا من جهة ومن

جهة أخرى، قاربت الكتلة الحجمية للعينات غير المكلسنة والتي قدرت بحوالي 2.41 g/cm^3 الكتلة الحجمية

المعتادة للبورسلان و المقدرة بحوالي 2.45 g/cm^3 ، كما قدرت مقاومة الشد (وبالتالي مقاومة الثن) بـ :

(205 MPa و 76 MPa) وهما قيمتان مقبولتان إلى حد بعيد ، خاصة إذا علمنا أن قيمة مقاومة الثن المتعارف عليها

للبورسلان لا تتعدي 60 MPa .

ولقد أوضحت النتائج الحصول عليها إمكانية كون المادة المضرة مادة عازلة نموذجية و ذات مقاومة ميكانيكية

مقبولة إلى حد كبير.

كما قمنا بدراسة تأثير كل من أكسيد الزنك وأكسيد التيتانيوم في الخصائص العزلية والميكانيكية للبورسلان ،

إضافةً أكسيد الزنك بالنسبة 3 وزنا % حسنت الخصائص الميكانيكية للبورسلان فكلما زادت نسبة أكسيد

الزنك زادت مقاومة الشد) وبالتالي مقاومة الثنى (، فتحصلنا على مقاومة شد) وبالتالي مقاومة الثنى (

من أجل 5 وزنا % أكسيد الزنك ، إلا أنه لم يكن لها الأثر الكبير (MPa241 وبالتالي MPa 89 (قدرت بـ :

. في الخصائص العزلية، فهذه الخصائص الميكانيكية العالية تسمح لنا باستعمال المادة المضرة كمادة كاشطة

وقد حسنت إضافةً أكسيد التيتانيوم بالنسبة 3 و 5 وزنا% من الخصائص الميكانيكية ، وهذه الخصائص

الميكانيكية الجيدة تفتح مجالات إضافية في تطبيقها. و بالنظر لنتائج الخصائص العزلية الجيدة للمادة المضرة

المتمثلة في ثابت العازلية النسيي وزاوية فقدان العازلية المقدرتين بـ: 28.50 و 0.005 على التوالي من أجل

5 وزنا % أكسيد التيتانيوم يمكن القول أننا تحصلنا على مادة عازلة نموذجية .

إن تأثير إضافةً أكسيد التيتانيوم في الخصائص العزلية و الميكانيكية للبورسلان أكبر مقارنة بتأثير إضافةً أكسيد

الزنك.

وفي الأخير يمكننا القول أن مجال تفعيل دور الكلسنة وتأثير إضافةً أكسيد الزنك في الخصائص الفيزيائية يبقى

مفتوحاً بإدخال إضافات أخرى إلى جانب أكسيد الزنك .

ان مراجع

- [1] Janot C. et Ilschner B., *Traité des matériaux, Matériaux émergents*, Edition Presses Poly techniques et Universitaires Romandes, (2001).
- [2] Ecravain L., " *Technique de l'ingénieur* ", A7290, pp 20-40, (1989).
- [3] Philbert J. , "Recueil de communication", Deuxième Séminaire Des Sciences Des Matériaux, Université de Constantine, pp 2-16, (1985).
- [4] Vatain A., " *Manuel et Séimentologie* ", Edi. Technip, (1967).
- [5] Chaupai M., " *Technique de l'ingénieur* ", A 2010, pp 10-17, (1996).
- [6] Aliprandi G., " *Matériaux réfractaires et Céramiques techniques* ", Edition septima, Paris (1979).
- [7] Abdizadeh H., these de école doctorale , Université de Lyon, France,p220, (1997).
- [8] J.W. Harvey and D.W. Johnson, *J. Am. Ceram. Soc, Bul*, pp 637-639, (1990) .
- [9] Dorre E., and Hubner H., " *Alumina: Processing, and Application*", New York: Springer- Verlag, pp 329, (1984).
- [10] J. L. Chermant, " *Les Céramiques Thermomécaniques*", Presse de CRNS, pp 20-40, (1989).
- [11] Pascal P., *Nouveau traité de chimie minéral*, 27, (1966).
- [12] Paul A. and A. Youssefi, *J. mater. Sci.*, 13, pp 97, (1978).
- [13] Wong L. L. and R. C. Bradt, *Am. Ceram. Sos. Bull.*, 69, pp 1184, (1990).
- [14] Bouzerara F. , Thèse doctorat en sciences, Université de Constantine, Algérie, pp 1-171, (2005).
- [15] Chetat Y., thèse de Magister, Université de Constantine, Algérie, (2003).
- [16] Dumora D. "Techniques de l'ingénieur", D274-1-12, (1982).
- [17] Murray H., *Applied clay science*, 5 178-184, (2000).
- [18] Jourdain A. , et F. Benot-Cation, "La Technologie des Produits Céramiques Réfractaires ", Paris, pp 20-40, (1993).

- [19] Arthur R. et Hippel V. , "Les Diélectriques et Leurs Applications", Ed. Dunot, Paris, pp 232-234, (1961).
- [20] Pask J. A. and Tomosia A. P. , J. Am. Ceram. Soc., pp 2367-73, (1991).
- [21] Hidouk B., "Etude qualitative du kaolin Tamazart et son intégration dans la fabrication des produits céramiques entre autre", Ed. Dunot, Paris, p 4, 7, 8, 17,) 2001).
- [22] Baudet G. et Morio M., J. Eur. Ceram. Soc. ,(1974).
- [23] Messif A., "Thèse de Magister", Université de Constantine, Algérie, (1996).
- [24] Jouenne C.A, "Traité de céramiques et matériaux céramique minéraux", Ed. SEPTIMA, Paris, pp 139-140, (1990) .
- [24] Jouenne C.A, "Traité de céramiques et matériaux céramique minéraux", Ed. SEPTIMA, Paris, p640, (1990).
- [25] Remmey B., Jr , "Firing Ceramics", Ed. World Scientific Publishing Co Pte Ltd. P 92-120, (1996) .
- [26] Lamayere J.,"roches et minéraux", Doin Editeurs –paris, p94-109, (1986).
- [27] www.accés au monde de la céramique .com /smarts.conseil/
- [28] www.matweb.com
- [29] Wyaret J.,"Le Silicium dans la nature" chimie minérale tome 2, Paris, p. 18-70, (1965).
- [30] Foughali L., thèse de Magister, Université de Constantine, Algérie, pp 36-37, (2003).
- [31] Techniques de l'ingénieur Traité Matériaux non métalliques-D274 " Matériaux isolants céramiques en électrotechnique" Paris.
- [32] Techniques de l'ingénieur Traité Matériaux non métalliques –A2010 et A 2011 "Céramiques à usages mécaniques et thermomécaniques" Jean Denape Paris, p 10-17, (1996).
- [33] Sahraoui K., thèse de Magister, Université de Constantine, Algérie, p 40-42, (2008) .
- [34] Kingery W.D., Bowen H.K. et Uhlmann D.R., " Introduction to Ceramics", 2nd

Edition John Wiley and Sons, New York, p 256-269,)1976).

[35] Menguey C., "Technique de l'ingénieur", Doc. D2310-1, (1993).

[36] WWW.laboardco.com

[37] Sukdipown Thiansen , Wolfgang Schulle , Kaew-kan nerd, p 145-152, (2003).

[38] Lundin S.T. in Trans. Of IV thint. Ceram. Cong., (Florence, Italy : Publ. Org. Comm.) p383, (1954).

[39] Metcalfe B. L. and Sant J. H. Trans. Br. Ceram . 74 193, (1975).

[40] Schuller K. H. Trans. Brit. Ceram. Soc. 63 103-117, (1964).

[41] Dondi M, Raimondo M., Zanelli C., P. M. Tenorio Cavalcante, Sintering mechanisms of porcelain stoneware tiles , Proceedings Sintering, p 1495-1498 , (2003).

[42] palanivel. R, Velraj.G, J. Eur. Ceram. Soc., pp 501-508 , (2007).

[43] Araceli E. Lavat, Maria C. Grasselli, Julia E. Tasca , J. Eur. Ceram. Soc., pp 1111–1117, (2007).

[44] Jason A. Griggsa , John C. Watahab, Anil Kishen , J. Eur. Ceram. Soc., pp 353–358, (2003).

[45] LI Han-xu, QIU Xiao-shen, Tang Yong-xin, J. Eur. Ceram. Soc., pp 0245–0249, (2008).

[46] ARNAULT L. , GERLAND M., RIVI `ERE A. , J. Eur. Ceram. Soc., pp 2331 – 2345, (2000).

[47] Mortel H., St. Krebs, K. Pham-Gia., Examining Reaction Kinetics in the Fast Firing of Porcelain in Dependence from Different Raw Materials", cfi /Ber. DKG 77, 26, (2000).

[48] Harabi A, and Davies T. J., Br. Ceram. Trans. J., 97-103,)1995).

[49] Lsanchez-Munoz, S.da Cava S., Pasckocimas C. A., Cerisuelo E., Longo E., Carda J.B., Centro Multidisciplinar de Materiais Ceramicos, S. Carlos, Brazil, p 53-67 , (2001).

- [50] Weon-Pil Tai , Kunio Kimouno , Kakuhiko Jinnai , A new approach to anorthite porcelain bodies using non plastic raw materials, p 365-373, (2002).
- [51] Suzuki H., Saito H. et Hayachi T., J. Eur. Ceram. Soc., p 365 -371, (1992).
- [52] Chaudhuri S. P., Sarkar P., Chakraborty A. K., Ceram, Int. 25, p91-99, (1999).
- [53] Kitouni S., thèse de Magister, Université de Constantine, Algérie,p84-86,(2006).
- [54] Buchanan R.C., Ceramic Materials for Electronics – Processing, Properties , and Applications , Marcel Dekker, New York, p 1-71, (1986).
- [55] Tulyaganov D.U., Agathopoulos S., Fernandes H.R., Ferreira J.M.F., The influence of incorporation of ZnO-containing glazes on the properties of hard porcelains, 1665–1670, (2007).
- [56] Swaminathan.D , Balasubramani.G and Thirunavukkarasu.R, J. Eur. Ceram. Soc., 147-160, (2009).
- [57] Gregory S.B.,Harry M.J., startigraphic Analyses using GPR, the geological society of America .Inc, New York, (2007).
- [58] Lee S. M., Kim S. K. , Yoo J.W., Kim H. T. , J. Eur. Ceram. Soc. , 1829–1834, (2005).
- [59] Noemí Montoya, Francisco Javier Serrano, María Mercedes Reventós, José María Amigo, Javier Alarcón, J. Eur. Ceram. Soc., 2-7, (2009).
- [60] Sunipa Bhattacharyya, Swapankumar Das and Nirendra Krishna Mitra , J. Eur. Ceram. Soc. , 445–452, 5 (2005).
- [61] Kumar P. M., Badrinarayanan S, Sastry M., J. Eur. Ceram. Soc., 122- 358, (2000).
- [62] Richerson D.W., " Modern Ceramics Engineering , Ed.Marcel Dekker Inc, New york,(1992).

انه خص

تحضير ودراسة البورسلان التقني انطلاقاً من مواد أولية محلية.

يتناول هذا البحث دراسة بعض خصائص البورسلان المحضرة انطلاقاً من مواد محلية وهي: الفلسبات والكاولان والكوارتز.

لقد قدرت الكثافة الحجمية للعينات المحضرة والملبدة عند 1160°C لمدة ساعتين بحوالي:

2.41 g/cm³ وهي قيمة تقارب قيمة الكثافة الحجمية المتعارف عليها للبورسلان والمقدرة بـ: 2.45 g/cm³

ولدراسة التصرف الميكانيكي للمادة المحضرة والملبدة عند 1160°C , تم قياس مقاومة الشد (بال التالي مقاومة الثنائي) حيث قدرت قيمتها الوسطى بحوالي 76 MPa (وبالتالي 205 MPa) وما قيمتان مقبولتان إلى حد بعيد إذا علمنا أن قيمة مقاومة الثنائي المترافق عليها للبورسلان لا تتعدي 60 MPa . وفي محاولة منا لإعطاء فكرة وجيزة عن عازلية البورسلان المحضر قمنا بدراسة تغيرات ثابت العازلية النسبي مع الحرارة للعينات الملبدة عند 1160°C من أجل 1KHz وقاربت قيمته 25 في حين بلغت قيمة زاوية فقدان العازلية عند نفس درجة الحرارة 0.008 وهاتين القيمتين أمكنتنا من القول أننا ربما حصلنا على مادة عازلة نموذجية. ولتحسين الخصائص الميكانيكية و العزلية للبورسلان قمنا بإضافة أكسيد التيتانيوم وأكسيد الزنك . فبإضافة أكسيد الزنك تحصلنا على خصائص ميكانيكية عالية للبورسلان ، فحصلنا على مقاومة شد (وبالتالي مقاومة ثني) قدرت بـ: 89 MPa (وبالتالي 241MPa) من أجل 5 وزنا ZnO% وهي قيمة جيدة بالمقارنة مع العينات المرجعية . إلا أنه لم يكن لها الأثر الكبير في الخصائص العزلية، والخصائص الميكانيكية الجيدة للبورسلان المضاف لها أكسيد الزنك تسمح لنا باستعمالها كمادة كاشطة.

أما إضافة أكسيد التيتانيوم فقد عملت على تحسين الخصائص الميكانيكية فحصلنا على خصائص ميكانيكية جيدة ، كما عملت على تحسين الخصائص العزلية فحصلنا على ثابت عازلية نسبي وزاوية فقدان عازلية قدرت قيمتها بـ: 28.50 و 0.005 على التوالي، وهاتين القيمتين سمحتا لنا بالقول أننا حصلنا على مادة عازلة نموذجية.

الكلمات المفتاحية : البورسلان، الكاولان، الفلسبات، الكوارتز، أكسيد الزنك، أكسيد التيتان، الخصائص الميكانيكية ، الخصائص العزلية .

Resumé

Elaboration et étude de la porcelaine technique à partir des matières premières locales.

L'objectif de ce travail est l'étude des propriétés mécaniques et diélectriques de la porcelaine élaborée à partir des matériaux locaux entre autres kaolin , feldespath et quartz. La densité volumique des échantillons frittés à 1160°C durant 2 heures avec une vitesse de chauffage de 5°C/mn , a été estimée à 2.41 g/cm³. Cette valeur se rapproche de la densité volumique de la porcelaine conventionnelle qui est égale à 2.45 g/cm³ .

Pour étudier le comportement mécanique des échantillons qui sont élaborés et frittés à 1160°C, la mesure de la valeur moyenne de la contrainte de tension (la contrainte de flexion) a donné 76 MPa (205 MPa) .Ces deux valeurs sont acceptables notamment la contrainte de flexion qui est très supérieure à la contrainte de flexion de la porcelaine égalant à 60 MPa.

L'étude des propriétés diélectriques des échantillons frittés à 1160°C a donné les valeurs suivantes pour la constante diélectrique et l'angle de perte : 25 et 0.008 respectivement, pour 1 khz . En prenant en compte ces deux valeurs, on peu peut –être confirmer que nous avons élaboré une matière isolante modèle.

Pour améliorer les propriétés mécaniques et diélectriques de porcelaines, nous avons ajouté les deux oxydes de titane et zinc.

L'ajout d'oxyde de zinc améliore les propriétés mécaniques de la porcelaine; nous avons eu une résistance à la traction (donc la résistance à la flexion) estimation à: 89 MPa (donc 241 MPa) pour 5 % ZnO, une bonne valeur par rapport aux échantillons de références. Malgré qu'il n'y a pas un impact significatif sur les propriétés diélectriques, l'ajout d'oxyde de zinc à la porcelaine donne de bonnes propriétés mécaniques, ce qui permet son utilisation comme abrasif.

Par contre, l'adition de l'oxyde de titane a amélioré les propriétés mécaniques du porcelaine et nous sommes arrivés à des propriétés mécaniques importantes, comme il a également améliorer les caractéristiques diélectriques, nous avons obtenu un permittivité diélectrique relatif et une perte diélectrique estimé de : 28.50 et 0.008, respectivement.

Ces valeurs ont permis de dire que nous avons un matériau isolant typique, et ses meilleures propriétés mécaniques permettent d'ouvrir d'autres domaines dans son application.

Mots clés : Porcelaine ; Kaolin ; Feldspath ; Quartz ; oxyde de zinc ; oxyde de titane ; propriétés mécaniques ; propriétés diélectriques.

ABSTRACT

The purpose of this work is to prepare the triaxial porcelain from native materials such as kaolin, feldspar and quartz.

The densification behavior indicated that the samples sintered at 1160°C for 2 hours with a treating and cooling rates of about 5°C/min, have a bulk density of about 2.41 g/cm³. This value is in good agreement with that of the conventional porcelain (2.45 g/cm³).

The main phases are: quartz, mullite, cristobalite and amorphous phase.

Another interesting porcelain characteristic is its mechanical strength such as tensile and flexural strength. At 1160°C, the tensile and flexural strength values obtained are about 76 MPa and 205 MPa, respectively.

The flexural strength value was much higher than that of the strength conventional porcelain (about 60 MPa).

Subsequently, the dielectric constant and dielectric loss ($\text{tg}\delta$) of porcelain samples sintered at 1160°C were about 25 and 0.008, respectively. These values mean that it is good insulator porcelain.

Additionally, zinc oxide additions improved certain mechanical properties of porcelain. For example, the tensile and flexural strength values obtained for 5 wt% ZnO were about 89 MPa and 241 MPa, respectively. But it did not have a significant impact on dielectric properties.

Because of their promising mechanical properties, the prepared porcelains may be used as abrasive tools.

In order to improve both mechanical and dielectric properties, titanium oxide has been added. The dielectric constant and $\text{tg}\delta$ values, for samples containing 5 wt% TiO₂, were 28.52 and 0.005, respectively.

Keywords: Porcelain; Kaolin; Feldspar; Quartz ; Zinc oxide; Titanium oxide ; Mechanical properties; dielectric properties.